

รหัสโครงการ SUT7-706-50-12-69



## รายงานการวิจัย

# การสังเคราะห์เรดินที่มีสมบัติทางแม่เหล็ก<sup>เพื่อเป็นตัวลดปริมาณสารปนเปื้อนในระบบของเหลว</sup>

(Synthesis of Magnetic Clay for Contaminants Removal from Water)

## คณะกรรมการ

หัวหน้าโครงการ  
ผศ.ดร.รัตนวรรณ (วิญญาณ์สวัสดิ์) เกียรติโภมล  
สาขาวิชาศึกษาเคมี  
สำนักวิชาศึกษาศาสตร์  
มหาวิทยาลัยเทคโนโลยีสุรนารี

ได้รับทุนอุดหนุนการวิจัยจากมหาวิทยาลัยเทคโนโลยีสุรนารี ปีงบประมาณ 2550  
ผลงานวิจัยเป็นความรับผิดชอบของหัวหน้าโครงการวิจัยแต่ผู้เดียว

กุมภาพันธ์ 2552

## บทคัดย่อ

โครงการวิจัยเรื่องการดูดซับเมธิลีนบลูด้วยตัวดูดซับที่มีสมบัติทางแม่เหล็ก (Magnetic adsorbents) มีวัตถุประสงค์เพื่อศึกษาการดูดซับเมธิลีนบลูทั้งในสภาพะปกติและในสภาพะแม่เหล็กของตัวดูดซับ 4 ชนิด ดังต่อไปนี้ แร่ดินอนต์มอริลโลไนต์ (Montmorillonite Clays) ถ่านกัมมันต์ (Activated carbon) แร่ดินอนต์มอริลโลไนต์ที่มีคุณสมบัติทางแม่เหล็ก (Magnetic clay 1:1 และ Magnetic clay 1.5:1) และ ถ่านกัมมันต์ที่มีคุณสมบัติทางแม่เหล็ก (Magnetic activated carbon 1:1, Magnetic activated carbon 1.5:1 และ Magnetic activated carbon 2:1) การเตรียมตัวดูดซับที่มีสมบัติทางแม่เหล็กทำได้โดยเติมตัวดูดซับลงในสารละลาย  $\text{FeCl}_3$  และ  $\text{FeSO}_4$  จากนั้นปรับสภาพความเป็นกรด-ด่างของสารละลายด้วยสารละลาย NaOH เพื่อให้  $\text{Fe}_2\text{O}_3$  ตกตะกอนที่อัตราส่วนโดยน้ำหนักของตัวดูดซับ:  $\text{Fe}_2\text{O}_3$  เป็น 1:1, 1.5:1 และ 2:1. จากนั้น ศึกษาสมบัติทางกายภาพและทางเคมีของตัวดูดซับที่เตรียมได้เปรียบเทียบกับตัวดูดซับเริ่มต้น เช่น หาพื้นที่ผิวโดยใช้ Micromeritics ASAP 2010, ห้องคปประกอบทางเคมีด้วยเทคนิค XRF และหาระยะห่างระหว่างชั้นโครงสร้างของแร่ดินด้วยเทคนิค XRD ซึ่งพบว่า ปริมาณองค์ประกอบเหล็กของ Magnetic adsorbents เพิ่มขึ้นเมื่อเปรียบเทียบกับตัวดูดซับเริ่มต้น

ขั้นตอนการศึกษาการดูดซับเมธิลีนบลูด้วยตัวดูดซับที่มีสมบัติทางแม่เหล็กเริ่มจากการหาอัตราส่วนระหว่างของเหลวและของแข็ง (Solid / Liquid Ratio) ที่เหมาะสม ซึ่งก็คือปริมาตรของเหลว 250 มิลลิลิตรและของแข็ง 1 กรัม ในการทดลองหาระยะเวลาในการตกลงของตัวดูดซับพบว่า การทดลองในสภาพะแม่เหล็กตัวดูดซับใช้ระยะเวลาในการตกลงน้อยกว่าในสภาพะปกติ โดยตัวดูดซับที่ใช้ระยะเวลาการตกลงน้อยที่สุด คือ Magnetic activated carbon 1:1 < activated carbon < magnetic activated carbon 1.5:1 < magnetic activated carbon 2:1 และ Magnetic clay 1:1 < Magnetic clay 1.5:1 ในส่วนการดูดซับเมธิลีนบลูของตัวดูดซับต่างๆ ได้แก่ การดูดซับเมธิลีนบลูด้วย Activated carbon และ Magnetic activated carbon ผลการทดลองปรากฏว่าการดูดซับของ Activated carbon > magnetic activated carbon 1:2 > magnetic activated carbon 1:1.5 > Magnetic activated carbon 1:1 การดูดซับเมธิลีนบลูด้วย Clay และ Magnetic clay ผลการทดลองปรากฏว่าการดูดซับของ Magnetic clay 1:1 > Magnetic clay 1:1.5 > clay และสามารถนำตัวดูดซับที่ผ่านการดูดซับแล้วกลับมาใช้ในการดูดซับใหม่ได้

## คำสำคัญ

Activated carbon, Magnetic activated carbon, Clay, Magnetic clay, Methylene blue, Adsorption

## ABSTRACT

This work describes a preparation and use of magnetic adsorbent materials from Montmorillonite clay and activated carbon for the removal of methylene blue, which is one of the cationic dyes, from water. The synthesis of magnetic adsorbent materials involved mixing a solution containing  $\text{FeCl}_3$  and  $\text{FeSO}_4$  with either the precursor Montmorillonite or the activated carbon and using NaOH to form a magnetic precipitate as  $\text{Fe}_2\text{O}_3$ . The Montmorillonite: iron oxide weight ratios were varied to be 1:1, 1.5:1 and 2:1. The produced magnetic materials and, for comparison, the starting Montmorillonite were characterized in term of interlayer spacing ( $d_{001}$ ), chemical compositions and surface area using X-ray diffraction (XRD), X-ray fluorescence (XRF) and BET  $\text{N}_2$  sorption by Micromeritics ASAP 2010 respectively. From the XRF results, amount of iron content in the produced magnetic composites were considerably increased from the precursor clay. This result confirms the combination of ferric compounds into the mineral and activated carbon structure. Besides, from the BET  $\text{N}_2$  adsorption, the surface area of the magnetic materials was significantly different from those of the raw clay and the starting activated carbon. Moreover, from the XRD data, the higher load of iron components in the magnetic products was the lower their interlayer spacing.

In addition, the settling time of pristine and magnetic materials were found in the normal and magnetic environments. Afterward, the uptake of methylene blue in both batch and fixed bed system were designed to illustrate application of the magnetic sorbents in water treatment. The batch experimental data fitted well with the Langmuir isotherm and the sorption capacity of magnetic adsorbents towards methylene blue was calculated. The results showed that the presence of iron oxide in adsorbents affects their sorption capacities toward methylene blue. Rates of methylene blue uptake by magnetic materials conformed to pseudo-second order kinetics model. The regeneration of magnetic materials was possible.

### **Keywords**

Activated carbon, Magnetic activated carbon, Clay, Magnetic clay, Methylene blue, Adsorption

## สารบัญ

	หน้า
บทคัดย่อภาษาไทย .....	ก
บทคัดย่อภาษาอังกฤษ .....	ข
สารบัญ .....	ค
<b>บทที่ 1 บทนำ</b>	
ความเป็นมาและความสำคัญของโครงการ .....	1
วัตถุประสงค์ของการวิจัย .....	2
สมมติฐานของการวิจัย.....	2
ขอบเขตของการวิจัย .....	2
ประโยชน์ที่ได้รับจากการวิจัย .....	3
<b>บทที่ 2 ปริศน์วรรณกรรม</b>	
แร่ดินอนต์มอริล โลไนต์.....	4
Point of Zero charge.....	8
ถ่านกัมมันต์.....	10
เมธีลีนบสู.....	15
กระบวนการคุคชบ.....	15
ไมเดลจลนพลศาสตร์การคุคชบ.....	18
ไมเดลการคุคชบ.....	19
การตกตะกอน.....	20
<b>บทที่ 3 วิธีดำเนินการวิจัย</b>	
เครื่องมือและสารเคมีที่ใช้ในการทดลอง.....	25
การสังเคราะห์ถ่านกัมมันต์ที่มีคุณสมบัติทางแม่เหล็ก.....	26
การสังเคราะห์แร่ดินอนต์มอริล โลไนต์ที่มีคุณสมบัติทางแม่เหล็ก.....	26
การศึกษาสมบัติภายในภาพของแร่ดินอนต์มอริล โลไนต์ ถ่านกัมมันต์ และ Magnetic materials.....	27
การหาเวลาในการตกตะกอน.....	27

## สารบัญ

หน้า

บทคัดย่อภาษาไทย .....	ก
บทคัดย่อภาษาอังกฤษ .....	ก
สารบัญ .....	ค
<b>บทที่ 1 บทนำ</b>	
ความเป็นมาและความสำคัญของโครงการ .....	1
วัตถุประสงค์ของการวิจัย .....	2
สมมติฐานของการวิจัย.....	2
ขอบเขตของการวิจัย .....	2
ประโยชน์ที่ได้รับจากการวิจัย .....	3
<b>บทที่ 2 ปริศน์วรรณกรรม</b>	
แร่ดินมอนต์อริลโลในต์.....	4
Point of Zero charge.....	8
ถ่านกัมมันต์.....	10
เมธีลีนบสู.....	15
กระบวนการคุคุชับ.....	15
โนเดลจลนพลศาสตร์การคุคุชับ.....	18
โนเดลการคุคุชับ.....	19
การตกตะกอน.....	20
<b>บทที่ 3 วิธีดำเนินการวิจัย</b>	
เครื่องมือและสารเคมีที่ใช้ในการทดลอง.....	25
การสังเคราะห์ถ่านกัมมันต์ที่มีคุณสมบัติทางแม่เหล็ก.....	26
การสังเคราะห์แร่ดินมอนต์อริลโลในต์ที่มีคุณสมบัติทางแม่เหล็ก.....	26
การศึกษาสมบัติภายในภาพของแร่ดินมอนต์อริลโลในต์ ถ่านกัมมันต์ และ Magnetic materials.....	27
การหาเวลาในการทดลอง.....	27

## สารบัญ (ต่อ)

การคุณชั้บเมชลีนบลู.....	28
การศึกษาจนผลศาสตร์ของการคุณชั้บเมชลีนบลู.....	29
การนำแร่ดินมอนก์มอริลโลไนต์ ถ่านกัมมันต์ และ Magnetic Materials กลับมาใช้ใหม่.....	30
การสร้างกราฟมาตรฐานของสารละลายเมชลีนบลู.....	30
<b>บทที่ 4 ผลการวิเคราะห์ข้อมูล</b>	
ผลการสังเคราะห์ Magnetic materials.....	32
สมบัติทางกายภาพและทางเคมีของ Magnetic materials.....	32
การตกตะกอนในสภาพปักติและสภาพแม่เหล็ก.....	40
ชนิดผลศาสตร์การคุณชั้บเมชลีนบลู.....	40
การคุณชั้บเมชลีนบลู.....	44
ประสิทธิภาพของตัวคุณชั้บภายหลังการ Regenerate.....	50
<b>บทที่ 5 บทสรุป</b>	
สรุปผลการวิจัย .....	52
ข้อเสนอแนะ .....	52
<b>บรรณานุกรม .....</b>	53
<b>ภาคผนวก</b>	
ภาคผนวก ก .....	55
ภาคผนวก ข .....	67
<b>ประวัติผู้วิจัย .....</b>	69

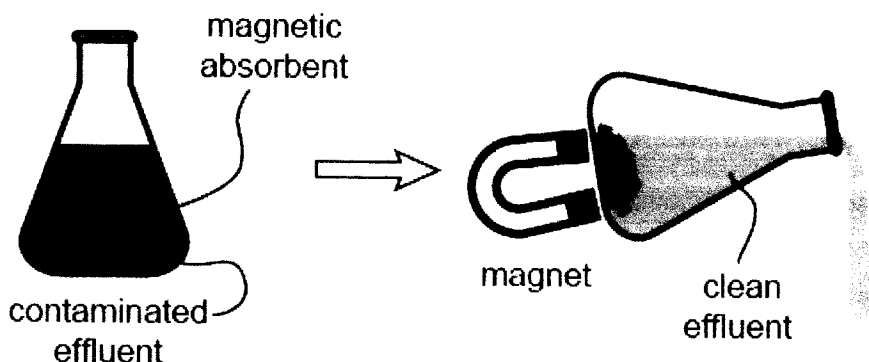
## บทที่ 1

### บทนำ

#### 1.1 ความเป็นมาและความสำคัญของโครงงาน

ในกระบวนการแยกสิ่งปนเปื้อนออกจากของเหลวนั้น วิธีหนึ่งที่นิยมใช้แยกคือการใช้ตัวดูดซับที่เป็นของแข็ง เช่น ถ่านกัมมันต์ (Activated carbon) และ แร่ดินมองอริลโลไนต์ (Montmorillonite Clay) ซึ่งตัวดูดซับทั้งสองประเภทนี้มีรูพรุนและมีพื้นที่ผิวสูง อีกทั้งยังมีการใช้กันอย่างแพร่หลาย ราคาถูก และพบได้ในประเทศไทย โดยปกติแล้วตัวดูดซับแต่ละชนิดจะมีความสามารถในการดูดซับแตกต่างกันไปทั้งนี้ขึ้นอยู่กับชนิดของสารที่ดูดซับและสภาพของระบบ แต่ปัจจุบันที่พบในการใช้แร่ดินมองอริลโลไนต์ในการกระบวนการดูดซับคือ ระยะเวลาในการรอให้แร่ดินมองอริลโลไนต์ที่เป็นของแข็งตกลงกันจากของเหลวใช้ระยะเวลานาน ดังนั้นจึงได้มีการหาทางเลือกในการแก้ปัจจัยโดยการปรับปรุงตัวดูดซับให้มีคุณสมบัติทางเหล็กเพื่อให้ตัวดูดซับตกลงกันเร็วขึ้นเมื่อยื่นแม่เหล็กดังแสดงในรูปที่ 1.1

การปรับปรุงตัวดูดซับให้มีองค์ประกอบทางเหล็กทำได้โดยการใช้สารที่มีองค์ประกอบของเหล็กเป็นตัวปรับปรุงคุณภาพเช่น  $\text{FeCl}_3$  และ  $\text{FeSO}_4$  ในโครงงานนี้จะปรับปรุงตัวดูดซับ 2 ชนิด คือ ถ่านกัมมันต์ (Activated carbon) และแร่ดินมองอริลโลไนต์ (Montmorillonite Clay) ตัวดูดซับที่นำมาปรับปรุงให้มีคุณสมบัติทางแม่เหล็กแล้วจะเรียกว่า Magnetic materials ได้แก่ Magnetic clays และ Magnetic activated carbons



รูปที่ 1.1 Magnetic composite separation

จากนั้นนำ Magnetic materials ที่สังเคราะห์ได้มาทดสอบความสามารถในการดูดซับสารปนเปื้อนจากน้ำ โดยในงานวิจัยนี้เลือกดูดซับสี Methylene blue ซึ่งเป็นสีอินทรีย์ที่มีประจุบวก และทำการเปรียบเทียบความสามารถการดูดซับของ Magnetic materials ที่สังเคราะห์ได้กับถ่านกัมมันต์ตั้งต้น และแร่ดินมองอริลโลไนต์ธรรมชาติ

## 1.2 วัตถุประสงค์งานวิจัย

- 1.2.1 เพื่อศึกษาการสังเคราะห์แร่คินตอนต์มอริลโลไนต์และถ่านกัมมันต์ที่มีคุณสมบัติทางเหล็ก
- 1.2.2 เพื่อศึกษาผลของปริมาณ  $\text{FeCl}_3$  และ  $\text{FeSO}_4$  ที่นำมาปรับปรุงสมบัติพื้นผิวของแร่คินตอนต์มอริลโลไนต์และถ่านกัมมันต์ด้วยความสามารถในการดูดซับเมธิลีนบลูในน้ำ
- 1.2.3. เพื่อศึกษาจานวนผลศาสตร์ของการดูดซับเมธิลีนบลูของแร่คินตอนต์มอริลโลไนต์และถ่านกัมมันต์ที่มีคุณสมบัติทางแม่เหล็ก
- 1.2.4 เพื่อศึกษาการดูดซับเมธิลีนบลูในสภาพะปกติและสภาพะแม่เหล็กของตัวดูดซับทั้ง 4 ชนิดดังนี้
  - แร่คินตอนต์มอริลโลไนต์ (Montmorillonite)
  - ถ่านกัมมันต์ ( Activated carbon )
  - แร่คินตอนต์มอริลโลไนต์ที่มีคุณสมบัติทางเหล็ก ( Magnetic clay 1:1, Magnetic clay 1.5:1)
  - ถ่านกัมมันต์ที่มีคุณสมบัติทางเหล็ก ( Magnetic activated carbon 1:1, Magnetic activated carbon 1.5:1 , Magnetic activated carbon 2:1)
- 1.2.5 เพื่อศึกษาความเป็นไปได้ในการนำตัวดูดซับในข้อ 1.2.4 กลับมาใช้ใหม่โดยผ่านกระบวนการทางความร้อน (Regeneration)

## 1.3 สมมติฐานของการวิจัย

- ความสามารถในการดูดซับของถ่านกัมมันต์ แร่คินตอนต์มอริลโลไนต์ และ Magnetic materials ไม่เปลี่ยนแปลงไปกว่าจะเกิดการดูดซับในสภาพะปกติหรือสภาพะแม่เหล็ก
- ตัวดูดซับแต่ละชนิดที่ศึกษามีความสามารถในการดูดซับเมธิลีนบลูต่างกัน
- ตัวดูดซับที่นำมาปรับปรุงให้มีคุณสมบัติทางเหล็กใช้ระยะเวลาในการตอกตะกอนน้อยกว่าตัวดูดซับที่ยังไม่ได้ปรับปรุงเมื่อยืดในสภาพะแม่เหล็ก
- การนำตัวดูดซับกลับมาใช้ใหม่โดยผ่านกระบวนการทางความร้อน (Regenerate) ไม่ทำให้ความสามารถในการดูดซับเปลี่ยนไป และไม่เปลี่ยนแปลงสารประกอบเหล็กใน Magnetic materials

## 1.4 ขอนเทศของการวิจัย

- คัดขนาดแร่คินตอนต์มอริลโลไนต์จนได้ช่วงขนาดอนุภาคน้อยกว่า  $106 \mu\text{m}$
- เปลี่ยนแปลงสมบัติของแร่คินตอนต์มอริลโลไนต์โดยทำปฏิกิริยากับสารที่มีองค์ประกอบของเหล็กเพื่อเปลี่ยนแปลงสมบัติของแร่คิน

- ทดลองหาเวลาในการตอกตะกอนของแร่คินมอนต์มอริล โลในต์ แร่คินมอนต์มอริล โลในต์ที่มีคุณสมบัติทางเหล็ก ถ่านกัมมันต์ และถ่านกัมมันต์ที่มีคุณสมบัติทางเหล็ก ทั้งในสภาพะปกติ และสภาพะที่มีสนามแม่เหล็ก
- ดำเนินการทดลองโดยใช้แร่คินมอนต์มอริล โลในต์ แร่คินมอนต์มอริล โลในต์ที่มีคุณสมบัติทางเหล็ก ถ่านกัมมันต์ และถ่านกัมมันต์ที่มีคุณสมบัติทางเหล็ก เป็นตัวคูดซับเมทริกินบลูซึ่งเป็นสีที่มีประจุบวกทั้งในสภาพะปกติและสภาพะที่มีสนามแม่เหล็ก
- วิเคราะห์ผลการคูดซับโดยใช้เครื่องวัดการคูดกลีนแสง (Spectronic20) เพื่อหาความเข้มข้นของเมทริกินบลูในสารละลาย และเปรียบเทียบความสามารถการคูดซับของแร่คินมอนต์มอริล โลในต์ แร่คินมอนต์มอริล โลในต์ที่มีคุณสมบัติทางเหล็ก ถ่านกัมมันต์ และถ่านกัมมันต์ที่มีคุณสมบัติทางเหล็ก ทั้งในสภาพะปกติและสภาพะที่มีสนามแม่เหล็ก
- นำตัวคูดซับแต่ละชนิดมาวิเคราะห์หาคุณสมบัติทางกายภาพต่างๆ เช่น การหาพื้นที่ผิวและขนาดครูพรุน การวิเคราะห์ห้องค์ประกอบทางเคมี

### 1.5 ประโยชน์ที่คาดว่าจะได้รับ

- เป็นแนวทางในศึกษาการกำจัดสารเจือปนในกระบวนการบำบัดน้ำเสีย และสามารถนำข้อมูลที่ได้ไปใช้เปรียบเทียบกับวิธีการบำบัดน้ำเสียที่ใช้อยู่เดิม
- ลดระยะเวลาในการตอกตะกอนของแร่คินมอนต์มอริล โลในต์ในระบบของแหล่งน้ำหลังการคูดซับ

## บทที่ 2

### ปริทัศน์วรรณกรรม

#### **2.1 แร่ดินมอนต์มอริลโลไลน์**

แร่ดินเป็นแร่ที่พบในตะกอนและการสลายตัวของถ้ำภูเขาไฟ แร่ดินมอนต์มอริลโลไลน์ตัดอยู่ในกลุ่ม แร่ซิลิกेटที่เป็นแผ่นอยู่ในสภาพคลออลอยด์ ผลึกแร่ดินแบ่งออกเป็น 2 ประเภทใหญ่ๆ คือ

ก. แร่ดินซิลิกेट (Silicate Clays) ได้แก่ แร่ดินที่มีอลูมิเนียมและซิลิกेटเป็นองค์ประกอบที่สำคัญ มีโครงสร้างเป็นแผ่นชั้นๆ กัน

ข. แร่ดินที่มีส่วนผสมของเหล็กและอลูминัม (Iron and Aluminum Clays) ได้แก่ แร่ดินที่มีเหล็กและ อลูมิเนียมออกไซด์เป็นองค์ประกอบ

#### **แร่ดินซิลิกेट (Silicate) แบ่งออกเป็น 3 กลุ่มใหญ่ๆ คือ**

ก. กลุ่มแร่ดินขาว (Kaolinite Group) เป็นดินเหนียวแบบ 1:1 คือ มีแผ่นอลูมินาและแผ่นซิลิกาอย่าง ละเพื่อนประกอบเป็น 1 หน่วย

ข. กลุ่มสมектไทด์ (Smectite or Montmorillonite) เป็นดินเหนียวแบบ 2:1 คือ แผ่นซิลิกา 2 แผ่น ประกอบแผ่นอลูมินา 1 แผ่น เป็น 1 หน่วย

ค. กลุ่มแร่ไมกา (Illite or Hydrous Mica) มีการจัดตัวแบบ 2:1 เช่นเดียวกับกลุ่มสมектไทด์แต่ในโครง สร้างมีโป๊เตสเซียมอยู่ทำให้ชั้นโครงสร้างขยายตัวได้น้อย

#### **สมบัติสำคัญของแร่ดินซิลิกेट**

แร่ดินซิลิกे�ตมีคุณสมบัติแตกต่างจากแร่ที่มีเหล็กและอลูมินาในด้านคุณสมบัติการขยายตัว หดตัว การดูดซับ ไอออน โดยแร่ดินที่มีเหล็กและอลูมิเนียมผสมอยู่จะมีการขยายตัว หดตัวลดลงตามความ เหนียวแน่นอยกว่าแร่ดินซิลิกेट สำหรับในการดูดซับ ไอออนน้อยกว่า แต่ความคงทนต่อการฉีก裂มากกว่าแร่ดินซิลิกेट อย่างไรก็ตามในกลุ่มของแร่ดินซิลิกे�ตเองมีคุณสมบัติแตกต่างกันในแต่ละกลุ่ม ทั้งนี้เนื่องมาจากการจัดตัวที่แตกต่างกัน โดยแร่ดินที่มีการจัดตัวประเภท 2:1 มีการขยายตัวและสำหรับ การดูดซับมากกว่าประเภท 1:1

#### **รูปร่างและขนาดของแร่ดินซิลิกेट**

ขนาดของอนุภาคแร่ดินซิลิกे�ตมีขนาดตั้งแต่ 0.01 ถึง 5.0 ไมครอน ประมาณชนิดและองค์ประกอบ ทางแร่ รูปร่างของแร่ดินซิลิกे�ตมีลักษณะเป็นแผ่นบางๆ (Flake-Like) ประกอบด้วยผลึกของแร่ที่มี โครงสร้างแบบ เช่น แร่ไมกา และอนุภาคของดินเหนียว บางชนิดจะอยู่ในรูปผลึก 6 เหลี่ยมเห็นมุม ชั้กเงน

#### **พื้นที่ผิว (Surface Area)**

อนุภาคของแร่ดินซิลิกे�ตมีพื้นที่ผิวจำเพาะต่อหน่วยน้ำหนัก หรือ Specific Surface สูงมาก เนื่องจาก อนุภาคมีขนาดเล็กและเป็นแผ่นแบบ ในอนุภาคที่มีน้ำหนักเท่ากันอนุภาคที่เป็นรูปทรงกลมจะมีพื้นที่ ผิวน้อยที่สุด ส่วนอนุภาคที่เป็นรูปแบบหรือแผ่นจะมีพื้นที่ผิวมากที่สุด นอกเหนือจากพื้นที่ผิว

ภายนอก (External Surface) อนุภาคดินของแร่คิณหนีบชิลิกे�ตบางชนิดยังมีพื้นที่ผิวภายใน (Internal Surface) ซึ่งเป็นพื้นที่ผิวที่อยู่หลังระหว่างแผ่นคลิกของแร่คิณหนีบชิลิกे�ตที่ซ่อนหักกันเป็นอนุภาค หรือโมเลกุลของคิณหนีบรวมตัวกัน

### ความเหนียว (Cohesion) และอ่อนตัว (Plasticity)

ความเหนียวหมายถึงความสามารถในการเกาะยึดกันระหว่างอนุภาคของดินและความอ่อนนุ่มนิ่บปืน ให้เป็นรูปต่างๆ และคงสภาพอยู่ เช่นนั้น ได้เมื่อมีความชื้นที่เหมาะสม คุณสมบัติทางด้านความเหนียว และความอ่อนตัวนี้จะเกี่ยวข้องกับพื้นที่ผิวของดิน โดยคิณหนีบชิลิกे�ตที่มีความเหนียวและอ่อนตัวสูงจะเป็นดินที่มีพื้นที่ผิวมากจึงมีโอกาสคุกคิค่อนุภาคของน้ำไว้ในผิวได้มาก ทำให้การยึดเกาะกันเพิ่มมากขึ้นด้วย

### การขยายตัว (Swelling) และการหดตัว (Shrinking)

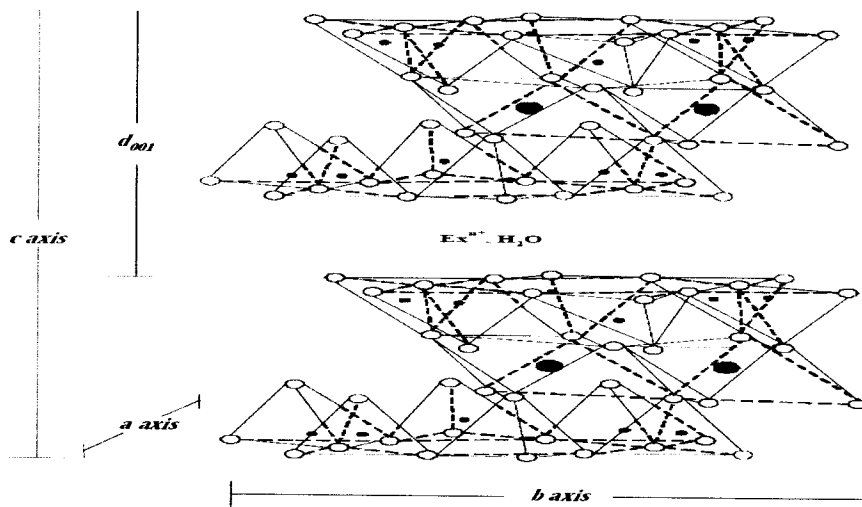
อนุภาคแร่คิณที่มีโครงสร้างเป็นแผ่นคลิกที่ซ่อนหักกันเป็น Clay Micell จะมีช่องหรือหลีบระหว่าง แผ่นคิณซึ่งกว้างและการยึดเกาะไม่หนึวยนักทำให้อนุภาคของแร่คิณที่เปียกน้ำมีการพองตัวและขยายตัวมากขึ้น และหดตัวเมื่อเพาไลน์ที่อยู่ภายในอนุภาคให้หมดไป

### ประจุลบและการคุกคิคิโอลอนบวก

ตามปกติอนุภาคของแร่คิณในธรรมชาติจะมีประจุลบ และสามารถดึงคุกคิคิโอลอนบวก ทำให้เกิดสภาพของประจุสองชั้น หรือ Ionic Double Layer โดยอนุภาคคิณหนีบชิลิกะเป็นประจุลบที่มีกลุ่ม ไอโอนบวก ด้อมรอบอยู่ไโอลอนบวกเหล่านี้จะถูกยึดติดอยู่ที่ผิวของอนุภาคคิณหนีบชิลิกะและสามารถถูกแทนที่โดย ไอโอนบวกชนิดอื่น หรือที่เรียกว่า Exchangeable Cation

แร่คิณมอนต์morillo ในตัวเป็นแร่คิณในกลุ่มสมมาตรไทร์ มีสูตร โครงสร้างทางเคมีทั่วไปคือ  $M_y^{+} (Al_2-yMg_y)(Si_4O_{10}[OH_2]).nH_2O$  เมื่อ  $y$  คือระดับความไม่สมบูรณ์ของสารตัวอย่าง หรือสูตรอย่างง่ายคือ  $Na_{0.6}(Al_3.4Mg_{0.6})(Si_8O_{20}[OH]_4).nH_2O$  มีโครงสร้างดังรูปที่ 2.1 โดยในหนึ่งชั้น โครงสร้างประกอบด้วยแผ่นคลิกสามชั้นและอุดมินาหนึ่งแผ่นสอดคลอยู่ระหว่างแผ่นคลิกและเกาะยึดกันร่วมกัน คลิกจะเชื่อมต่อในแนวระดับเป็นชั้นๆ และมักมีไโอลอนของโซเดียม แคลเซียมอยู่ด้วยในระหว่างชั้น สามารถเข้าแทรกในระหว่างชั้นโครงสร้างได้ง่าย อนุภาคชนิดนี้จึงมีความสามารถในการคุกคิคิสูง สามารถเข้าแทรกในระหว่างชั้นโครงสร้างได้ง่าย อนุภาคที่พบมีขนาดเล็กคือมีขนาดอยู่ระหว่าง 0.01–0.1 ไมครอน ซึ่งว่างระหว่างแผ่นที่ซ่อนหักกันมีความหนาแน่นอยู่ที่สุดประมาณ 9.5 อังสตรอม ซึ่งว่างในครองนี้จะขยายเพิ่มขึ้นได้จากการศึกษาโครงสร้างของแร่คิณมอนต์morillo ในตัวโดยเทคนิค X-ray Diffraction (XRD) พบว่าการสะท้อนกลับของรังสีทั้งหมดจะเกิดในทิศทางแนวแกน c ซึ่งชี้ให้เห็นว่า การพองตัวในระหว่างชั้นอาจเป็นหนึ่งเท่า สองเท่าหรือหลายเท่าของจำนวนชั้นของน้ำที่มีอยู่ใน การพองตัวในระหว่างชั้นอาจเป็นหนึ่งเท่า สองเท่าหรือหลายเท่าของจำนวนชั้นของน้ำที่มีอยู่ในโครงสร้าง โมเลกุลและแต่ละระดับของการพองตัวทำให้เกิดช่องว่าง ในการวัดระยะแกน c จะต้องมีโครงสร้างไม่เส้นตรงและไม่ต่อเนื่อง

การควบคุมความชื้น การสะท้อนกลับของรังสีโดยทั่วไปจากระบบ  $hk\text{-}band$  ในทิศทาง  $a$  และ  $b$  สามารถใช้บวกลักษณะของแร่แต่ละชนิดได้

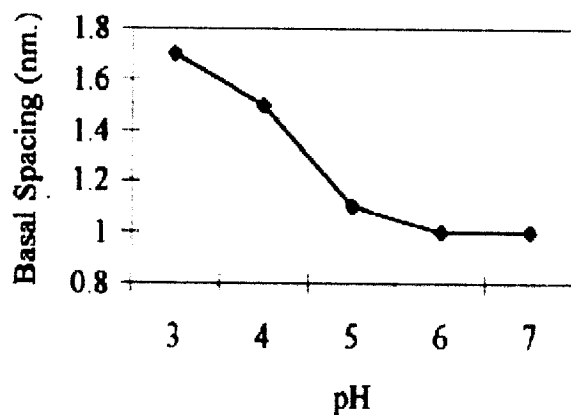


รูปที่ 2.1 โครงสร้างของแร่ดินอนต์มอริลโลไนต์ วงกลมสีดำเล็กคือ  $\text{Si}^{4+}$  วงกลมสีขาวคือ  $\text{Al}^{3+}$  หรือ  $\text{Mg}^{2+}$  และวงกลมกลางคือ ออกรซิเจน

ชนิดของแร่ดินอนต์มอริลโลไนต์ แบ่งออกตามองค์ประกอบที่มีชาตุโภเดิมและแคลเซียมอยู่คือ ก. แร่ดินอนต์มอริลโลไนต์ที่ประกอบด้วยแร่ดินโซเดียม-มอนต์มอริลโลไนต์ (Sodium-Montmorillonite) จะมีความสามารถในการดูดซึมน้ำได้มาก เพราะว่าผลึกของดินที่มีขนาดเล็กมาก กระจัดกระจายอยู่ในน้ำทำให้น้ำโคลนมีลักษณะกึ่งแข็งและกึ่งเหลวคล้ายวุ่นเหมือนสำหรับเป็นน้ำโคลนในหลวงใช้ในการเจาะหรือเรียกว่า โคลนเจาะ (Drilling Mud) นอกจากนี้ยังใช้ผสมทรายทำแม่น้ำหลอมและวัสดุทุนไฟ

ข. แร่ดินอนต์มอริลโลไนต์ที่ประกอบด้วยแร่ดิน แคลเซียม-มอนต์มอริลโลไนต์ (Calcium-Montmorillonite) หรือเรียกประเภทที่ไม่พองตัวมาก (Non Swelling Type) ซึ่งจะมีคุณสมบัติในการดูดซึมน้ำและพองขยายตัวได้น้อยกว่าชนิดแรก แต่ก็สามารถนำมาทำโคลนเจาะหลุมตื้นๆ ได้ ซึ่งก่อนจะนำไปทำโคลนเจาะ ได้ แร่ดินอนต์มอริลโลไนต์ต้องผ่านกรรมวิธีการปรับปรุงคุณภาพด้วย Soda Ash Polymers หรือสารเคมีอื่นเสียก่อน สำหรับแร่ดินอนต์มอริลโลไนต์ชนิดนี้ ส่วนใหญ่จะใช้ทำสารดูดซึมหรือฟอกสี (Absorbents) ใช้ในเครื่องกรองน้ำมันในโรงกลั่น ใช้กรองน้ำบาดาลและน้ำมันพืชให้ปราศจากสิ่งสกปรก ใช้ฟอกหนังและกรองน้ำมันเครื่องใช้แล้วให้เก็บสู่สภาพเดิมได้ เมื่อมีน้ำในโครงสร้างแร่ดินอนต์มอริลโลไนต์จะเกิดการพองตัวเนื่องจากแรงดึงดูดของโมเลกุลของน้ำเกิดการแตกเปลี่ยนประจุบวก ซึ่งปริมาณการพองตัวนี้จะขึ้นอยู่กับปริมาณน้ำว่ามากน้อยเพียงใด ซึ่งสามารถแยกเปลี่ยนประจุได้ ถ้าประจุที่แยกเปลี่ยนคือประจุโซเดียมและมีน้ำอยู่จำนวนมากจะสามารถพองตัวได้หลายเท่า แต่ถ้าดินนั้นเกิดแห้งตัวลงก็จะเกิดการแยกตัวได้ จากการศึกษาพบว่า

ระยะห่างระหว่างชั้นโครงสร้างของแร่ดินมอนต์อริลโลไนต์จะขึ้นอยู่กับค่าความเป็นกรด-ด่างของระบบ โดยระยะห่างระหว่างชั้นโครงสร้างของแร่ดินจะมีค่าลดลงเมื่อมีความเป็นกรดมากขึ้น (Schnitzer and Khan, 1972) แสดงดังรูปที่ 2.2



รูปที่ 2.2 ความสัมพันธ์ของ pH กับระยะห่างระหว่างชั้นของแร่ดินมอนต์อริลโลไนต์  
ที่มา Schnitzer and Khan (1972), **Humic Substances in the Environment**, Marcel Dekker Inc:  
 New York, 253-279

แร่ดินมอนต์อริลโลไนต์ที่พบในประเทศไทยมักเป็นแร่ดินสเมคไทต์หรือแร่ดินมอนต์อริลโลไนต์ 70-80 % และมีสีเงาเป็นซึ่งบางครั้งประกอบด้วยคริสโตกบาร์ไอลิต แคลไซต์ ไฮมาไทต์ เฟลต์สปาร์ ควอตซ์ ไมกา และคาโนลิโนต์ปอนอยู่บ้าง ซึ่งเป็นส่วนประกอบทางเคมีที่สำคัญ ส่วนแร่ดินมอนต์อริลโลไนต์ที่นำมายใช้ในการวิจัยครั้งนี้ เป็นแร่ดินมอนต์อริลโลไนต์ที่มีชื่อทางการค้าว่า MAC-GEL ของบริษัท ไทยนิปปอนเคมีภัณฑ์อุตสาหกรรม จำกัด ซึ่งมีลักษณะเป็นผงละเอียด สีน้ำตาล ตารางที่ 2.1 แสดงรายละเอียดเฉพาะของแร่ดินมอนต์อริลโลไนต์ ที่ใช้ในการวิจัย ค่า Cation Exchange Capacities (CEC) ของแร่ดินมอนต์อริลโลไนต์มีค่าเท่ากับ 80 meq. ต่อ 100 g ของแร่ดินมอนต์อริลโลไนต์

ตารางที่ 2.1 องค์ประกอบทางเคมีของแร่ดินมอนต์อริลโลไนต์ (แสดงเปอร์เซนต์โดยน้ำหนัก)

SiO <sub>2</sub>	56-60	MgO	1.5-2.0
Al <sub>2</sub> O <sub>3</sub>	16-18	CaO	1.9-2.1
Fe <sub>2</sub> O <sub>3</sub>	5-7	K <sub>2</sub> O <sub>3</sub>	0.3-0.5
Na <sub>2</sub> O	2.4-3	TiO <sub>2</sub>	1.2-1.5
Loss of Ignition	11-12		

ที่มา จาก บริษัท ไทยนิปปอนเคมีภัณฑ์อุตสาหกรรม จำกัด

## 2.2 Point of Zero charge

เมื่อมีการเปลี่ยนแปลง pH ของสารละลายน้ำที่ห่อหุ้มหรือล้อมรอบแร่ที่มีประจุลักษณะเปลี่ยนแปลงได้ปริมาณประจุบวกและประจุลบของแร่จะเปลี่ยนแปลงไป โดยจำนวนประจุบวกอาจเพิ่มขึ้น แต่จำนวนลบอาจลดลง หรือ จำนวนประจุลบเพิ่มขึ้นแต่จำนวนประจุบวกลดลง การเปลี่ยนแปลงนี้เกิดขึ้นตามค่า pH ที่เปลี่ยนไป จนถึง pH ระดับหนึ่ง ที่จำนวนประจุลบในดินเท่ากับจำนวนประจุบวกในดิน นั่นคือ จำนวนประจุสุทธิ (Net charge) ซึ่งหมายถึงผลต่างของประจุทั้ง 2 ชนิด เท่ากับศูนย์ ค่า pH นั้น ๆ ได้เช่นเดียวกัน จึงเรียกว่า point of zero charge (Point of zero charge) หรือที่เรียกอีกอย่างว่า pzc แร่แต่ละชนิดมีค่าพีแซคซ์ ไม่เท่ากัน ดังแสดงในตารางที่ 2.2 และตารางที่ 2.3 ดังนั้น พีแซคซ์ของดินแต่ละแห่ง หรือแต่ละชนิดมีค่าไม่เท่ากัน เนื่องจากความต่างในเรื่องของชนิดและองค์ประกอบของแร่และของอินทรีย์ตุณในดิน ตลอดจนชนิดของไอออนที่คุณชั้บไว้ การที่เกิดคืนชั้นบน (A) มีค่าแซคซ์ต่ำกว่าคืนล่าง เนื่องจากชั้นดินบนมีอินทรีย์ตุณสะสมมากกว่าดินล่าง

การวัดปริมาณประจุไฟฟ้าในดินทำได้หลายวิธี แต่ที่นิยมใช้กันทั่วไป ได้แก่ วิธีโพเท็นชิโอะเมตริก ไทด์เตอร์ชั้น และวิธีวัดการคุณชั้บ ไอออนที่ค่า pH ต่างๆ กัน สำหรับวิธีโพเท็นชิโอะเมตริก ไทด์เตอร์ชั้น (potentiometric titration) เป็นวิธีที่ใช้การไทด์เตอร์ดินหรือแร่ที่ผสมกับสารละลายน้ำ HCl และ NaOH ที่มีความเข้มข้นต่าง ๆ กัน พร้อมทั้งบันทึกค่า pH และวัดความต่างของปริมาณ  $H^+$  และ  $OH^-$  ที่ดินหรือแร่คุณชั้บไว้ จำนวนมากสัมพันธ์กับค่า pH จะได้เส้นกราฟหลากรูปแบบ ซึ่งจะตัดกันตรงค่า pH หนึ่งค่า pH นี้มีชื่อเรียกว่า point of zero charge หรือ zpc จะเห็นได้ว่าค่า pzc หรือ zpc เป็นค่า pH ที่ความเข้มข้นของเกลือในสารละลายไม่มีผลต่อปริมาณการคุณชั้บ  $H^+$  หรือ  $OH^-$  ค่า pzc หรือ zpc จึงได้ให้ชื่อใหม่ว่า ค่า point of zero salt effect หรือ pzse

ตารางที่ 2.2 ค่าพอยท์อฟชีโรชาร์ของแร่และดินบางชนิด

แร่หรือดิน	สูตร	p.z.c	แหล่งข้อมูล
Quartz	$\text{SiO}_2$	1-3	Parks (1965)
Montmorillonite	$(\text{OH})_4\text{Si}_8\text{Al}_4\text{O}_{20}$	<=2.5	Parks (1967)
Kaolinite	$(\text{OH})_8\text{Si}_4\text{Al}_4\text{O}_{10}$	3	Tschapek et al. (1974)
Magnetite	$\text{Fe}_3\text{O}_4$	6.5	Parks (1965)
Maghemite	$-\text{Fe}_2\text{O}_3$	6.7	Parks (1965)
Goethite	$-\text{FeOOH}$	5.9-7.2	Parks (1965)
Haematite	$-\text{Fe}_2\text{O}_3$	8.3-9.0	Parks (1965)
Amorphous iron hydroxide	$\text{Fe}(\text{OH})_3$	8.5	Stumm and Morgan (1970)
Gibbsite	$-\text{Al}(\text{OH})_3$	7.8-9.5	Hingston et al. (1972)

ตารางที่ 2.3 ค่าพอยท์อฟชีโรชาร์ของดินที่ผ่านการสลายตัวมาก

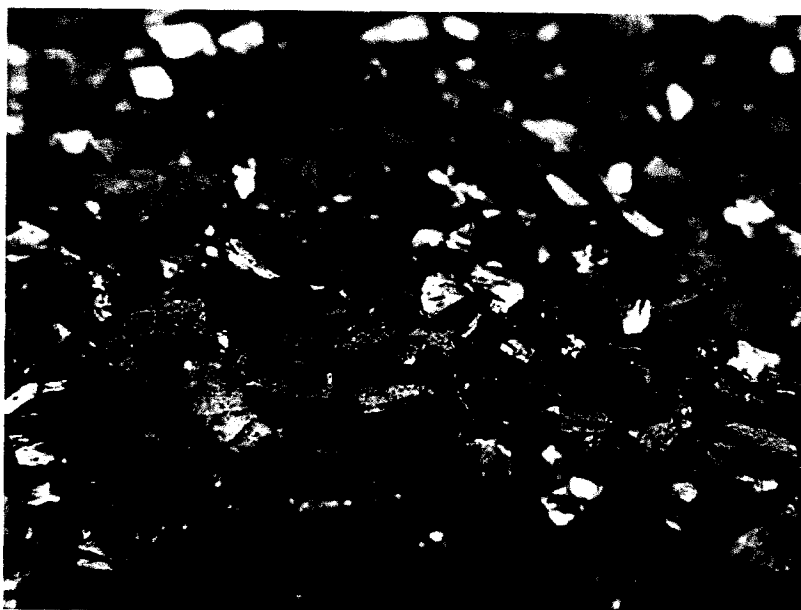
Great Groups	ชั้นดิน	Organic Carbon	แร่ที่มีมากในดิน*	pH	pzc**
Acrohumox	บน	6.3	GO, Gi, K, V, I	5.2	4.8
Acrohumox	ล่าง	0.2	K, GO, Gi	4.8	6.4
Acrohumox	บน	1.9	K, Gi, GO	4.9	3.6
Acrohumox	ล่าง	0.3	K, Gi, GO	4.9	4.2
Gibbsihumox	บน	2.87	-	5.0	4.4
Gibbsihumox	ล่าง	0.99	-	5.0	5.7
Tropohumult	บน	4.7	K, GO	5.9	3.0
Tropohumult	ล่าง	0.6	K, GO	5.8	3.4

\* Gi = กิบไชท์; GO = โกไทท์; I = อิลไลท์; K = แคนโอลิตไนท์; V = เวอร์มิคุไลท์

\*\* วิธีโพแท็นซิโอมترิกไตเตอร์ชั้น

### 2.3 ถ่านกัมมันต์

ถ่านกัมมันต์ (Activated carbon) คือ สารกลุ่มคาร์บอนที่ผิวน้ำมีรูพรุนขนาดเล็กจำนวนมาก สามารถใช้ประโยชน์ได้ในการดูดซับสารจากของเหลวหรือก๊าซที่มาสัมผัส ทำให้ของเหลวหรือก๊าซนั้นมีความบริสุทธิ์สูงขึ้น ถ่านกัมมันต์โดยทั่วไปควรมีพื้นที่ผิวน้ำอยู่ประมาณ 600-1,000 ตารางเมตรต่อกรัมและมีค่าการดูดซับไออกไซเดน (Iodine number) ที่มากกว่า 1000 ซึ่งให้เห็นว่าถ่านกัมมันต์มีรูพรุนขนาดเล็ก (microporous) จำนวนมาก ซึ่งรูพรุนขนาดเล็กจำนวนมากส่งผลให้ปริมาณพื้นที่ทั้งหมด (Total Surface area) สูงเช่นกัน สาเหตุที่ถ่านกัมมันต์เป็นวัสดุที่มีพื้นที่ผิวสูงเนื่องจากมีรูพรุนขนาดเล็ก (Microporosity) จำนวนมาก



รูปที่ 2.3 ถ่านกัมมันต์

สำนักงานมาตรฐานผลิตภัณฑ์อุตสาหกรรมกล่าวไว้ว่า ถ่านกัมมันต์ คือ ผลิตภัณฑ์ที่ได้จากการนำวัตถุดิบธรรมชาติที่มีคาร์บอนเป็นองค์ประกอบหลักมาผ่านกระบวนการวิธีก่อถ่านมันต์จนได้ผลิตภัณฑ์ที่เป็นสีดำ มีโครงสร้างที่มีลักษณะเป็นรูพรุน มีพื้นที่ผิวสูง และมีสมบัติในการดูดซับสารต่างๆ ได้ชนิดของถ่านกัมมันต์สามารถแบ่งโดยอาศัยหลักต่างๆ มาหลายขั้นอยู่กับความหลากหลายของผู้ใช้งาน ตัวอย่างการแบ่งชนิดของถ่านกัมมันต์ได้แก่

#### ก. การแบ่งตามชนิดของสารกระตุ้น

- การกระตุ้นทางเคมี (Chemical activation): โดยส่วนใหญ่จะใช้กรดอนินทรีย์ผสมเข้ากับวัสดุเริ่มต้นเพื่อที่จะกัดสิ่งสกปรก (Cauterization) ออกจากกรุเล็กๆ ถ่านกัมมันต์ที่ได้จากการนี้จะมีรูพรุนขนาดใหญ่ แต่วิธีการนี้ยังเป็นที่สงสัยกันอยู่ว่าอาจมีสารเคมีตกค้างอยู่ในผลผลิตสุดท้ายได้

- การกระตุ้นด้วยไอน้ำ (Steam activation): วัสดุที่ทำการรับอนจะถูกผสมกับไอน้ำ และหรือ ก๊าซที่อุณหภูมิสูงเพื่อกระตุ้น ถ่านกัมมันต์ที่ได้จากวิธีนี้มักจะมีรูพรุนขนาดเล็ก นิยมใช้คุณภาพเก็บและไอะโซ่

#### ข. การแบ่งตามขนาดอนุภาค

- ถ่านกัมมันต์ชนิดเม็ด (Granular activated carbon) เป็นถ่านกัมมันต์ที่ผ่านตะแกรงขนาด 150 ไมโครเมตร ไม่เกินร้อยละ 5 โดยน้ำหนัก มีลักษณะเป็นเม็ด ซึ่งได้จากการอัดผ่านเครื่องอัด เป็นเส้นกลมๆแล้วตัดออกเป็นท่อนเท่าๆกัน หรืออาจทำเป็นเกล็ดที่ได้จากการย่อยอนุภาคขนาดใหญ่ ถ่านกัมมันต์ชนิดนี้มักใช้ในการดูดซับแก๊สและไอะโซ่
- ถ่านกัมมันต์ชนิดผง (Powder activated carbon) เป็นถ่านกัมมันต์ที่ผ่านตะแกรงขนาด 150 ไมโครเมตร ไม่น้อยกวาร้อยละ 99 โดยน้ำหนัก มีลักษณะเป็นผง ซึ่งได้จากการบด ถ่านกัมมันต์ชนิดนี้มักใช้งานเกี่ยวกับการดูดซับในสภาวะของเหลว

#### ค. การแบ่งตามขนาดรูพรุนบนผิวของถ่านกัมมันต์(แบ่งตามเกณฑ์ของ IUPAC)

- รูพรุนขนาดเล็ก (Micropores) มีเส้นผ่านศูนย์กลาง  $< 2$  นาโนเมตร
  - รูพรุนขนาดกลาง (Mesopores) มีเส้นผ่านศูนย์กลาง  $2 - 50$  นาโนเมตร
  - รูพรุนขนาดใหญ่ (Macropores) มีเส้นผ่านศูนย์กลาง  $> 50$  นาโนเมตร
- วัตถุคิบที่นำมาใช้ในการผลิตถ่านกัมมันต์มักมีคุณสมบัติดังต่อไปนี้
- มีปริมาณคาร์บอนสูง
  - มีปริมาณอนินทรีย์ต่ำ
  - เป็นของเหลวทึบ หรือมีราคาถูก
  - มีความสะดวกในการนำมาใช้งาน เช่น ไม่สลายตัวเมื่อเก็บ

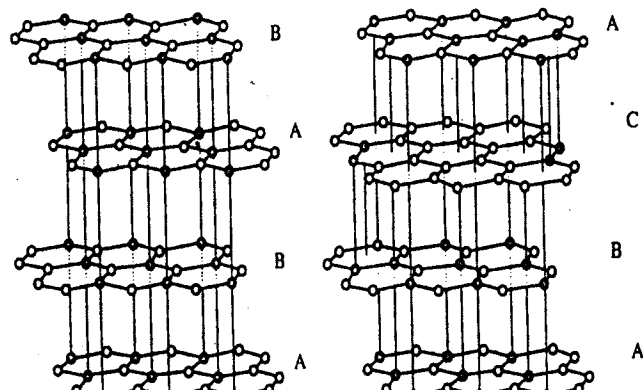
วัสดุเริ่มต้นสามารถใช้เป็นวัสดุcarbон (Carbonic materials) ที่เป็นวัตถุคิบธรรมชาติ เช่น ไมเนียร์เจ็ง ไมเนียร์อ่อน ชั้นข้าวโพด แกลบข้าว กระ吝ะพร้าว กระลาป้าล้ม ชานอ้อย ฯลฯ เป็นต้น แต่ก็มีลักษณะของวัตถุคิบที่แตกต่างกัน เช่น วัสดุที่มีความหนาแน่นต่ำและสารระเหยสูง เช่น ไม้ลิกนิน มักได้ถ่านกัมมันต์ที่มีปริมาตรรูพรุน (Pore volume) สูง และความหนาแน่นต่ำ ซึ่งใช้ดูดซับในสารละลายน้ำได้ดี แต่ดูดซับแก๊สได้ไม่ดี ส่วนวัสดุที่มีความหนาแน่นสูงและมีสารระเหยสูง เช่น กระ吝ะพร้าว เป็นต้น จะทำให้ถ่านกัมมันต์ที่ได้มีปริมาณของรูพรุนขนาดเล็ก (Micropore volume) สูงสามารถใช้ดูดซับได้ทั้งในสารละลายน้ำและแก๊ส

## การใช้ประโยชน์ถ่านกัมมันต์มีหลากหลาย เช่น

- การสกัดโลหะ (เช่น ทองคำ)
- การทำน้ำให้บริสุทธิ์
- ยา
- การบำบัดน้ำเสีย (Sewage treatment)
- ใช้เป็นสารกรองก๊าซ และ หน้ากากกรองใช้กรองอากาศ

โครงสร้างของถ่านกัมมันต์มีลักษณะคล้ายกับแกรไฟต์ แต่มีความเป็นระเบียบของการจัดเรียงตัวน้อยกว่าแกรไฟต์ โดยโครงสร้างของแกรไฟต์แสดงในรูปที่ 2.4 ซึ่งประกอบด้วยชั้นคาร์บอนอะตอมในรูปของวงเบนเซิน อะตอมของคาร์บอนแต่ละอะตอมจะเกิดพันธะเดี่ยวกับคาร์บอนอีกสามอะตอมในรัศนาบเดียวกัน อิเล็กตรอนของคาร์บอนอะตอมอิกหนึ่งอิเล็กตรอนที่เหลือจะเคลื่อนที่ไปทั่วโครงสร้างเกิดเป็นเรโซแนนซ์เพื่อทำให้โครงสร้างของชั้นคาร์บอนเสถียรยิ่งขึ้น แต่ละชั้นจะมีดิหนี่ยกันด้วยแรงแวนเดอร์วัลส์ซึ่งเป็นแรงที่อ่อนมาก ดังนั้น ณ จุดนี้โครงสร้างของแกรไฟต์จะเกิดฉุบกพร่องได้ง่าย โครงสร้างของถ่านกัมมันต์เป็นโครงสร้างของแกรไฟต์ที่ไม่สมบูรณ์โดยเกิดการเบี่ยงเบนในแนวตั้งจากและซ้อนเหลือมในแนวราบที่มีทิศทางไม่แน่นอนและไม่เป็นระเบียบ ซึ่งว่างระหว่างชั้นมีมาก ดังแสดงในรูปที่ 2.5 ซึ่งว่างนี้ทำให้เกิดโครงสร้างรูปrun โดยมีลักษณะที่ไม่แน่นอนแตกต่างกันไป โดยทั่วไปจะเรียกรูปrunเหล่านี้ตามขนาด คือ ขนาดเล็ก (Micropore) ขนาดกลาง (Mesopore) และขนาดใหญ่ (Macropore) จำนวนของรูปrunแต่ละขนาดหรือที่เรียกว่าการกระจายขนาดของรูปrun (Pore size distribution) จะขึ้นอยู่กับชนิดของวัตถุคิบที่ใช้ และวิธีการกระตุนโดยรูปrunที่มีขนาดใหญ่จะทำหน้าที่เป็นเพียงทางผ่านของสารถูกคุกคามเข้าไปยังรูปrunขนาดเล็กซึ่งไม่ค่อยมีผลต่อความชุ่มในการคุกคาม แต่จะมีผลต่ออัตราเร็วในการคุกคาม สำหรับรูปrunขนาดกลางจะสามารถคุกคามไม่เลกูลของของเหลวได้ และสำหรับรูปrunขนาดเล็กนั้นสามารถคุกคามไม่เลกูลของแก๊สและไออกไซด์ ความชุ่มในการคุกคามนักจากจะขึ้นกับพื้นที่ผิวแล้ว ยังขึ้นกับลักษณะและธรรมชาติของผิวถ่านกัมมันต์ด้วย ถ้าผิวของถ่านบริเวณที่คุกคามเป็นราบพื้นฐานซึ่งมีเพียงอะตอมของคาร์บอน แต่ไม่มีหมุ่ฟังก์ชันอื่นๆ การคุกคามนั้นจะเกิดจากแรงแวนเดอร์วัลส์ ซึ่งเป็นแรงยึดเหนี่ยวที่ค่อนข้างอ่อนถึงแม้จะคุกคามได้แต่ไม่เลกูลของสารที่ถูกคุกคามจะหลุดออกได้ง่าย แต่ถ้ามีหมุ่ฟังก์ชันอยู่ที่ผิวของถ่านบริเวณที่คุกคามนั้น การคุกคามจะเกิดจากแรงยึดเหนี่ยวที่แข็งแรงกว่าและไม่เลกูลของสารที่ถูกคุกคามจะหลุดออกยากกว่า ตัวอย่างของหมุ่ฟังก์ชันบนผิวของถ่านกัมมันต์แสดงดังรูปที่ 2.6 มีทั้งพวกออกไซด์ของกรดซึ่งพบมากบนผิวถ่านกัมมันต์ที่ใช้อุณหภูมิต่ำกว่า 400-500 องศาเซลเซียส ในการผลิต เช่น หมู่การบอนิล (Carbonyl) พีโนอล (Phenol) แล็คโตัน (Lactone) ขัลคีไซด์ (Aldehyde) คีโตัน (Ketone) เป็นต้น และพวกออกไซด์ของเบสซึ่งพบมากบนถ่านกัมมันต์ที่

ใช้อุณหภูมิประมาณ 800-1000 องศาเซลเซียส ในการผลิต เช่น หมู่ไฮดรอกไซด์ (Hydroxide) และ คาร์บอนเนต (Carbonate) เป็นต้น



(ก) แบบ Hexagonal

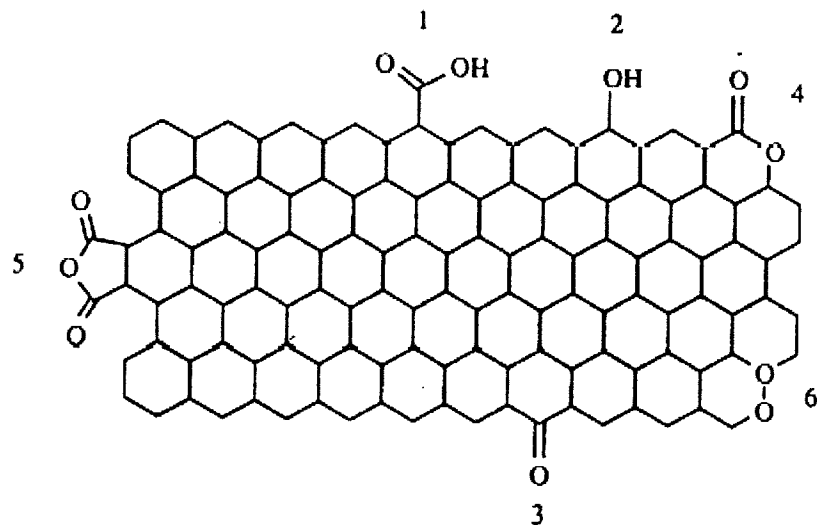
#### (၅) ဧပြီ Rhombohedral

รูปที่ 2.4 โครงสร้างของพลีกแกรไฟต์



### รูปที่ 2.5 โครงสร้างของถ่านกัมมันต์

การสังเคราะห์แร่ดินที่มีสมบัติทางแม่เหล็กเพื่อเป็นตัวคลปริมาณสารปันปื้นในระบบของเหลว



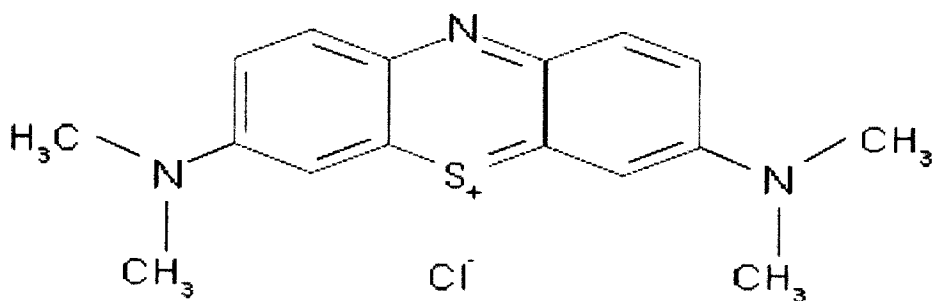
รูปที่ 2.6 หมู่พิษชั้นต่างๆ บนผิวของถ่านกันมันต์

- |                    |                       |                    |
|--------------------|-----------------------|--------------------|
| 1. Carboxylic acid | 2. Phenol             | 3. Quinone         |
| 4. Lactone         | 5. Carboxyl anhydride | 6. Cyclic peroxide |

การสังเคราะห์เรคินที่มีสมบัติทางเคมีเหล็กเพื่อเป็นตัวลดปริมาณสารปนเปื้อนในระบบของเหลว

## 2.4 เมธิลีนบลู

เมธิลีนบลูเป็นสีอินทรีย์ที่มีประจุบวก สูตรเคมีคือ  $C_{16}H_{18}ClN_3S$  ลักษณะโครงสร้างทางเคมีแสดงดังรูปที่ 2.7 อาจเรียกได้หลายชื่อดังนี้ C.I. Basic Blue 9, Solvent Blue 8, C.I.52015 ซึ่งมีน้ำหนักโมเลกุล 373.9 โดยทั่วไปใช้เป็นสารย้อมสีในการศึกษาทางแบคทีเรีย เป็นรีอเจนท์ ตัวยับยั้งกระบวนการสร้างโพลีเมอร์และสีย้อมพมชนิดไม่ถาวร ใช้เป็นสีย้อมกระดาษ สิ่งทอ หนัง ไม้ ของใช้สำนักงาน เครื่องสำอางค์และในงานพิมพ์ภาพในผ้าไหม ดังนี้จึงพบในอุตสาหกรรมทั่วไป เช่น อุตสาหกรรมการพิมพ์ อุตสาหกรรมฟอกหนัง อุตสาหกรรมย้อมสี เป็นต้น



รูปที่ 2.7 โครงสร้างทางเคมีของเมธิลีนบลู

## 2.5 กระบวนการดูดซับ (Adsorption)

การดูดซับเป็นการแยกองค์ประกอบที่ต้องการออกจากสารละลายของเหลวหรือก๊าซโดยให้สารละลายหรือก๊าซผ่านไอลสัมผัสกับตัวดูดซับที่เป็นของแข็ง องค์ประกอบแต่ละชนิดในสารละลายมีความสามารถในการกระจายบนผิวและเกิดแรงดึงดูดกับตัวดูดซับได้ต่างกัน ปรากฏการณ์การดูดซับขึ้นอยู่กับลักษณะ โครงสร้างของตัวดูดซับเอง คุณสมบัติทางเคมีของตัวดูดซับและตัวถูกละลาย นั้นจำนวนขั้นของโมเลกุลของตัวถูกดูดซับที่ถูกดูดซับบนพื้นผิวและขนาดของรูพรุนที่ทำหน้าที่ดูดซับได้ จึงสามารถแยกองค์ประกอบที่ต้องการออกได้ โดยเลือกตัวดูดซับให้เหมาะสมกับองค์ประกอบนั้น

### ลักษณะกลไกการดูดซับ มี 2 ลักษณะ คือ

#### ก. การดูดซับทางกายภาพ (Physical Adsorption)

เกิดขึ้นจากแรงดึงดูดระหว่างโมเลกุลของตัวดูดซับกับองค์ประกอบที่ถูกดูดซับซึ่งมีค่ามากกว่าแรงดึงดูดระหว่างโมเลกุลขององค์ประกอบในสารละลาย ดังนั้นองค์ประกอบที่มีค่าแกะแน่นบนผิวของตัวดูดซับ ถ้าตัวดูดซับมีความพรุนสูง ของเหลวหรือก๊าซที่ควบแน่นนี้จะสามารถแทรกเข้าสู่ช่องว่างภายในของตัวดูดซับได้ ถึงแม้ว่าความดันของระบบจะต่ำกว่าความดันไอขององค์ประกอบนั้นก็ตาม ปรากฏการณ์นี้เกิดขึ้นได้ที่ขึ้นอยู่กับอุณหภูมิปกติ ให้ความร้อนออกมานเล็กน้อย แต่มากกว่าความร้อน

ของการควบแน่น ขึ้นอยู่กับความดันย่อยของก๊าซหรือของเหลวชนิดนั้นและสามารถดูดซับก๊าซและของเหลวได้ในปริมาณสูงมากต่อหนึ่งหน่วยน้ำหนักของตัวดูดซับ เมื่อลดความดันของระบบลงหรือเพิ่มอุณหภูมิจะทำให้ความสามารถในการดูดซับลดลง ทำให้ตัวดูดซับเคลื่อนที่ออกจากตัวดูดซับ ปรากฏการณ์ช่วงนี้เรียกว่า Desorption ซึ่งเป็นวิธีนำตัวถูกละลายกลับมาใช้ใหม่อีกรัง

#### บ. การดูดซับทางเคมี (Chemical Adsorption)

เกิดขึ้นได้ด้วยอุณหภูมิสูง ซึ่งแตกต่างกับการดูดซับทางกายภาพทุกประการ โดยที่จะเกิดปฏิกิริยาเคมีระหว่างตัวดูดซับกับองค์ประกอบที่ต้องการดูดซับสร้างสารประกอบระหว่างตัวดูดซับที่ผิวของตัวดูดซับ ทำให้ปริมาณของตัวดูดซับลดลง จะให้ความร้อนออกมารูงมาก เพราะการเกิดปฏิกิริยาเคมีไม่ขึ้นกับความดันมากนัก และดูดซับตัวถูกละลายได้ในปริมาณน้อยต่อหนึ่งหน่วยน้ำหนักของตัวดูดซับ เนื่องจากการดูดซับโดยเกิดปฏิกิริยาเคมีจะไม่สามารถเกิด Desorption ได้ เพราะองค์ประกอบและสภาวะแวดล้อมที่เหมาะสม ซึ่งพบว่าองค์ประกอบบางชนิดที่อุณหภูมิปกติไม่เกิดการดูดซับทางเคมี แต่เมื่อเพิ่มอุณหภูมิก็สามารถเกิดการดูดซับทางเคมีได้

#### สมดุลและไอโซเทอมของการดูดซับ (Adsorption Equilibrium and Adsorption Isotherm)

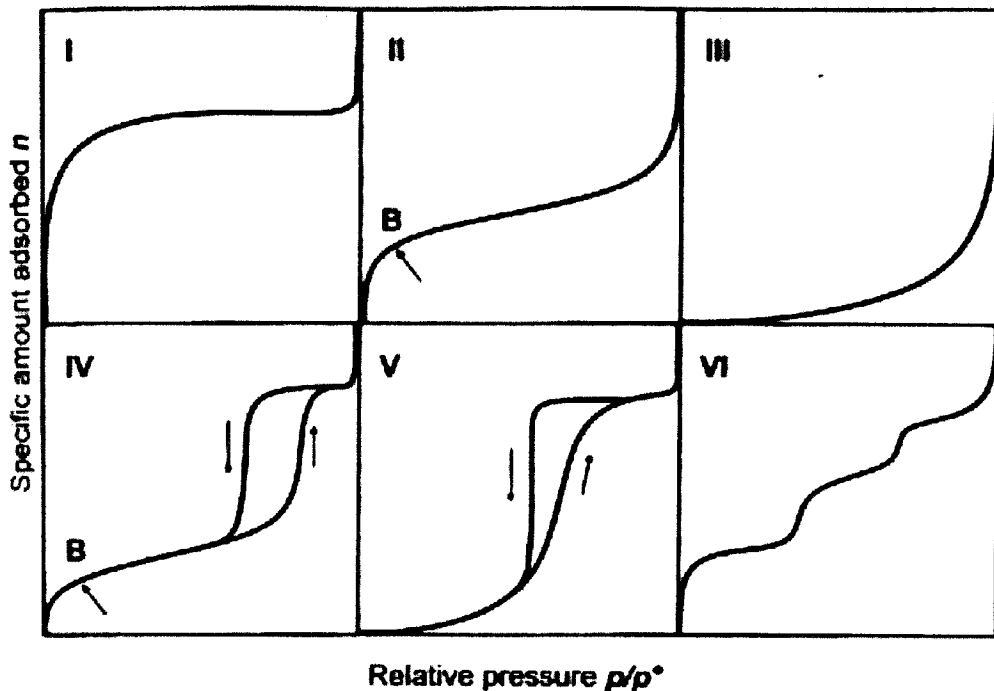
ในเวลาที่เกิดการดูดซับหรือเมื่อตัวถูกละลายเคลื่อนที่ออกจากสารละลายและก่อให้เกิดความเข้มข้นเพิ่มขึ้นที่ผิวน้ำของของแข็งจะเป็นสภาวะสมดุลพอดคลาสตร์ระหว่างความเข้มข้นของตัวถูกละลายในสารละลายกับความเข้มข้นของหัวละลายที่ผิวน้ำ ที่สภาวะสมดุล (Equilibrium Adsorption) เป็นร้อยละของน้ำหนัก หรือ น้ำหนัก หรือปริมาตรของตัวถูกดูดซับที่ถูกดูดซับไว้บนตัวดูดซับหนึ่งหน่วยน้ำหนัก โดยทั่วไปมักควบคุมให้อุณหภูมิของการดูดซับคงที่ และศึกษาความสัมพันธ์ระหว่างปริมาณที่ถูกดูดซับต่อหน่วยน้ำหนักของตัวดูดซับกับความดันที่สภาวะสมดุลของการดูดซับ เส้นความสัมพันธ์ที่ได้เรียกว่า ไอโซเทอม (Isotherm) ซึ่งเป็นลักษณะที่ขึ้นอยู่กับชนิดของรูปทรงตัวดูดซับ เมื่อความเข้มข้นของสารที่ถูกดูดซับเปลี่ยนไปที่อุณหภูมิกันที่นี้ โดยทั่วไปจำนวนของสารที่ถูกดูดซับจะเพิ่มขึ้นเมื่อความเข้มข้นเพิ่มขึ้น แต่อาจจะไม่แปรผันเป็นเส้นตรง

#### รูปแบบของ Adsorption Isotherm มี 6 รูปแบบ ดังแสดงในรูปที่ 2.7 ดี

- Type I Isotherm เป็นการดูดซับที่พบมากที่สุด ซึ่งดูดซับโดยที่มีชั้นของตัวถูกดูดซับคลุมบนผิวของตัวดูดซับได้หนาเพียงหนึ่งชั้น (Single Layer Adsorption) พบริสุทธิ์ในการดูดซับทางเคมีและการดูดซับทางกายภาพ จะเป็นปรากฏการณ์การดูดซับของ Microporous material ซึ่งปริมาณการดูดซับจะเพิ่มขึ้นอย่างรวดเร็วที่ความดันสัมพัทธ์ (Relative Pressure) ต่ำๆ และที่ความดันสัมพัทธ์สูงๆ เช่นไกล์ 1 จะมีการดูดซับเกิดขึ้นเพียงเล็กน้อยซึ่งถ้ามีการดูดซับแบบนี้แสดงว่าผลิตภัณฑ์มีรูพรุนเป็น Micro Porous หรือ Nonporous และมีปริมาณมากเมื่อเทียบกับพื้นที่ผิวภายนอกของผลิตภัณฑ์

- ข. Type II Isotherm พบมากในการดูดซับที่มีชั้นของตัวถูกดูดซับกลุ่มผิวของตัวดูดซับหนาขึ้นเรื่อยๆ (ปริมาณที่ถูกดูดซับเข้าสู่ค่าอนันต์) โดยจะเกิดบน Nonporous Powder ที่มีเส้นผ่านศูนย์กลางรูพรุน กว้างกว่า Micropore ที่จุดเปลี่ยนกราฟ (Inflection Point or Knee of Isotherm) เกิดเมื่อการดูดซับบน พื้นผิวชั้นแรกเกิดเกือบสมบูรณ์แล้ว (เป็น Monolayer เกือบสมบูรณ์) และถ้าเพิ่ม Relative Pressure จะทำให้การดูดซับเกิดมากกว่า 1 ชั้น ดังนั้นการดูดซับแบบนี้จะเป็นการดูดซับแบบ Multi-layer
- ค. Type III Isotherm เป็นการดูดซับคล้าย Type II Isotherm แต่การดูดซับของชั้นแรกนั้นให้ความร้อนออกมากน้อยกว่าความร้อนของการควบแน่น เป็นลักษณะเฉพาะของการเกิดความร้อนของการดูดซับ (Heat of Adsorption) มีน้อยกว่าความร้อนของการจับตัวกันของตัวถูกดูดซับของของเหลว ดังนั้น การดูดซับที่เพิ่มขึ้น เกิด เพราะตัวถูกดูดซับทำปฏิกิริยากับชั้นของตัวถูกดูดซับมากกว่าการเกิดปฏิกิริยากับผิวของตัวถูกดูดซับ
- ง. Type IV Isotherm เป็นการดูดซับคล้ายกับ Type II Isotherm ความหนาของโนเลกูลชั้นแรกๆ แต่ การดูดซับจะถึงจุดอิ่มตัวเนื่องจากรูพรุนเล็ก ๆ ภาพในตัวดูดซับเต็มหมวดแล้วเป็นปราภารณ์ที่เกิดบนตัวดูดซับร่วมกับปริมาณ 15-1000 อั้งสตรอม ความชันที่มีจุดเปลี่ยนกราฟนี้เกิดเช่นเดียวกับใน Type II Isotherm คือเกือบเป็น Monolayer สมบูรณ์
- ฉ. Type V Isotherm เป็นการดูดซับคล้ายกับ Type III Isotherm ในช่วงความเข้มข้นต่ำๆ แต่เมื่อการดูดซับเพิ่มขึ้นเรื่อยๆ จะเข้าสู่ค่าสูงสุดค่าหนึ่งเช่นเดียวกับ Type IV Isotherm เป็นปราภารณ์การดูดซับที่เป็นผลมาจากการดึงดูดของตัวถูกดูดซับมีค่าน้อย ซึ่งเกิดปฏิกิริยาคล้ายกันและขนาดของรูพรุนอยู่ในช่วง 15-1000 อั้งสตรอม
- ฉ. Type VI Isotherm หรือ Stepped Isotherm มีลักษณะการดูดซับเป็นชั้นๆ รูปร่างของชั้นจะขึ้นอยู่กับระบบและอุณหภูมิ

- ข. Type II Isotherm พบมากในการดูดซับที่มีชั้นของตัวถูกดูดซับคลุมผิวของตัวดูดซับหนาขึ้นเรื่อยๆ (ปริมาณที่ถูกดูดซับเข้าสู่ค่าอนันต์) โดยจะเกิดบน Nonporous Powder ที่มีเส้นผ่านศูนย์กลางรูพรุนกว้างกว่า Micropore ที่จุดเปลี่ยนกราฟ (Inflection Point or Knee of Isotherm) เกิดเมื่อการดูดซับบนพื้นผิวชั้นแรกเกิดเกือบสมบูรณ์แล้ว (เป็น Monolayer เกือบสมบูรณ์) และถ้าเพิ่ม Relative Pressure จะทำให้การดูดซับเกิดมากกว่า 1 ชั้น ดังนั้นการดูดซับแบบนี้จะเป็นการดูดซับแบบ Multi-layer
- ค. Type III Isotherm เป็นการดูดซับคล้าย Type II Isotherm แต่การดูดซับของชั้นแรกนั้นให้ความร้อนออกมาก่อนกว่าความร้อนของการควบแน่น เป็นลักษณะเฉพาะของการเกิดความร้อนของการดูดซับ (Heat of Adsorption) มีน้อยกว่าความร้อนของการจับตัวกันของตัวถูกดูดซับของของเหลว ดังนั้นการดูดซับที่เพิ่มขึ้น เกิดเพราะตัวถูกดูดซับทำปฏิกิริยากับชั้นของตัวถูกดูดซับมากกว่าการเกิดปฏิกิริยากับผิวของตัวถูกดูดซับ
- ง. Type IV Isotherm เป็นการดูดซับคล้ายกับ Type II Isotherm ความหนาของโนไมเลกูลชั้นแรกๆ แต่การดูดซับจะถึงจุดอิ่มตัวเนื่องจากรูพรุนเล็ก ๆ ภาพในตัวดูดซับเต็มหมวดแล้วเป็นปราภารณ์ที่เกิดบนตัวดูดซับร่วมกับปริมาณ 15-1000 อั้งสตรอม ความชันที่มีจุดเปลี่ยนกราฟนี้เกิดเช่นเดียวกับใน Type II Isotherm คือเกือบเป็น Monolayer สมบูรณ์
- ฉ. Type V Isotherm เป็นการดูดซับคล้ายกับ Type III Isotherm ในช่วงความเข้มข้นต่ำๆ แต่เมื่อการดูดซับเพิ่มขึ้นเรื่อยๆ จะเข้าสู่ค่าสูงสุดค่าหนึ่งเช่นเดียวกับ Type IV Isotherm เป็นปราภารณ์การดูดซับที่เป็นผลมาจากการดึงดูดของตัวถูกดูดซับมีค่าน้อย ซึ่งเกิดปฏิกิริยาคล้ายกันและขนาดของรูพรุนอยู่ในช่วง 15-1000 อั้งสตรอม
- ฉ. Type VI Isotherm หรือ Stepped Isotherm มีลักษณะการดูดซับเป็นชั้นๆ รูปร่างของชั้นจะขึ้นอยู่กับระบบและอุณหภูมิ



รูปที่ 2.7 รูปแบบของ Adsorption Isotherm

## 2.6 โมเดลจานพลาสตร์การดูดซับ (Kinetic Models of Adsorption)

การวิเคราะห์จานพลาสตร์การดูดซับวิเคราะห์อย่างง่ายในรูป Pseudo-First Order Equation และ Pseudo-Second Order Equation ดังนี้คือ

### 2.6.1 Pseudo-First Order Equation

$$\frac{dq_t}{dt} = k_1 (q_e - q_t)$$

เมื่อ	$k_1$	=	ค่า Rate Constant ของการดูดซับแบบ Pseudo-First Order
	$q_e$	=	ปริมาณการดูดซับสารที่สภาวะสมดุล
	$q_t$	=	ปริมาณการดูดซับสารที่เวลา $t$

กำหนดให้สภาวะเริ่มต้นคือ

$$q_t = 0 \quad \text{ที่} \quad t = 0$$

$$q_t = q_e \quad \text{ที่} \quad t = t$$

$$q_t = q_e \quad \text{ที่} \quad t = \infty$$

ดังนั้น

$$\log(q_e - q_t) = \log q_e - \frac{k_1}{2.303} t$$

### 2.6.2 Pseudo–Second Order Equation

$$\frac{dq_t}{dt} = k_2 (q_e - q_t)^2$$

เมื่อ  $k_2$  คือค่า Rate Constant ของการดูดซับแบบ Pseudo–Second Order  
กำหนดให้สภาวะเริ่มต้นคือ

$$\begin{aligned} q_t &= 0 \text{ ที่ } t = 0 \text{ และ} \\ q_t &= q_e \text{ ที่ } t = t \end{aligned}$$

ดังนั้น

$$\frac{1}{(q_e - q_t)} = \frac{1}{q_e} + k_2 t$$

จัดรูปแบบสมการใหม่

$$\frac{t}{q_t} = \frac{1}{k_2 q_e^2} + \frac{1}{q_e} t$$

### 2.7 โมเดลการดูดซับ (Adsorption Models)

ปริมาณของสารที่ถูกดูดซับบนวัสดุต่างๆหาได้จากสมดุลมวลสาร โดยถือว่าปริมาณสารที่หายไปจากสารละลายถูกดูดซับอยู่บนตัวดูดซับ และปริมาณสารที่ถูกดูดซับที่สภาวะสมดุลที่อุณหภูมิคงที่จะมีความสัมพันธ์กับความเข้มข้นของสารละลายและปริมาณตัวดูดซับที่ใส่ลงไป

$$q_e = \frac{(C_0 - C_e)V}{m}$$

เมื่อ  $q_e$  คือปริมาณตัวถูกดูดซับบนผิวของตัวดูดซับที่สมดุลหลังการดูดซับ (mg/g)

$C_0$  คือความเข้มข้นเริ่มต้นของสารละลาย (mg/L)

$C_e$  คือความเข้มข้นของสารละลายที่สมดุลหลังการดูดซับ (mg/L)

$V$  คือปริมาตรของสารละลาย (L)

$m$  คือน้ำหนักของตัวดูดซับ (g)

#### Langmuir Adsorption Isotherm

เป็นรูปแบบการแสดงระบบของตัวดูดซับกับตัวถูกดูดซับ ตัวถูกดูดซับถูกจำกัดให้ปิดกุญแจดูดซับ เพียงหนึ่งโมเลกุลเท่านั้น ไม่มีการซ้อนทับกันของโมเลกุลแสดงได้ดังสมการต่อไปนี้

$$q = \frac{ac_e}{1 + bc_e}$$

- เมื่อ  $q$  คือความเข้มข้นของตัวถูกละลายที่สมดุลหลังการคูดซับ ( $\text{mg/L}$ )  
 $c_e$  คือปริมาณตัวถูกละลายที่ถูกคูดซับบนผิวของตัวคูดซับ ( $\text{mg/g}$ )  
 $a, b$  คือค่าคงที่

สามารถจัดใหม่ได้เป็น

$$\frac{c_e}{q} = \frac{1}{a} + \frac{bc_e}{a}$$

- เมื่อ  $a/b$  คือความสามารถของตัวคูดซับในการคูดซับตัวถูกละลายแต่ละชนิด

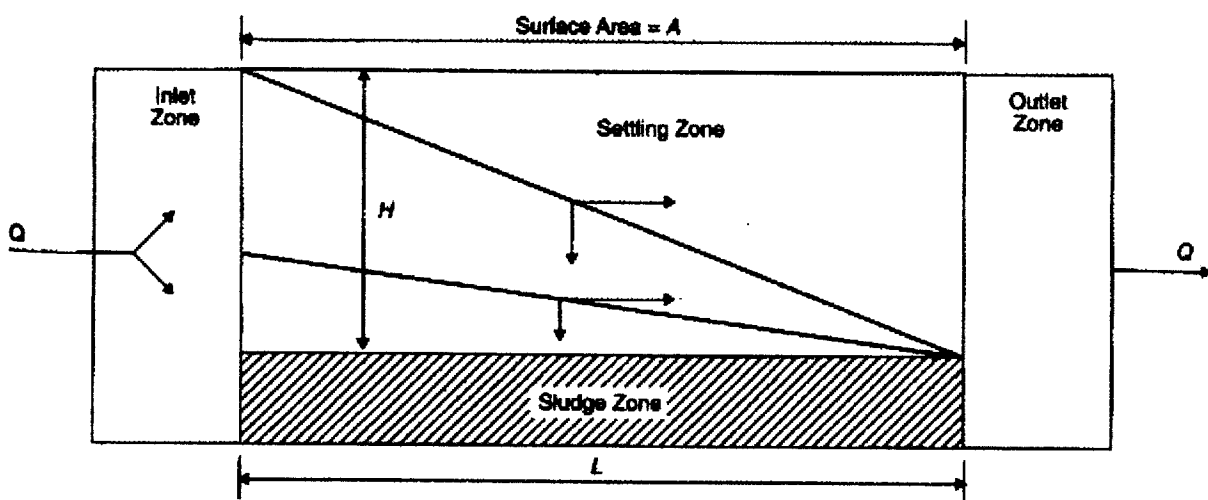
## 2.8 การตกตะกอน (Sedimentation)

การตกตะกอน เป็นการแยกอนุภาคของแข็ง ออกจากของเหลวด้วยแรงโน้มถ่วงของโลก ทำให้ได้น้ำใสและตะกอนสัตหีบ การตกตะกอนแบ่งออกเป็น 4 ประเภท ตามความเข้มข้นและลักษณะของอนุภาค ดังนี้

- การตกตะกอนแบบอิสระ (discrete settling)
- การตกตะกอนแบบรวมกลุ่ม (flocculent settling)
- การตกตะกอนแบบแบ่งชั้น (zone of settling หรือ hinder settling)
- การตกตะกอนแบบอัดตัว (compression settling)

การทราบถึงประเภทของการตกตะกอนของอนุภาคเพื่อใช้ในการออกแบบและก่อสร้างถังตกตะกอน

### 2.8.1 การตกตะกอนแบบอิสระ (discrete settling)



รูปที่ 2.8 การตกตะกอนแบบอิสระในถังตกตะกอนแบบสี่เหลี่ยมผืนผ้า (Henry and Heinke, 1996)

การสังเคราะห์แร่ดินที่มีสมบัติทางแม่เหล็กเพื่อเป็นตัวลดปริมาณสารบินเบื้องในระบบของเหลว

การตกลงตกรอบแบบอิสระจะเกิดขึ้นเมื่อความเร็วขั้นของอนุภาคเจือจาง โดยอนุภาคจะตกลงตกรอบอย่าง อิสระไม่เข้าต่อ กัน ได้แก่ การตกลงตกรอบของถังดักกรวดทราย การตกลงตกรอบแบบอิสระสามารถ วิเคราะห์โดยอาศัยหลักกลศาสตร์ อนุภาคที่มีการตกลงตกรอบแบบอิสระจะมีความเร็วในการเคลื่อนที่ ทั้งแนวตั้งและแนวนอน ความเร็วในการตกลงตกรอบมีความสัมพันธ์กับอัตราเรือน้ำล้นผิว รูปที่ 2.8 แสดง ถึงถังตกลงตกรอบอุดมคติ โดยน้ำเสียที่ไหลเข้าและออกมีความเร็ว慢่าสมมติในแนวราบและการ กระจายอย่างทั่วถึง พื้นที่ได้ถังจะเป็นพื้นที่ในการตกลงตกรอบของอนุภาคโดยมีระยะในการตกลงตกรอบ เท่ากับ H เวลาในการตกลงตกรอบที่สมบูรณ์ของอนุภาคจะมีค่าดังสมการ

$$t_s = \frac{V}{Q} = \frac{AH}{Q}$$

เมื่อ  $t_s$  = เวลา กักเก็บน้ำ ในถังตกลงตกรอบ (ชั่วโมง)

$V$  = ปริมาตรของถัง (ลูกบาศก์เมตร)

$Q$  = อัตราการไหลของน้ำ (ลูกบาศก์เมตร/ชั่วโมง)

$A$  = พื้นที่ผิวของถังตกลงตกรอบ (ตารางเมตร)

อนุภาคที่จะตกลงตกรอบได้อย่างสมบูรณ์จะต้องมีความเร็วมากกว่าหรือเท่ากับความเร็วในการตกลงตกรอบ ( $V_s$ ) อนุภาคที่มีความเร็วใด ๆ ใน การตกลงตกรอบ ( $V_r$ ) ซึ่งน้อยกว่า  $V_s$  อนุภาคจะไหลหลุดออก สู่บริเวณทางออก ทำให้ไม่สามารถกำจัดตกรอบได้ ดังนั้น อนุภาคที่ถูกกำจัดต่อกันจะต้องมีความเร็วในการตกลงตกรอบ ไปสามารถแสดงเป็นสัดส่วนได้ดังสมการ

$$\text{สัดส่วนของอนุภาคที่ถูกกำจัด} = V_r/V_s$$

### 2.8.2 การตกลงตกรอบรวมกลุ่ม (flocculent settling)

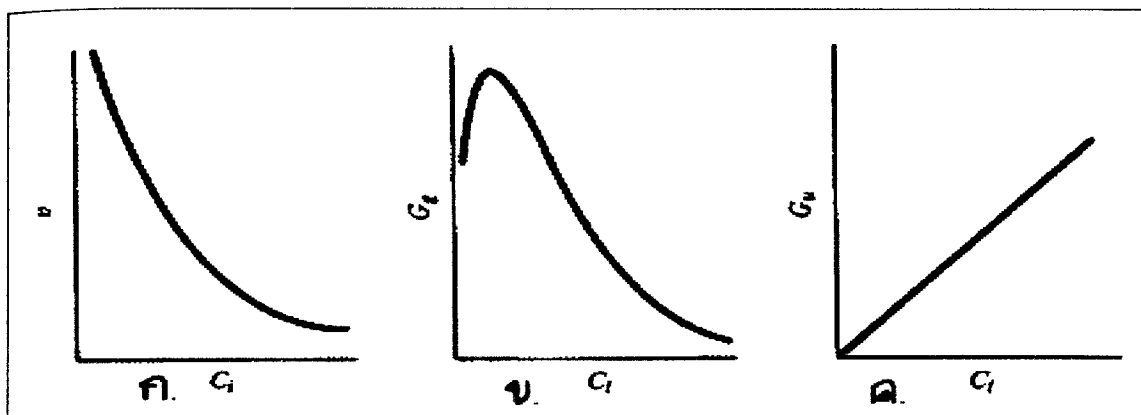
อนุภาคมีความเร็วขั้นไม่นานนักแต่มากพอที่จะรวมตัวกันจนมีน้ำหนักมากพอที่จะตกลงตกรอบลงมา คิวแยเรง โน้มถ่วงของโลก โดยท่อน้ำที่มีน้ำหนักมากกว่าจะตกลงตกรอบเร็วกว่าและมาสัมผัสหรือชน กับอนุภาคที่มีขนาดเล็กกว่าแล้วเกะร่วงกลุ่มกันทำให้มีน้ำหนักมากขึ้น เป็นผลทำให้ความเร็วในการตกลงตกรอบมากขึ้นด้วย โอกาสที่อนุภาคจะมาสัมผัสกันขึ้นอยู่กับปัจจัยหลายประการ เช่น ระดับความลึกของถังตกลงตกรอบ อัตราเรือน้ำล้น เวลาในการกักเก็บของถังตกลงตกรอบ เป็นต้น

การตกลงตกรอบรวมกลุ่ม ได้แก่ การตกลงตกรอบของถังตกลงตกรอบปฐมภูมิ (Primary sedimentation tank) และ การตกลงตกรอบส่วนบนของถังตกลงตกรอบที่ดิบภูมิ (Secondary sedimentation tank)

### 2.8.3 การตกลงตะกอนแบบแบ่งชั้น (zone of settling หรือ hinder settling)

การตกลงตะกอนแบบแบ่งชั้นเกิดขึ้นเมื่อความเข้มข้นของอนุภาคมีปริมาณสูง อนุภาคจะอยู่ใกล้กันมาก และมีการตกลงตะกอนในความเร็วที่เท่ากัน ลักษณะการตกลงตะกอนเป็นกลุ่มทำให้เห็นเป็นชั้นแยก ระหว่างน้ำใสและอนุภาคอย่างชัดเจน การตกลงตะกอนประเภทนี้พบในถังตกลงตะกอนทุกดิน

(Secondary sedimentation tank)



รูปที่ 2.9 ลักษณะการตกลงตะกอนแบบแบ่งชั้น

- ความสัมพันธ์ระหว่างความเร็วในการตกลงตะกอนและความเข้มข้นของตะกอน
- ความสัมพันธ์ระหว่าง Gravity flux และความเข้มข้นของตะกอน
- ความสัมพันธ์ระหว่าง Underflow solids flux และความเข้มข้นของตะกอน

การตกลงตะกอนแบบแบ่งชั้น จะขึ้นอยู่กับความเร็วในการตกลงตะกอน กล่าวคือ เมื่อความเข้มข้นของตะกอนเริ่มต้น ( $C_i$ ) เพิ่มขึ้นจะทำให้ความเร็วในการตกลงตะกอนลดลง (รูปที่ 2.9 ก) เมื่อนำความเร็วในการตกลงตะกอนคูณกับความเข้มข้นของตะกอนที่เวลาใด ๆ จะได้ Solid flux และดังสมการ และรูปที่ 2.9 ข

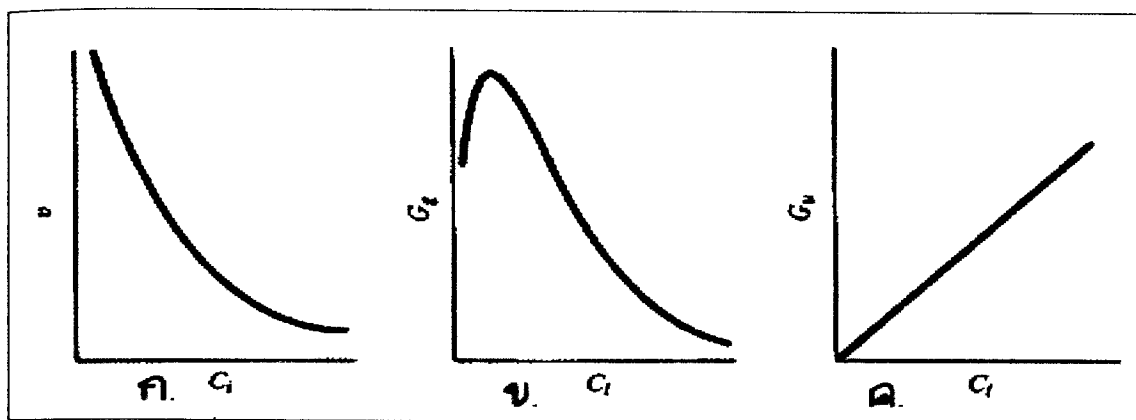
$$G_g = C_i v$$

เมื่อ	$G_g$	=	solids flux เนื่องจากแรงโน้มถ่วงของโลก (กิโลกรัม/ตารางเมตร-ชั่วโมง)
	$C_i$	=	ความเข้มข้นของตะกอน (กิโลกรัม/ลูกบาศก์เมตร)
	$v$	=	ความเร็วในการตกลงตะกอน (เมตร/ชั่วโมง)

สำหรับ Solids flux ที่เกิดจากการถ่ายตะกอนออกจากถังตกลงตะกอน สามารถคำนวณจากสมการ และสามารถเขียนกราฟความสัมพันธ์ได้ดังรูป 2.9 ค.

### 2.8.3 การตกลงตะกอนแบบแบ่งชั้น (zone of settling หรือ hinder settling)

การตกลงตะกอนแบบแบ่งชั้นเกิดขึ้นเมื่อความเข้มข้นของอนุภาคมีปริมาณสูง อนุภาคจะอยู่ใกล้กันมาก และมีการตกลงตะกอนในความเร็วที่เท่ากัน ลักษณะการตกลงตะกอนเป็นกลุ่มทำให้เห็นเป็นชั้นแยก ระหว่างน้ำใสและอนุภาคอย่างชัดเจน การตกลงตะกอนประเภทนี้พบในถังตกลงตะกอนทุติกูน (Secondary sedimentation tank)



รูปที่ 2.9 ลักษณะการตกลงตะกอนแบบแบ่งชั้น

- ความสัมพันธ์ระหว่างความเร็วในการตกลงตะกอนและความเข้มข้นของตะกอน
- ความสัมพันธ์ระหว่าง Gravity flux และความเข้มข้นของตะกอน
- ความสัมพันธ์ระหว่าง Underflow solids flux และความเข้มข้นของตะกอน

การตกลงตะกอนแบบแบ่งชั้น จะขึ้นอยู่กับความเร็วในการตกลงตะกอน กล่าวคือ เมื่อความเข้มข้นของตะกอนเริ่มต้น ( $C_i$ ) เพิ่มขึ้นจะทำให้ความเร็วในการตกลงตะกอนลดลง (รูปที่ 2.9 ก) เมื่อนำความเร็วในการตกลงตะกอนคูณกับความเข้มข้นของตะกอนที่เวลาใด ๆ จะได้ Solids flux และคงได้ดังสมการ และรูปที่ 2.9 ข

$$G_s = C_i v$$

เมื่อ	$G_s$	=	solids flux เนื้อจากแรงโน้มถ่วงของโลก (กิโลกรัม/ตารางเมตร-ชั่วโมง)
	$C_i$	=	ความเข้มข้นของตะกอน (กิโลกรัม/ลูกบาศก์เมตร)
	$v$	=	ความเร็วในการตกลงตะกอน (เมตร/ชั่วโมง)

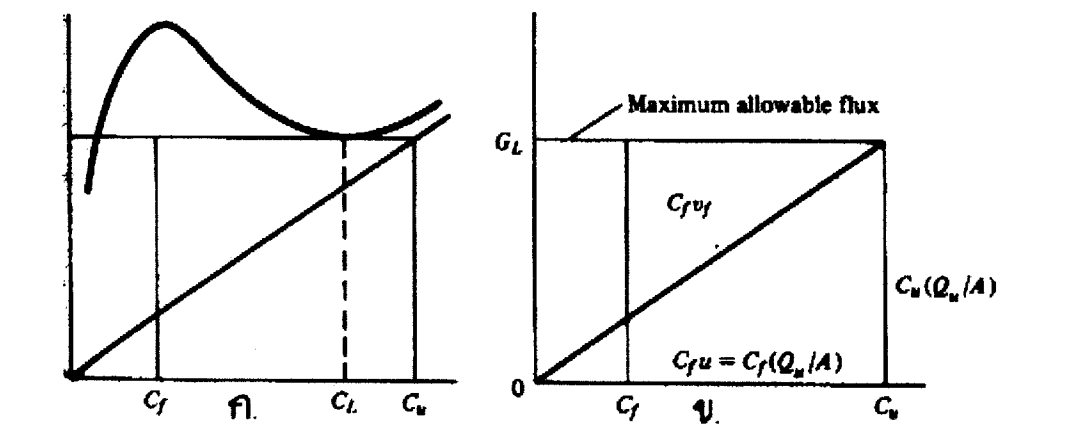
สำหรับ Solids flux ที่เกิดจากการถ่ายตะกอนออกจากกันถังตกลงตะกอน สามารถคำนวณจากสมการ ทางสามารถเขียนกราฟความสัมพันธ์ได้ดังรูป 2.9 ค.

$$G_u = C_i u = \frac{C_i Q_u}{A}$$

- เมื่อ  $G_u$  = Solids flux เนื่องจากการถ่ายตะกอนออกจากถัง (กิโลกรัม/ตารางเมตร-ชั่วโมง)  
 $C_i$  = ความเข้มข้นของตะกอน (กิโลกรัม/ลูกบาศก์เมตร)  
 $u$  = ความเร็วในการถ่ายตกละกาอน (เมตร/ชั่วโมง)  
 $Q_u$  = อัตราการถ่ายเทตะกอน (ลูกบาศก์เมตร/ชั่วโมง)  
 $A$  = พื้นที่ผิวของถังตกละกาอน (ตารางเมตร)

Solids flux ทั้งหมดหาได้จากผลรวมของ Solid flux เนื่องจากแรงโน้มถ่วงและเนื่องจากการถ่ายตะกอนออกจากถังตกละกาอน

$$G = G_g + G_u$$



รูปที่ 2.10 Solid fluxes

ที่มา <http://vdo.kku.ac.th/mediacenter/mediacenter-uploads/libs/html/4138/sedimentation1.html>

หากเราแก้เส้นบนในแนวนอนให้สัมผัสกับเส้นโค้ง Total flux ณ จุดต่ำสุดที่จุด L เรียกว่าเส้นสัมผัสนี้ว่า limiting flux ( $G_L$ ) ซึ่งหมายถึง ค่าอัตราการรับการระบบทุกตะกอนสูงสุดในถังตกละกาอน ความเข้มข้นของตะกอนสูงสุดจะเท่ากับ  $C_L$

ในการทดสอบในห้องปฏิบัติการจะมีความแตกต่างจากการทดสอบในภาคสนาม การหาค่า Solid flux ในห้องปฏิบัติการจะทำในภาชนะเล็ก ๆ ซึ่งในแต่ละชุดการทดลอง ทั้งความเร็วในการตกละกาอนและ Solid flux จะเป็นกราฟแสดงความสัมพันธ์กับค่าความเข้มข้นของตะกอนในหัวข่ายโดยที่ไม่ได้คำนึงถึงการรวมตัวของตะกอนที่เกิดขึ้นในระหว่างการทดลอง แต่ในถัง

ตอกตะกอนจะเป็นการเดินระบบอย่างต่อเนื่อง ขั้นของตอกตะกอนที่ตกลงมาที่ความลึกมาก ๆ จะมีความเข้มข้นของตอกตะกอนมากตามไปด้วย ทำให้ความเร็วในการตอกตะกอนมีค่าลดลง และทำให้ค่า Solid flux น้อยลง ดังนั้น ค่า Limiting solid flux และค่า  $C_L$  จะมีความสัมพันธ์กันในการเดินระบบ โดยทั่วไปความเข้มข้นของตอกตะกอนในระบบ ( $C_f$ ) จะต้องน้อยกว่า  $C_L$  และความเข้มข้นของตอกตะกอนที่ถ่ายออกจากการตักตอกตะกอน ( $C_u$ ) จะต้องมากกว่า  $C_L$  ดังรูปที่ 2.10 ค

ค่า Flux สูงสุดที่ยินยอมให้มีได้ในถังตอกตะกอนในสภาวะอัตราการไหลคงที่จะเท่ากับผลรวมของ Flux จากแรงโน้มถ่วง ที่เกิดจากการป้อนตอกตะกอนเข้าสู่ระบบและ Flux จากการถ่ายเทตอกตะกอนออกจากถังตอกตะกอน

$$G_L = C_f v_f + C_f u = C_f v_f + C_f (Q_u / A)$$

รูปที่ 2.10 ข. แสดงถึง Flux สูงสุดที่ยินยอมให้มีได้ซึ่งได้จากรูปที่ 2.10 ค. นั่นเอง สมมุติว่าการตอกตะกอนเป็นไปอย่างสมบูรณ์ คือ อนุภาคถูกกำจัดได้ 100 % ตอกตะกอนทั้งหมดที่ถูกถ่ายทิ้งจะเท่ากับ  $G_L$

$$G_L = C_u u = C_u (Q_u / A)$$

การออกแบบถังตอกตะกอนจะต้องให้อัตรา  $v_f$  น้อยกว่าความเร็วในการตอกตะกอนของอนุภาคที่ป้อนเข้าสู่ถัง และอัตรารับภาระทุกของแข็งจะต้องน้อยกว่า Limiting solids flux ดังแสดงในสมการ

$$Q/A \leq v_f$$

$$(Q/A) \leq G_L$$

#### 2.8.4 การตอกตะกอนแบบอัดตัว (Compression settling)

การตอกตะกอนแบบอัดตัวจะเกิดขึ้นที่ก้นถังตอกตะกอนส่วนล่างและถังทำขึ้นสลัดช์ (Sludge thickener) โดยที่มวลของอนุภาคจะมีการอัดตัวกันแน่นจากน้ำหนักของตัวอนุภาคเองและน้ำหนักของน้ำใส ส่วนบนที่อัดทับอยู่ การตอกตะกอนแบบนี้เกิดขึ้นหลังจากที่การตอกตะกอนแบบอื่นได้เกิดขึ้นแล้ว

### บทที่ 3

#### วิธีดำเนินการวิจัย

งานวิจัยนี้เป็นรูปแบบการวิจัยเชิงทดลอง (Experimental Research) เพื่อศึกษาความเป็นไปได้ในการสังเคราะห์ ศึกษาสมบัติทางกายภาพ และความสามารถในการดูดซับสารอินทรีย์ของแร่คิมมอนต์มอริล็อกไนต์ธรรมชาติ ถ่านกัมมันต์และ Magnetic materials ที่ผลิตได้ สถานที่ทำการทดลองคือ อาคารศูนย์เครื่องมือ 1 และอาคารศูนย์เครื่องมือ 5 ของมหาวิทยาลัยเทคโนโลยีสุรนารี

#### 3.1 เครื่องมือและสารเคมีที่ใช้ในการทดลอง

##### 3.1.1 เครื่องมือที่ใช้ในการทดลอง

- เครื่องวัดค่าการดูดกลืนแสง UV spectrophotometer
- เครื่องเขย่าแนวราบ รุ่น 3006 ของ GRL
- เครื่องวัดความเป็นกรด-ด่าง (พีเอชมิเตอร์) รุ่น CG840 ของ SCHOTT
- เครื่องชั่งไฟฟ้าอิเล็กทรอนิกส์ 4 ตำแหน่ง
- เครื่องวิเคราะห์ธาตุ ยี่ห้อ LECO รุ่น CHNS-932
- เตาอบ
- แผ่นแม่เหล็ก
- เครื่อง X-Ray Diffraction (XRD) รุ่น JEOL JDX 3530 โดยใช้ CuK $\alpha$  radiation

##### 3.3.2 สารเคมีที่ใช้ในการทดลอง

- แร่คิมมอนต์มอริล็อกไนต์ บริษัท ไทยนิปปอนเคมีภัณฑ์อุตสาหกรรม จำกัด
- ถ่านกัมมันต์ผลิตจากคลามะพร้าว บริษัท มาชูม่า (ประเทศไทย) จำกัด
- Methylene blue
- NaOH ความเข้มข้น 5 mol/l
- HCl
- น้ำ RO โดยมีค่า conductivity ที่อุณหภูมิ 28.8 °C อยู่ที่ 11.2  $\mu$ s/cm
- Iron (II) Sulfate haptahydrate 99.5%
- Iron (III) Chloride hexahydrate 99%

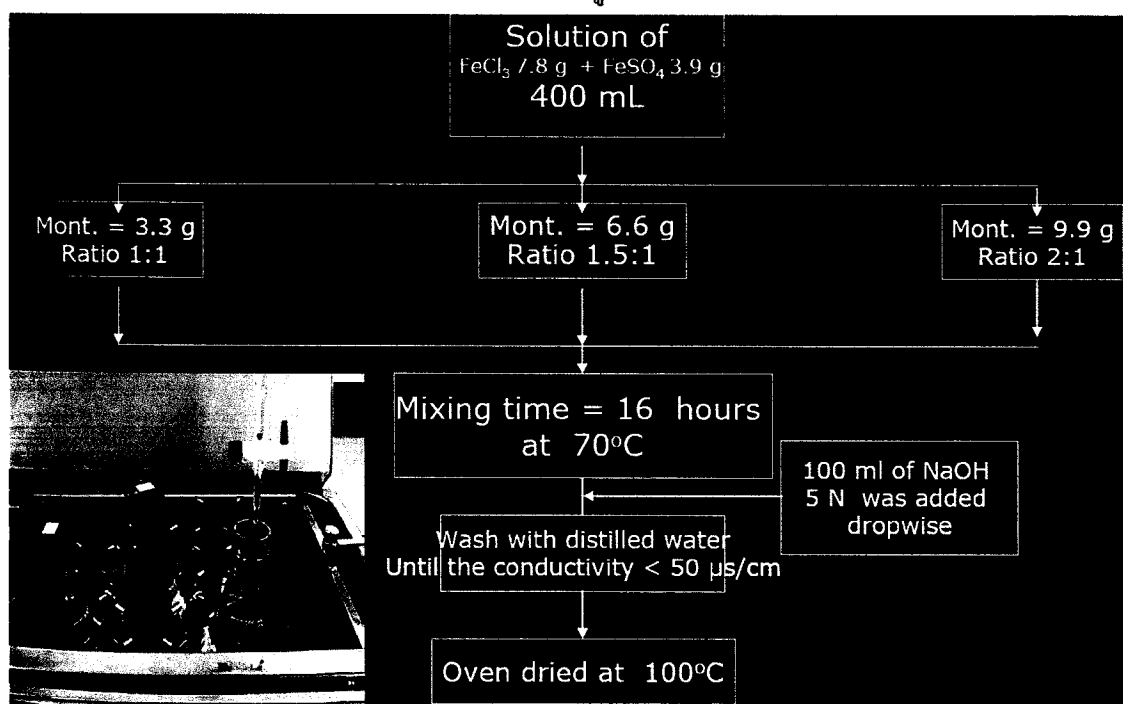
ทั้งนี้สารเคมีที่ใช้ในการเตรียม Magnetic Materials เป็น Analytical Grade ทั้งหมด

### 3.2 การสังเคราะห์ถ่านกัมมันต์ที่มีคุณสมบัติทางแม่เหล็ก

- 1) นำ  $\text{FeCl}_3$  7.8 g ผสมกับ  $\text{FeSO}_4$  3.9 g และนำไปเขย่ารวมกับถ่านกัมมันต์ 3.3 g แล้วเติมน้ำกลั่นให้ได้ 400 ml เขย่าที่อุณหภูมิ 70 °C เป็นเวลา 16 ชั่วโมง
- 2) จากนั้นหยดสารละลายน้ำยาเดี่ยวน้ำยาครอกไซด์ 5 mol/l ปริมาตร 100 ml ลงในสารละลายน้ำยาเดี่ยวน้ำยาครอกไซด์ 1 พร้อมเขย่าเพื่อให้เกิดการตกตะกอนของสารประกอบเหล็ก
- 3) นำไปล้างด้วยน้ำกลั่น โดยการทำให้ตกตะกอน นำน้ำใส่ที่ได้ไปวัดค่าการนำไฟฟ้าในกระถังค่าการนำไฟฟ้าเหลือน้อยกว่า 50  $\mu\text{S}/\text{cm}$
- 4) นำถ่านกัมมันต์ไปอบที่อุณหภูมิ 100 °C เป็นเวลา 2 ชั่วโมง และเรียกถ่านกัมมันต์ที่ได้ว่า Magnetic activated carbon 1:1
- 5) ทำซ้ำดังแต่ข้อ 1 ถึง 4 แต่เปลี่ยนปริมาณถ่านกัมมันต์เป็น 6.6 g และ 9.9 g แล้วเรียกถ่านกัมมันต์ที่ได้ว่า Magnetic activated carbon 1.5:1 และ Magnetic activated carbon 2:1

### 3.3 การสังเคราะห์แร่คินตอนต์มอริลโลไนต์ที่มีคุณสมบัติทางแม่เหล็ก

เตรียมคัวบีที่การเดียวกับการสังเคราะห์ถ่านกัมมันต์ที่มีคุณสมบัติทางแม่เหล็ก แต่เปลี่ยนเป็นใช้แร่คินตอนต์มอริลโลไนต์แทนถ่านกัมมันต์ ดังแสดงในรูปที่ 3.1



รูปที่ 3.1 การสังเคราะห์แร่คินตอนต์มอริลโลไนต์ที่มีคุณสมบัติทางแม่เหล็ก

### 3.4 การศึกษาเปรียบเทียบสมบัติทางกายภาพระหว่างแร่คินมอนต์มอริลโลไนต์ธรรมชาติ ถ่านกัมมันต์ และ Magnetic materials ดังนี้

- (1) การหาระยะห่างระหว่างชั้นโครงสร้างของแร่คินมอนต์มอริลโลไนต์ธรรมชาติ และ Magnetic clays โดยใช้เทคนิค X-Ray Diffraction (XRD)
- (2) การหาพื้นที่ผิวของแร่คินมอนต์มอริลโลไนต์ธรรมชาติ ถ่านกัมมันต์ และ Magnetic Materials โดยใช้ Micromeritics ASAP 2010 เพื่อวัดค่า BET surface area โดยวัดความสามารถในการดูดซับ  $N_2$  ของแร่คินมอนต์มอริลโลไนต์ธรรมชาติ และ Magnetic Materials
- (3) การวิเคราะห์แบบแยกธาตุ (Ultimate analysis) ซึ่งได้แก่ คาร์บอน ไฮโดรเจน ในไฮโดรเจน ซัลเฟอร์ ในถ่านกัมมันต์ และ Magnetic activated carbon ด้วยเครื่อง CHNS Analyzer ยี่ห้อ LECO รุ่น CHNS-932
- (4) วิเคราะห์ทางค่าประกอบทางเคมีของแร่คินมอนต์มอริลโลไนต์ธรรมชาติ ถ่านกัมมันต์ และ Magnetic Materials โดยใช้เทคนิค X-ray fluorescence (XRF)
- (5) วิเคราะห์ค่าความเข้มข้นประจุบันผิวอนุภาคของแร่คินมอนต์มอริลโลไนต์ธรรมชาติ ถ่านกัมมันต์ และ Magnetic Materials

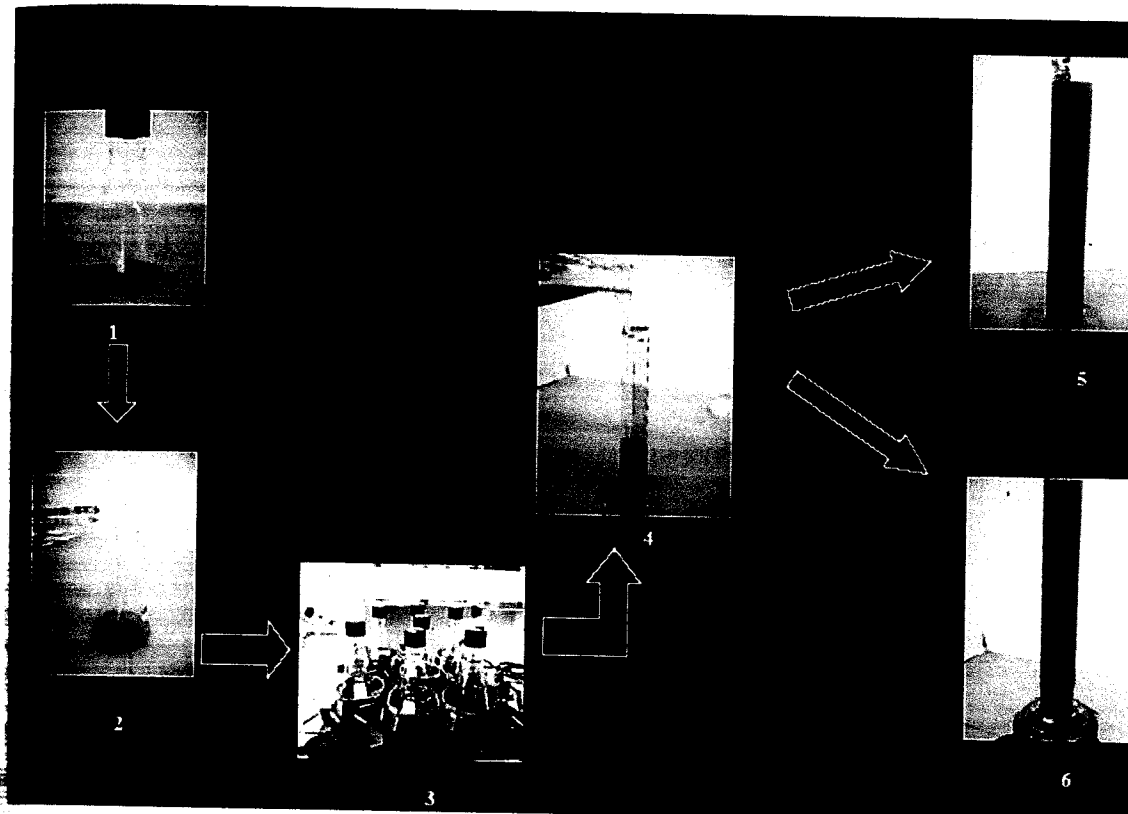
การหาค่า  $pH_{zpc}$  (Zeta Potential) ด้วยวิธี pH drift method ซึ่งมีขั้นตอนดังนี้

- นำแร่คินมอนต์มอริลโลไนต์ธรรมชาติ ถ่านกัมมันต์ และ Magnetic Materials อย่างละ 0.15 g ผสมกับสารละลายน้ำเดี่ยมไฮดรอกไซด์ 5 mol/l ปริมาตร 50 ml
- ปรับ pH เท่ากับ 1.0 (initial pH) โดยใช้สารละลายน้ำเดี่ยมไฮดรอกไซด์ 0.1 mol/l หรือกรด HCl 0.1 mol/l
- นำไปเบี้ยที่อุณหภูมิห้อง ( $30^{\circ}\text{C}$ ) เป็นเวลา 48 ชั่วโมง
- จากนั้นวัดค่า pH (final pH)
- ทำซ้ำข้อ 1-4 แต่ปรับ pH เท่ากับ 3, 5, 7, 9, 10 (initial pH)

### 3.5 การหาเวลาในการทดสอบของแร่คินมอนต์มอริลโลไนต์ ถ่านกัมมันต์ และ Magnetic Materials

- 1) นำแร่คินมอนต์มอริลโลไนต์ 1 และ 5 g อย่างละ 4 ชุด แล้วเทน้ำใส่นำไปเบี้ยที่ความเร็วอน 200 รอบ/นาที เป็นเวลา 30 นาที
- 2) จากนั้นนำสารละลายน้ำข้อ 1 ใส่ในกระบอกตวงที่ปริมาตร 50, 100, 250, 500 ml
- 3) จากนั้นเบี้ยสารละลายน้ำในกระบอกตวงให้อนุภาคกระจายตัวทั่วกระบอกตวงแล้วทำการจับเวลาบันทึกผลการทดสอบของแร่คินมอนต์มอริลโลไนต์

- 4) นำค่าที่ได้จากการทดลองมาพิสูจน์ทราบว่าความสูงของตะกอนกับเวลาในการตกรตะกอน
- 5) ทำตั้งแต่ข้อ 1 ถึง 3 แต่เปลี่ยนจากแร่ดินมองต์มอริลโลในต์เป็นถ่านกัมมันต์ และ Magnetic Materials ตามลำดับ



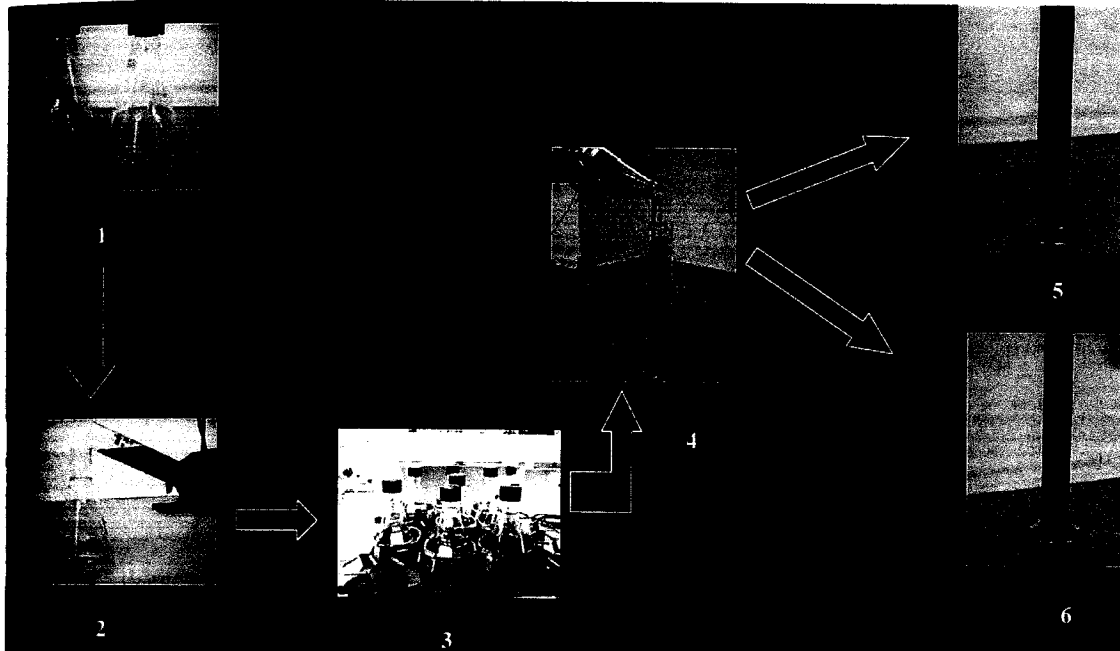
### ญี่ปุ่นที่ 3.2 การหาเวลาในการตกรตะกอนของแร่ดินมองต์มอริลโลในต์ ถ่านกัมมันต์ และ Magnetic Materials

#### 3.6 การศึกษาการดูดซับเมธิลีนบูลูด้วยแร่ดินมองต์มอริลโลในต์ ถ่านกัมมันต์ และ Magnetic Materials

- 1) เตรียมเมธิลีนบูลูความเข้มข้น  $70 \text{ mg/l}$
- 2) นำแร่ดินมองต์มอริลโลในต์ ถ่านกัมมันต์ ถ่านกัมมันต์ที่มีคุณสมบัติทางแม่เหล็ก  $1:1$ ,  $1.5:1$  และ  $2:1$  แร่ดินมองต์มอริลโลในต์ที่มีคุณสมบัติทางแม่เหล็ก  $1:1$  และ  $1.5:1$  ปริมาณ  $1 \text{ g}$  ใส่ในขวดขนาด  $500 \text{ ml}$
- 3) นำเมธิลีนบูลูที่เตรียมจากข้อ 1 เทใส่สารที่ซึ่งไว้ในข้อ 2 ในปริมาตร  $250 \text{ ml}$  ของแต่ละขวดแล้วนำไปเขย่าที่ความเร็ว  $200 \text{ รอบ/นาที}$  เป็นเวลา  $1 \text{ ชั่วโมง}$
- 4) จากนั้นนำสารจากข้อ 3 เทใส่กระบอกตวงขนาด  $250 \text{ ml}$  แล้วทำการเขย่ากระบอกตวงเพื่อให้อุ่นภาคระยะตัวแล้วทำการขันเวลาการตกรตะกอนของสารแต่ละตัว

การสังเคราะห์แร่ดินที่มีสมบัติทางแม่เหล็กเพื่อเป็นตัวลดปริมาณสารปนเปื้อนในระบบของเหลว

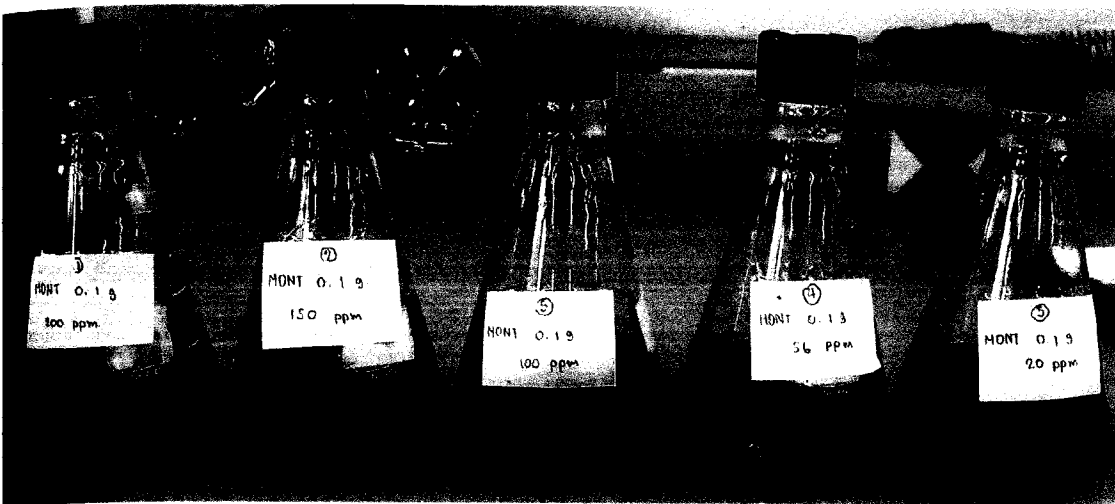
- 6) ในการตอกตะกอนของสารจะทำ 2 สภาพคือ สภาวะปกติและสภาวะแม่เหล็กโดยที่ สภาวะแม่เหล็กจะมีแผ่นแม่เหล็กวางอยู่ใต้กระบอกตรวจ
- 7) เมื่อสารตอกตะกอนแล้วนำสารละลายเมธิลีนบลูไปวัดค่าการดูดกลืนแสง (Absorbance) เพื่อหาความเข้มข้นของเมธิลีนบลูในสารละลายต่อไป
- 8) ทำตั้งแต่ข้อ 1 ถึง 6 แต่เปลี่ยนความเข้มข้นของเมธิลีนบลูเป็น 40 mg/l และ 20 mg/l



รูปที่ 3.3 การศึกษาการดูดซับเมธิลีนบลูในสภาวะที่เป็นแม่เหล็ก

### 3.7 การศึกษาจลนพลศาสตร์ของการดูดซับเมธิลีนบลูด้วย Magnetic materials

ในการศึกษาจลนพลศาสตร์ของการดูดซับเมธิลีนบลูด้วย Magnetic materials ทำการทดลองโดยนำ Magnetic materials เข้าร่วมกับสารละลายเมธิลีนบลู ( $\text{pH}=3$ ) ที่ความเข้มข้นเริ่มต้น  $100 \text{ ppm}$  ด้วย เครื่องเขย่าแนวราบที่อุณหภูมิห้อง โดยใช้ความเร็วรอบ 200 รอบต่อนาที ที่เวลาต่างๆคือ 5, 10, 15, 20, 25, 30, 35 และ 60 นาที จากนั้นนำสารละลายที่ได้ไปแยกตะกอนกับตัวดูดซับด้วยเครื่องปั่นเหวี่ยง แยก ที่ความเร็วรอบ 3000 รอบต่อนาที เป็นเวลา 30 นาทีนำสารละลายที่ได้จากการปั่นเหวี่ยงไปวัดค่า การดูดกลืนแสงเพื่อหาความเข้มข้นของเมธิลีนบลูในสารละลายต่อไป



รูปที่ 3.4 การศึกษาการคุณซับแม่เหล็กน้ำที่เวลาต่างๆ

### 3.8 การนำแร่ดินอนต์อิลโลไนต์ ถ่านกัมมันต์ และ Magnetic Materials กับมาใช้ใหม่

- 1) นำแร่ดินอนต์อิลโลไนต์ ถ่านกัมมันต์ และ Magnetic Materials ที่ใช้แล้วไปอบที่ อุณหภูมิ 200 °C นาน 2 ชั่วโมง
- 2) ชั่งตัวคุณซับจากข้อ 1 ที่อบแล้วน้ำหนักคง 1 g เทเม็ดเหล็กน้ำที่มีความเข้มข้น 20 mg/l ปริมาตรเท่ากับ 250 ml จากนั้นนำไปเบี่ยงที่ความเร็วอบ 200/ นาที
- 3) จากนั้นนำตัวคุณซับจากข้อ 2 เทใส่กระบอกตวงขนาด 250 ml แล้วทำการเบี่ยง กระบอกตวงเพื่อให้อนุภาคกระจายตัวแล้วทำการจับเวลาการตกตะกอนของตัวคุณซับแต่ละตัว
- 4) ในการตกตะกอนของตัวคุณซับจะทำ 2 สภาพคือ สภาวะปกติและสภาวะแม่เหล็ก โดยที่สภาวะแม่เหล็กจะมีแผ่นแม่เหล็กวางอยู่ใต้กระบอกตวง
- 5) เมื่อตัวคุณซับตกตะกอนแล้วนำสารละลายแม่เหล็กน้ำที่ไปวัดค่าการคุณกลืนแสง (Absorbance) เพื่อหาความเข้มข้นของแม่เหล็กน้ำในสารละลายต่อไป

### 3.9 การสร้างกราฟมาตรฐานของสารละลายแม่เหล็กน้ำ

- ชั่งแม่เหล็กน้ำ 0.2 g เทใน volumetric flask ขนาด 1000 ml
- เติมน้ำกลิ่นให้ได้ 1000 ml และเบี่ยง จะได้สารละลายแม่เหล็กน้ำความเข้มข้น 200 mg/L
- เจือจางสารละลายแม่เหล็กน้ำให้ได้ความเข้มข้นตามต้องการ คือ 10, 20, 30, 40, 50, 60, 70 และ 80 mg/l โดยใช้สูตร

$$C_1 V_1 = C_2 V_2$$

$C_1$  คือความเข้มข้นเริ่มต้นของสารละลายน้ำแม่เหล็กน้ำ (mg/l)

$V_1$  คือปริมาตรของสารละลายน้ำแม่เหล็กน้ำที่ต้องใช้ (ml)

การสังเคราะห์แร่ดินที่มีสมบัติทางแม่เหล็กเพื่อเป็นตัวลดปริมาณสารปนเปื้อนในระบบของเหลว

$C_2$  คือความเข้มข้นสารละลายเมธิลีนบลูที่ต้องการ (mg/l)

$V_2$  คือปริมาตรของสารละลายเมธิลีนบลูที่ต้องการเตรียม (ml)

- จากนั้นนำสารละลายเมธิลีนบลูที่ความเข้มข้นต่างๆ มาทำการวัดค่าดูดกลืนแสง (Absorbance) ด้วยเครื่อง UV/visible spectrophotometer ที่มีความยาวคลื่น 696 nm โดยเทียบกับสารละลายอ้างอิง (เมธิลีนบลู 0 mg/l)
- พล็อตค่าดูดกลืนแสงกับความเข้มข้นของสารละลายเมธิลีนบลู จะได้กราฟมาตราฐานของสารละลายเมธิลีนบลู
- ในการวัดปริมาณสารเมธิลีนบลูของการทดลอง นำสารละลายเมธิลีนบลูส่วนที่ไม่วัดค่า การดูดกลืนแสง ไปเทียบหาความเข้มข้นของสารละลายเมธิลีนบลูจากกราฟมาตราฐาน
- นำค่าการดูดกลืนแสง ไปเทียบหาความเข้มข้นของสารละลายเมธิลีนบลูจากกราฟมาตราฐาน

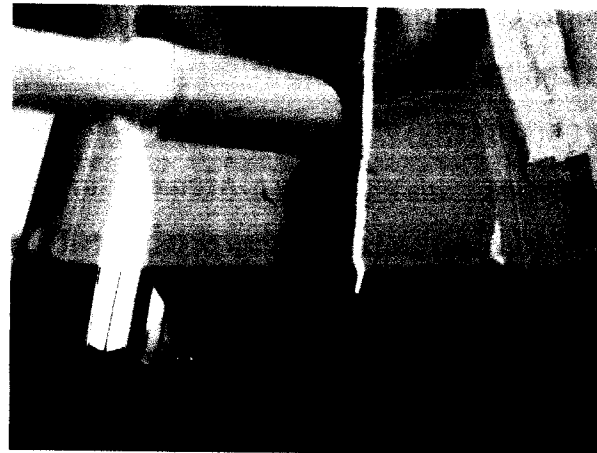
$C_2$  คือความเข้มข้นสารละลายนมิธีนบลูที่ต้องการ (mg/l)

$V_2$  คือปริมาตรของสารละลายนมิธีนบลูที่ต้องการเตรียม (ml)

- จากนั้นนำสารละลายนมิธีนบลูที่ความเข้มข้นต่างๆ มาทำการวัดค่าดูดกลืนแสง (Absorbance) ด้วยเครื่อง UV/visible spectrophotometer ที่มีความยาวคลื่น 696 nm โดยเทียบกับสารละลายน้ำอิ่ง (นมิธีนบลู 0 mg/l)
- พล็อตค่าดูดกลืนแสงกับความเข้มข้นของสารละลายนมิธีนบลู จะได้กราฟมาตราฐานของสารละลายนมิธีนบลู
- ในการวัดปริมาณสารนมิธีนบลูของการทดลอง นำสารละลายนมิธีนบลูส่วนที่นำมาวัดค่าการดูดกลืนแสง ไปเทียบหาความเข้มข้นของสารละลายนมิธีนบลูจากการมาตราฐาน
- นำค่าการดูดกลืนแสง ไปเทียบหาความเข้มข้นของสารละลายนมิธีนบลูในระบบของเหลว

**บทที่ 4**  
**ผลการวิเคราะห์ข้อมูล**

**4.1 ผลการสังเคราะห์ Magnetic materials**



รูปที่ 4.1 วัสดุที่มีสมบัติทางแม่เหล็ก

จากรูปที่ 4.1 พบร่วมกันว่า Magnetic materials ที่สังเคราะห์ได้มีสมบัติทางแม่เหล็ก โดยสามารถเกาะดูดติดกับขี้วัวแม่เหล็กที่ใช้ทดสอบ

**4.2 สมบัติทางกายภาพและการเคมีของ Magnetic materials**

จากตารางที่ 4.1 พบร่วมกันว่าค่า  $pH_{pzc}$  ของ Magnetic materials มีค่าลดลงจากสารตั้งต้น

ตารางที่ 4.1 ค่า  $pH_{pzc}$  (Zeta Potential) ของตัวดูดซับ

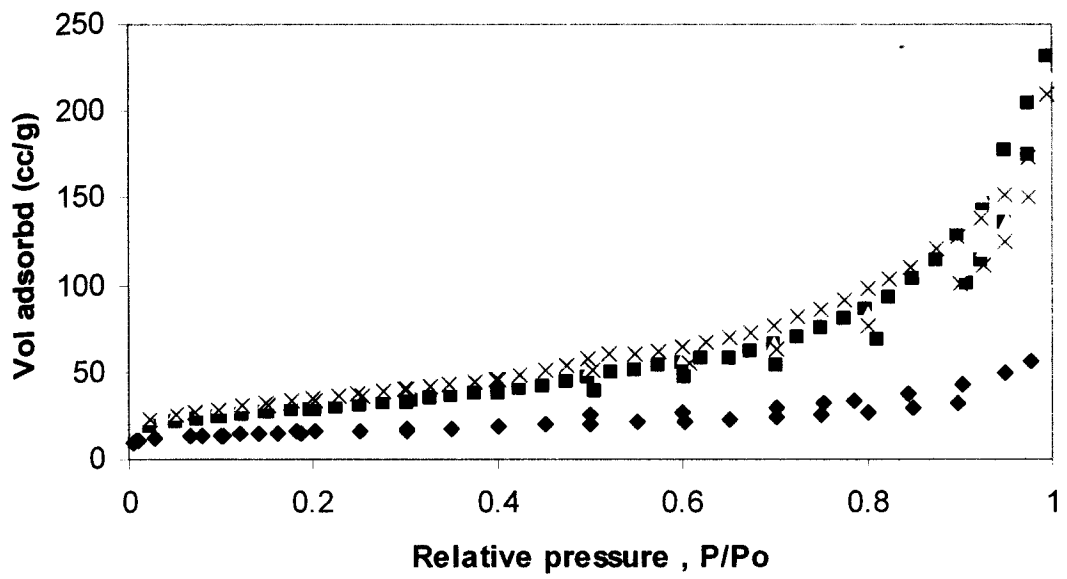
Sample	$pH_{pzc}$ (Zeta Potential)
Activated carbon	8.9
Magnetic activated carbon 1:1	8.3
Magnetic activated carbon 1.5:1	8.4
Magnetic activated carbon 2:1	8.3
Clay	9
Magnetic clay 1:1	8.15
Magnetic clay 1.5:1	8.2

การสังเคราะห์แร่ดินที่มีสมบัติทางแม่เหล็กเพื่อเป็นตัวดูดปริมาณสารปนเปื้อนในระบบของเหลว

จากการศึกษาสมบัติพื้นผิวของแร่คินมอนต์morilite ในตัวรูปแบบ BET Automatic Surface Analyzer ในตารางที่ 4.2 พบว่า ถ่านกัมมันต์ที่มีสมบัติทางแม่เหล็กจะมีพื้นที่ผิวคล่องกว่าถ่านกัมมันต์ตั้งต้นแต่มีขนาดครุพูนเคลือบเพิ่มขึ้น เนื่องจากมีสารประกอบของเหล็กเข้าไปอยู่ในรูปแบบของถ่านกัมมันต์ทำให้พื้นที่ผิวอิสระของถ่านกัมมันต์ลดลง ในทางตรงกันข้ามแร่คินมอนต์morilite ในตัวที่มีสมบัติทางแม่เหล็กจะมีพื้นที่ผิวมากกว่าแร่คินมอนต์morilite ในตัวตั้งต้นซึ่งสอดคล้องกับลักษณะการดูดซับในตรรженดังรูปที่ 4.2 กล่าวคือ Magnetic clays มีความสามารถในการดูดซับในตรรженมากกว่าแร่คินมอนต์morilite ในตัวรูปแบบ BET Automatic Surface Analyzer ในตารางที่ 4.2 ซึ่งสอดคล้องกับขนาดครุพูนเคลือบที่แสดงในตารางที่ 4.2

ตารางที่ 4.2 พื้นที่ผิวและขนาดครุพูนของของตัวดูดซับโดยใช้ BET N<sub>2</sub> adsorption

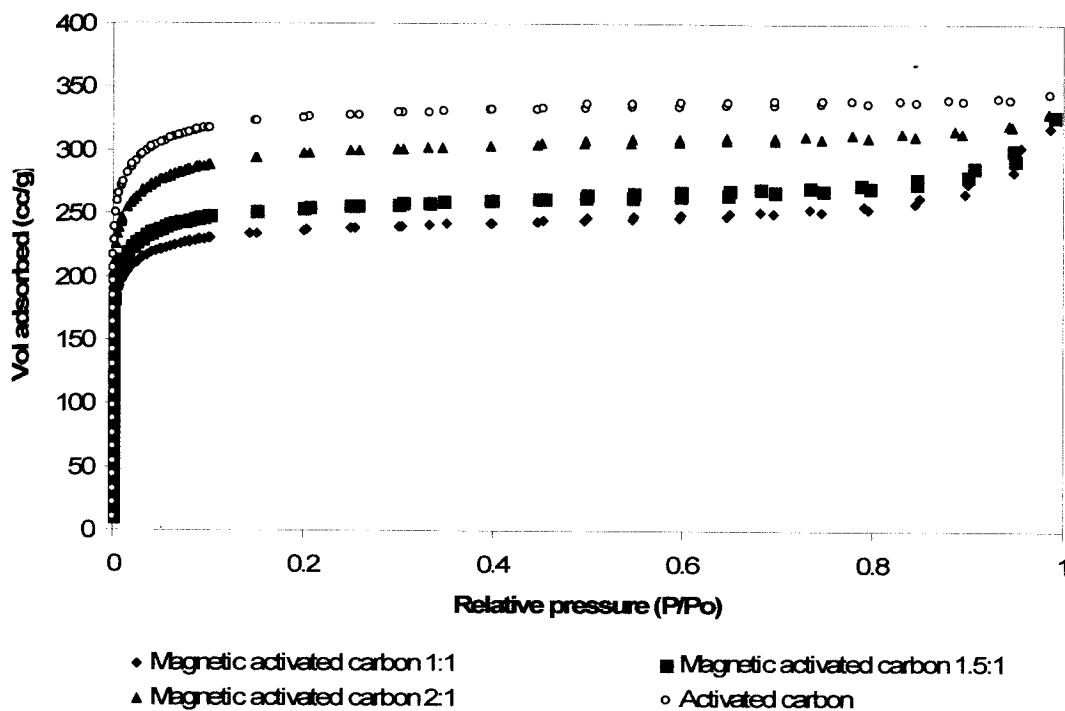
Adsorbent	BET surface area (m <sup>2</sup> /g)			ขนาดครุพูนเคลือบ (nm)		
	ก่อนดูดซับ	หลังดูดซับ	Recycle	ก่อนดูดซับ	หลังดูดซับ	Recycle
Activated carbon	1079	965.36	997.41	1.974	2.021	1.9
Magnetic activated carbon 1:1	785.65	98.63	476.72	2.503	3.668	N/A
Magnetic activated carbon 1.5:1	842.75	983.57	N/A	2.401	2.108	N/A
Magnetic activated carbon 2: 1	983.46	945.06	940.56	2.078	2.12	2.17
Montmorillonite	60.72	N/A	N/A	9.016	N/A	N/A
Magnetic Clay1:1	148.78	153.67	149.39	9.430	9.114	9.232
Magnetic clay 1.5:1	152	168.18	159.79	7.616	N/A	7.73



◆ Montmorillonite ■ Magnetic clay 1:1    Magnetic clay 1.5:1 × Magnetic clay 2:1

รูปที่ 4.2  $N_2$  adsorption isotherm ของแร่ดินอนต์莫ริลโลไนต์ และ Magnetic clays

กรุ๊ปที่ 4.3 พนวัสดุกษณะการดูดซับในโครงสร้างของถ่านกัมมันต์ และ Magnetic activated carbon ที่เกิดได้เป็นแบบ Type I และถึงรูพรุนขนาดเล็ก (Microporous material) และ Magnetic activated carbon มีความสามารถในการดูดซับในโครงสร้างอย่างกว่าถ่านกัมมันต์ตั้งต้น เนื่องจาก Magnetic activated carbon มีพื้นที่ผิวลดลงเป็นลำดับเมื่อปริมาณ  $Fe_2O_3$  บนถ่านกัมมันต์เพิ่มขึ้นเปรียบเทียบกับถ่านกัมมันต์ตั้งต้น



รูปที่ 4.3 N<sub>2</sub> adsorption isotherm ของถ่านกัมมันต์ และ Magnetic activated carbon ที่ผลิตได้

เมื่อพิจารณาระยะห่างระหว่างชั้นโครงสร้างของ Magnetic clays อัตราส่วนต่างๆ โดยเทคนิค XRD จากค่า  $d_{001}$  พบว่าระยะห่างระหว่างชั้นของ Magnetic clays จะมีค่า  $d_{001}$  ลดลงและ ค่า 2θ มีค่ามากขึ้น เมื่อปริมาณ Fe<sub>2</sub>O<sub>3</sub> เพิ่มขึ้นดังตารางที่ 4.3 แสดงว่า โนเลกุลของ Fe<sub>2</sub>O<sub>3</sub> เข้าไปอยู่ระหว่างชั้นของแร่ดิน นอนต์มอริลโลไนต์ซึ่งอาจทำให้ความสามารถในการคุกคับของแร่ดินนอนต์มอริลโลไนต์ลดลง ค่า  $d_{001}$  ในตารางที่ 4.3 จะรวมระยะห่างระหว่างชั้นของแร่ดินนอนต์มอริลโลไนต์และความหนาของชั้น แร่ดินนอนต์มอริลโลไนต์ ซึ่งความหนาของชั้นแร่ดินนอนต์มอริลโลไนต์มีค่าเท่ากับ 9.4 Å (Nzengung, Voudrias, Nkedi-kizza, Wampler and Weaver, 1996) เพราะฉะนั้นว่าระหว่างชั้นของแร่ดินนอนต์มอริลโลไนต์จะเท่ากับค่า  $d_{001}$  ลบด้วย 9.4 Å

ตารางที่ 4.3 ลักษณะทางกายภาพของ Magnetic clays โดยเทคนิค XRD

Sample	$d_{001}$	$2\theta$ (degree)
Montmorillonite	14.92	5.69
Magnetic clay 1:1	12.62	7.00
Magnetic clay 1.5:1	13.97	6.32
Magnetic clay 2:1	14.89	5.93

จากการศึกษาองค์ประกอบทางเคมีของแร่ดินมอนต์มอริลโลไนต์ที่ปรับปรุงคุณสมบัติด้วย  $\text{FeCl}_3$  และ  $\text{FeSO}_4$  (Magnetic clay) โดยใช้เครื่อง X-ray fluorescence (XRF) ในตารางที่ 4.4 พบว่า ปริมาณ  $\text{Na}_2\text{O}$  จะลดลงเมื่อเทียบกับแร่ดินมอนต์มอริลโลไนต์ตั้งต้น (แสดงในตารางที่ 4.4) จนไม่สามารถวัดค่าได้ แต่ปริมาณ  $\text{Fe}_2\text{O}_3$  เพิ่มขึ้นเป็นสัดส่วนกับปริมาณสารประกอบ  $\text{FeCl}_3$  และ  $\text{FeSO}_4$  ที่เพิ่มลงไปในขั้นตอนการสังเคราะห์ Magnetic materials ซึ่งแสดงว่ามีสารประกอบเหล็กเข้าไปแทรกอยู่ในโครงสร้างของแร่ดินมอนต์มอริลโลไนต์จริง

ตารางที่ 4.4 องค์ประกอบทางเคมีของแร่ดินมอนต์มอริลโลไนต์ และ Magnetic clays

Component	Montmorillonite	Magnetic clay 1:1	Magnetic clay 1.5:1	Magnetic clay 2:1
$\text{Na}_2\text{O}$	2.4-3	N.D.	N.D.	N.D.
$\text{MgO}$	1.5-2	0.795	0.952	0.98
$\text{Al}_2\text{O}_3$	16-18	4.704	7.189	5.587
$\text{SiO}_2$	56-60	11.479	17.049	22.085
$\text{P}_2\text{O}_5$	N.D.	0.015	0.035	0.048
S	N.D.	0.039	0.044	0.035
$\text{K}_2\text{O}$	0.3-0.5	0.017	0.475	0.75
$\text{CaO}$	1.9-2.1	1.777	2.378	3.158
$\text{TiO}_2$	1.2-1.5	0.513	0.767	0.958
$\text{MnO}$	N.D.	0.545	0.441	0.417
$\text{Fe}_2\text{O}_3$	5-7	65.116	55.695	50.981

จากตารางที่ 4.5 พบว่า สารประกอบเหล็กใน Magnetic activated carbon สูงกว่าในถ่านกัมมันต์ตั้งต้นซึ่งแสดงว่ามีสารประกอบเหล็กเข้าไปแทรกอยู่ในโครงสร้างของถ่านกัมมันต์ แต่ปริมาณสารประ

กอนเหล็กใน Magnetic activated carbon ไม่มีการเปลี่ยนแปลงแม้จะมีการเพิ่มปริมาณสารประกอบ  $\text{FeCl}_3$  และ  $\text{FeSO}_4$  ที่เติมลงไปในขั้นตอนการสังเคราะห์ Magnetic materials

ตารางที่ 4.5 องค์ประกอบทางเคมีของถ่านกัมมันต์และ Magnetic activated carbon

Component	Activated Carbon	Magnetic activated carbon 1:1	Magnetic activated carbon 2:1
$\text{Na}_2\text{O}$	N.D.	N.D.	N.D.
$\text{MgO}$	N.D.	N.D.	N.D.
$\text{Al}_2\text{O}_3$	1.742	N.D.	N.D.
$\text{SiO}_2$	4.618	0.339	0.535
$\text{K}_2\text{O}$	21.473	N.D.	N.D.
$\text{CaO}$	1.685	6.146	0.200
$\text{TiO}_4$	N.D.	N.D.	N.D.
$\text{Fe}_2\text{O}_3$	1.165	31.671	31.297

จากตารางที่ 4.6 พนวณ ความเป็นแม่เหล็กของ Magnetic clays ยังคงอยู่ภายหลังการ Regenerate ด้วยความร้อน และสภาวะของการคุณซับ (สภาวะปกติ และสภาวะที่เป็นแม่เหล็ก) ไม่มีผลต่อปริมาณ  $\text{Fe}_2\text{O}_3$  บนตัวคุณซับภายหลังการ Regenerate

ตารางที่ 4.6 องค์ประกอบทางเคมีของ Magnetic clays ภายหลังการ Regenerate

Component	Magnetic clay 1:1	Magnetic clay 1:1	Magnetic clay 1.5:1	Magnetic clay 1.5:1
	(A)	(B)	(A)	(B)
$\text{Na}_2\text{O}$	N.D.	N.D.	N.D.	N.D.
$\text{MgO}$	N.D.	0.547	0.597	0.714
$\text{Al}_2\text{O}_3$	4.078	3.818	6.437	6.667
$\text{SiO}_2$	14.015	13.459	23.286	23.382
$\text{K}_2\text{O}$	N.D.	N.D.	0.0965	0.119
$\text{CaO}$	1.168	0.257	1.699	1.643
$\text{TiO}_4$	N.D.	0.621	1.023	1.048
$\text{Fe}_2\text{O}_3$	76.686	77.288	63.945	63.502

หมายเหตุ

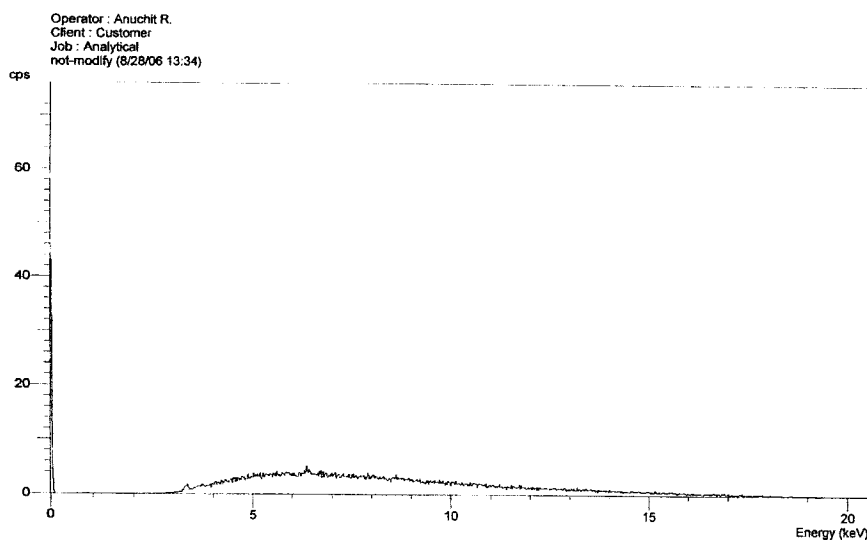
A = Magnetic clays ที่ผ่านการคุณซับ Methylene blue ในสภาวะปกติ

B = Magnetic clays ที่ผ่านการคุณซับ Methylene blue ในสภาวะที่เป็นแม่เหล็ก

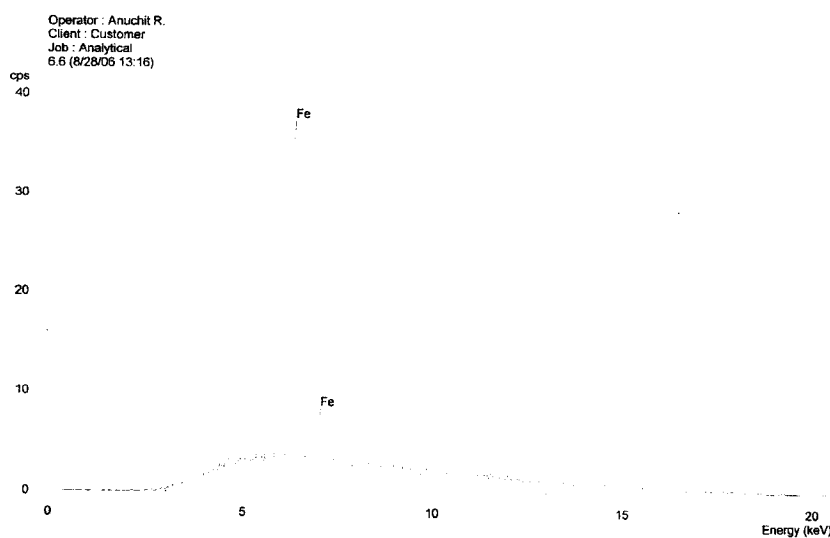
การสังเคราะห์แร่ดินที่มีสมบัติทางแม่เหล็กเพื่อเป็นตัวคลปริมาณสารปนเปื้อนในระบบของเหลว

นอกจากนี้ปริมาณของเหล็กในถ่านกัมมันต์ตั้งต้านและถ่านกัมมันต์ที่มีคุณสมบัติทางแม่เหล็กถูกวิเคราะห์เพื่อยืนยันความถูกต้องโดยใช้เทคนิค Energy Dispersive Spectrometer (EDS) ได้ผลดังแสดงในรูปที่ 4.4-4.7

จากรูปที่ 4.4 ไม่พบ Peak ของเหล็กในถ่านกัมมันต์ตั้งต้าน สำหรับ Magnetic activated carbon จะพบ Peak ของเหล็กอย่างชัดเจนโดยความสูงของกราฟจะเพิ่มขึ้นเมื่อปริมาณเหล็กเพิ่มขึ้น

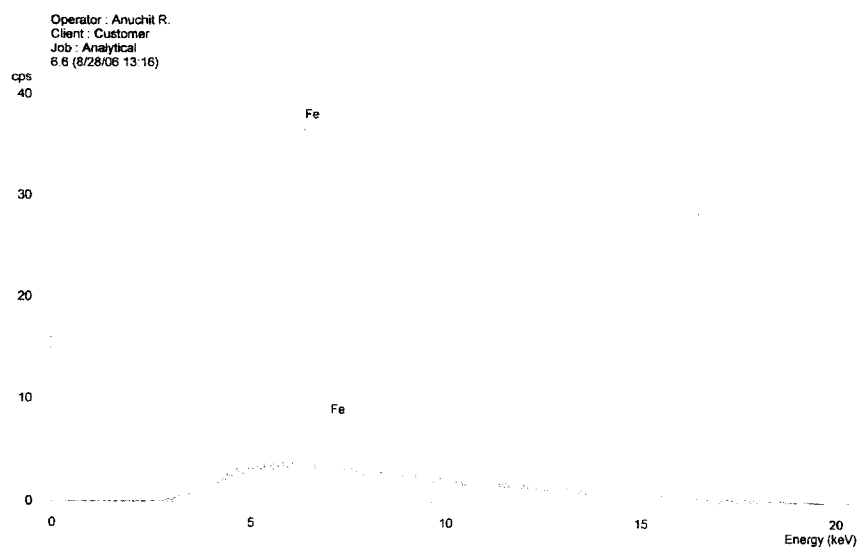


รูปที่ 4.4 EDS Spectrums ของถ่านกัมมันต์ตั้งต้าน

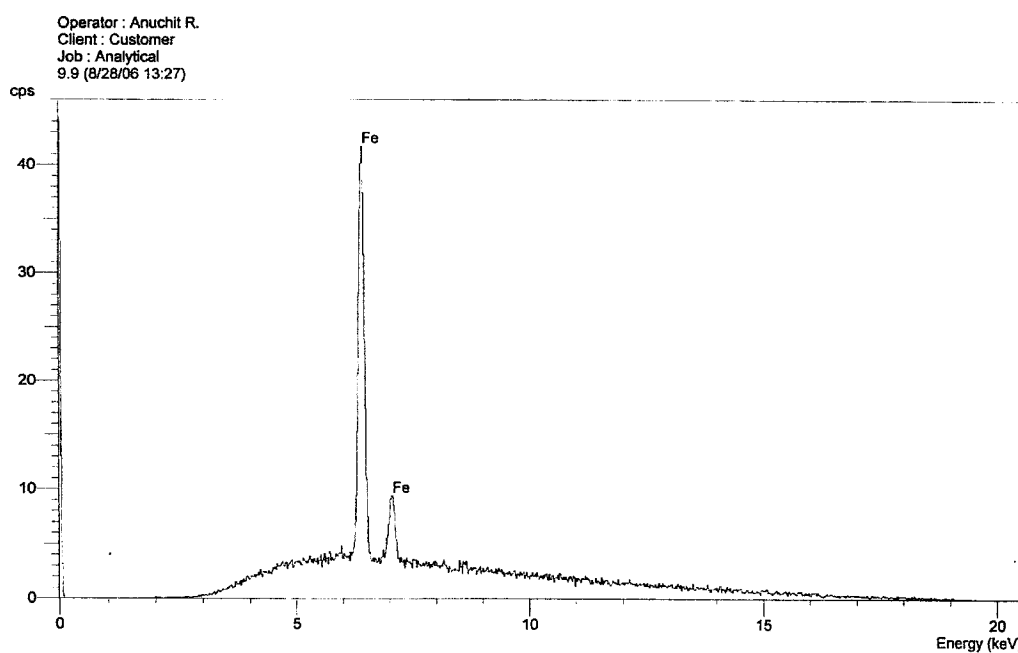


รูปที่ 4.5 EDS Spectrums ของ Magnetic activated carbon ชนิด 1:1

การสังเคราะห์แร่คินที่มีสมบัติทางแม่เหล็กเพื่อเป็นตัวลดปริมาณสารปนเปื้อนในระบบของเหลว



รูปที่ 4.6 EDS Spectrums ของ Magnetic activated carbon 1.5:1



รูปที่ 4.7 EDS Spectrums ของ Magnetic activated carbon ชนิด 2:1

เมื่อพิจารณาปริมาณคาร์บอนบนถ่านกัมมันต์และ Magnetic activated carbon โดยใช้เครื่อง CHNS analyzer ดังตารางที่ 4.7 พบว่า ปริมาณคาร์บอนบน Magnetic activated carbon ลดลงจากถ่านกัมมันต์ตั้งแต่นั้น

การถังเคราะห์แร่ดินที่มีสมบัติทางแม่เหล็กเพื่อเป็นตัวคูณปริมาณสารปนเปื้อนในระบบของเหลว

ตารางที่ 4.7

Ultimate analysis ของ Magnetic activated carbon

อัตราส่วนโดยน้ำหนักของ อัตราส่วนระหว่างถ่านกัมมันต์ : สารประกอบเหล็ก				
ร้อยละ โดยน้ำหนัก	ถ่านกัมมันต์	1:1	1.5:1	2:1
คาร์บอน	64.28	32.25	40.86	43.89
ไฮโดรเจน	1.139	0.811	0.848	1.184
ไนโตรเจน	0.071	0.048	0.092	0.119
ซัลเฟอร์	0.012	0	0	0.015

### 4.3 การทดสอบของแร่ดินมองค์มอริลoline ต์ธรรมชาติ ถ่านกัมมันต์ และ Magnetic materials ที่สภาวะปกติและสภาวะแม่เหล็ก

ข้อมูลการทดสอบ และ Settling Curve โดยละเอียดแสดงไว้ในภาคผนวก ก

ตารางที่ 4.8 เวลาการทดสอบของถ่านกัมมันต์ และ Magnetic activated carbon

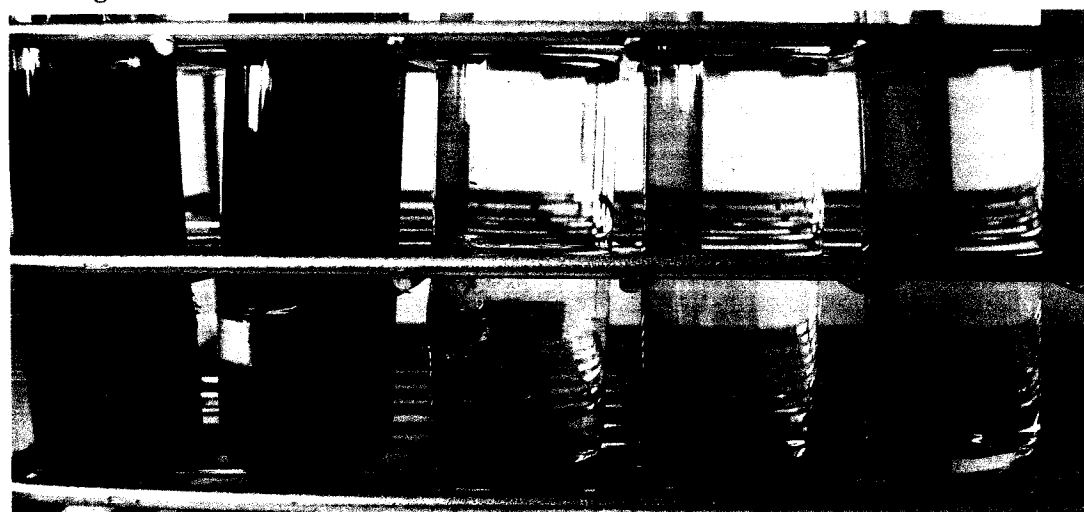
ชนิดของตัวคุณภาพ	ความเข้มข้นของ เมธิลีนบลู(mg/l)	สภาวะปกติ		สภาวะแม่เหล็ก
		Time (sec)	Time (sec)	
ถ่านกัมมันต์	70	6.94		5.752
	40	7.03		7.143
	20	7.76		6.439
Magnetic activated carbon 1:1	70	6.20		5.188
	40	7.08		6.179
	20	7.49		6.892
Magnetic activated carbon 1.5:1	70	6.01		5.558
	40	6.60		5.953
	20	8.09		8.559
Magnetic activated carbon 2:1	70	7.07		6.502
	40	8.26		7.531
	20	9.66		7.744

จากตารางที่ 4.8 และ 4.9 พบว่า Magnetic materials สามารถตกรตะกอนได้เร็วขึ้นในสภาวะที่เป็นแม่เหล็ก โดยเฉพาะ Magnetic clays เห็นว่าเวลาการตกรตะกอนในสภาวะแม่เหล็กคล่องกว่าครึ่งหนึ่งของสภาวะปกติ

ตารางที่ 4.9 เวลาการตกรตะกอนของ Magnetic clays

ชนิดของตัวดูดซับ	ความเข้มข้นของเมธิลีนบลู (mg/l)	สภาวะปกติ		สภาวะแม่เหล็ก	
		Time (min)	Time (min)	Time (min)	Time (min)
magnetic clay 1:1	70	47.41		28.45	
	40	51.933		26.097	
	20	48.61		24.803	
magnetic clay 1:1.5	70	72		46.46	
	40	68.277		34.873	
	20	80.693		28.56	

#### 4.4 ผลกระทบของการดูดซับเมธิลีนบลูด้วยแร่ดินอนต์มอริลโลไนต์ธรรมชาติ ด้านกัมมันต์ และ Magnetic materials

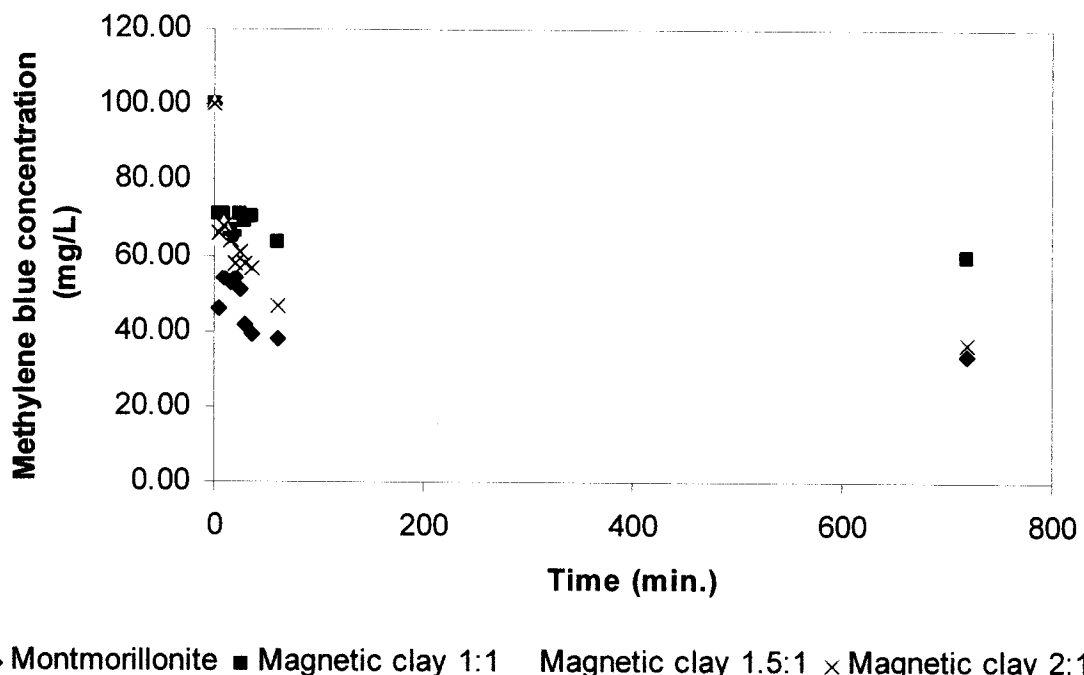


รูปที่ 4.8 ความเข้มข้นของเมธิลีนบลูในน้ำเมื่อเวลาผ่านไป

จากรูปที่ 4.8 จะเห็นว่าความเข้มข้นของเมธิลีนบลูในน้ำลดลงเมื่อเวลาผ่านไป ระยะเวลาเข้าสู่สมดุลของการดูดซับเมธิลีนบลูจากน้ำโดยใช้แร่ดินอนต์มอริลโลไนต์ธรรมชาติ และ Magnetic clays เป็นตัวดูดซับจะใช้เวลาประมาณ 40 นาที ด้วยแสดงในรูปที่ 4.9 พบว่าแร่ดินอนต์มอริลโลไนต์ธรรมชาติ มีความสามารถในการกำจัดเมธิลีนบลูในน้ำได้มากกว่า Magnetic clays เนื่องจากเมธิลีนบลูเป็นสีอินทรีย์ที่มีประจุบวก และกลไกการดูดซับสีเมธิลีนบลูนั้นแร่ดินอนต์มอริลโลไนต์ธรรมชาติ

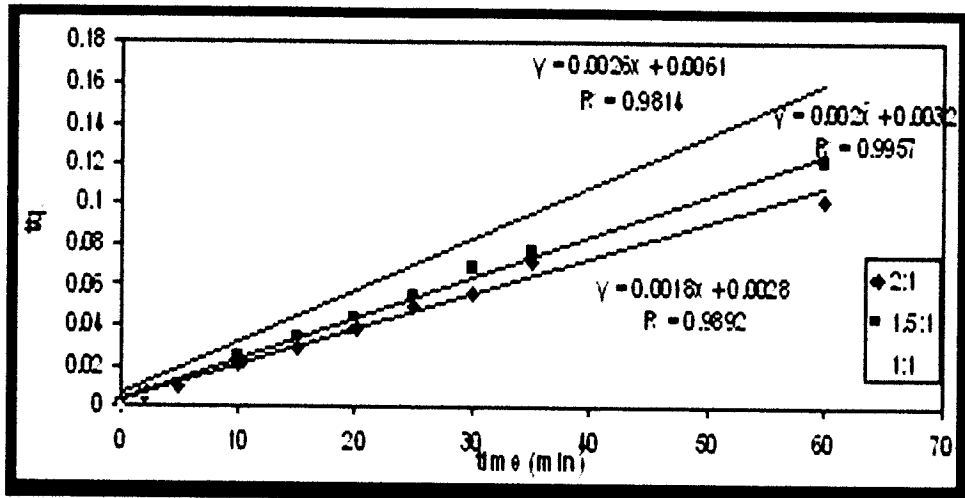
การสังเคราะห์แร่ดินที่มีสมบัติทางแม่เหล็กเพื่อเป็นตัวลดปริมาณสารปนเปื้อนในระบบของเหลว

เกิดขึ้นด้วยการแลกเปลี่ยนประจุบวกระหว่างเมธิลีนบลูกับ  $\text{Na}^+$  และ  $\text{Ca}^{2+}$  ที่มีอยู่ในแร่คินมอนต์มอริลโลไนต์ธรรมชาติ (Dentel, 1996) แต่สำหรับ Magnetic clays ประจุของ  $\text{Na}^+$  และ  $\text{Ca}^{2+}$  ที่มีอยู่ในแร่คินมอนต์มอริลโลไนต์ธรรมชาติถูกแลกเปลี่ยนกับ  $\text{Fe}_2\text{O}_3$  ไปแล้วจึงไม่เหลือประจุบวกของ  $\text{Na}^+$  และ  $\text{Ca}^{2+}$  บนพื้นผิวมากพอทำให้ความสามารถในการดูดซับเมธิลีนบลูเกิดขึ้นได้น้อย ความสามารถในการกำจัดเมธิลีนบลูจากน้ำของ Magnetic clays ลดลงเมื่อปริมาณสารประกอบเหล็กบน Magnetic clays มากขึ้น



รูปที่ 4.9 込んでศึกษาความสามารถดูดซับเมธิลีนบลู

เมื่อเปรียบเทียบการศึกษา込んでศึกษาความสามารถดูดซับเมธิลีนบลูโดยใช้แร่คินมอนต์มอริลโลไนต์ธรรมชาติและ Magnetic clays โดยใช้สมการ Pseudo-First Order และ Pseudo-Second Order พบร่วมกัน การดูดซับสารอินทรีย์โดยใช้แร่คินมอนต์มอริลโลไนต์ธรรมชาติ และ Magnetic clays มีลักษณะการดูดซับแบบ Pseudo-Second Order ดังแสดงในรูปที่ 4.10



รูปที่ 4.10 ขatonพลศาสตร์การดูดซับเม็ดลินบลูตามสมการ Pseudo-Second Order

จากรูปที่ 4.10 ค่าคงที่ของการดูดซับ ( $k_2$ ) ดังแสดงในตารางที่ 4.10 สามารถหาได้จากการความชันและชุดตัดแกนของเส้นกราฟ เมื่อเปรียบเทียบเฉพาะ Magnetic clays ค่า  $k_2$  (Rate constant of Pseudo-Second Order) จะเพิ่มขึ้นเมื่ออัตราส่วนระหว่างดินต่อเหล็กมากขึ้น แสดงว่า Magnetic clay 2:1 มีอัตราการดูดซับเร็วที่สุด

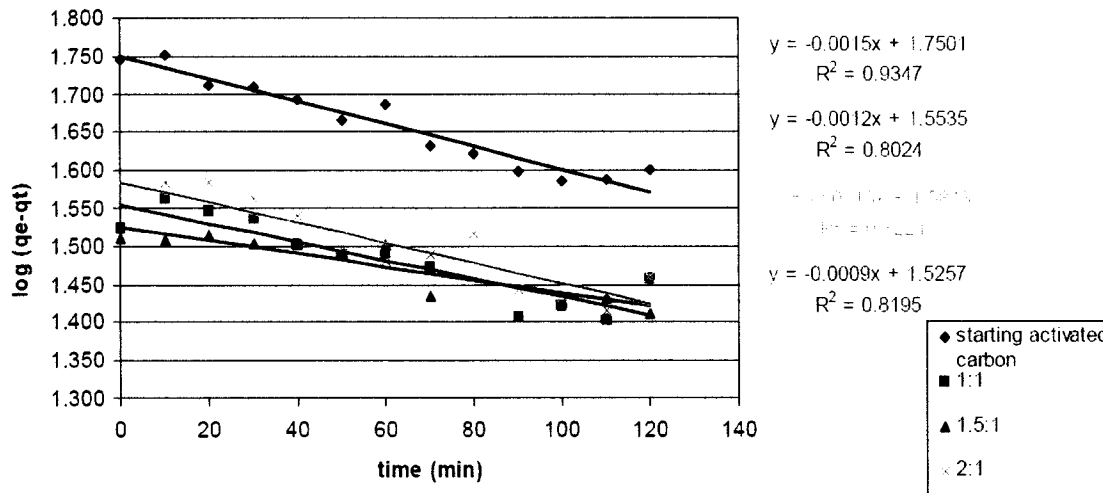
ตาราง 4.10 ค่าคงที่ของการดูดซับ จากสมการ Pseudo-Second order

ชนิดของตัวถูกดูดซับ	$R^2$	$k_2$ ( $\text{g} \cdot \text{min}^{-1} \text{mg}^{-1}$ )
Magnetic clay 1:1	0.9814	0.00048
Magnetic clay 1.5:1	0.9957	0.00127
Magnetic clay 2:1	0.9892	0.00224
Montmorillonite	0.9302	0.0032

เมื่อเปรียบเทียบจatonพลศาสตร์การดูดซับเม็ดลินบลูด้วยถ่านกัมมันต์และ Magnetic activated carbon พบว่า ถ่านกัมมันต์จะดูดซับเม็ดลินบลูได้เร็วที่สุด และการดูดซับเป็นไปตามสมการ Pseudo-First Order ดังแสดงในรูปที่ 4.11 และค่าคงที่ของการดูดซับ ( $k_1$ ) แสดงในตารางที่ 4.10 เมื่อเปรียบเทียบเฉพาะ Magnetic clays ค่า  $k_1$  (rate constant of Pseudo-First Order) จะเพิ่มขึ้นเมื่ออัตราส่วนระหว่างถ่านกัมมันต์ต่อเหล็กมากขึ้น แสดงว่า Magnetic activated carbon 2:1 มีอัตราการดูดซับเร็วที่สุด

ตารางที่ 4.11 ค่าคงที่ของการดูดซับ จากสมการ Pseudo first order

ชนิดของตัวดูดซับ	$R^2$	$k_1(\text{mg/g.min})$
ถ่านกัมมันต์	0.9347	0.00345
Magnetic activated carbon 1:1	0.8024	0.00120
Magnetic activated carbon 1.5:1	0.8195	0.00207
Magnetic activated carbon 2:1	0.8221	0.00299



รูปที่ 4.10 込んで式による吸着曲線

#### 4.5 การดูดซับเมธิลีนบลูด้วยแร่ดินอนต์มอริลโลไนต์ธรรมชาติ ถ่านกัมมันต์ และ

##### Magnetic materials

จากการศึกษาความสามารถในการดูดซับเมธิลีนบลูด้วยแร่ดินอนต์มอริลโลไนต์ธรรมชาติ ถ่านกัมมันต์ และ Magnetic materials พบว่า ในสภาวะปกติ (สภาวะที่ไม่มีสานามแม่เหล็ก) ถ่านกัมมันต์จะดูดซับเมธิลีนบลูจากน้ำได้ดีกว่า Magnetic activated carbon ดังแสดงในตารางที่ 4.11 เมื่อจากมีสารประกอบของเหล็กเข้าไปอยู่ในรูพุนของถ่านกัมมันต์ทำให้พื้นที่ผิวอิสระของถ่านกัมมันต์ลดลง ทำให้ Magnetic activated carbon มีพื้นที่ผิวลดลงเป็นลำดับเมื่อปริมาณสารประกอบเหล็กบนถ่านกัมมันต์เพิ่มขึ้นจึงดูดซับเมธิลีนบลูจากน้ำได้ลดลง แต่ในทางตรงกันข้าม Magnetic clays จะดูดซับเมธิลีนบลูจากน้ำได้ดีกว่าแร่ดินอนต์มอริลโลไนต์ธรรมชาติ ดังแสดงในตารางที่ 4.12

ตารางที่ 4.12 การดูดซับเมธิลีนบลูด้วยถ่านกัมมันต์ และ Magnetic activated carbon ในสภาวะปกติ

ชนิดของตัวดูดซับ	ความเข้มข้นเริ่มต้น ของเมธิลีนบลู (mg/l)	ความเข้มข้นสุดท้ายของ เมธิลีนบลู(mg/l)
ถ่านกัมมันต์	70	37.395
	40	14.775
	20	4.139
Magnetic activated carbon1:1	70	58.976
	40	23.891
	20	11.628
Magnetic activated carbon1:1.5	70	48.511
	40	24.108
	20	9.604
Magnetic activated carbon1:2	70	46.279
	40	20.775
	20	8.442

ตารางที่ 4.13 การดูดซับเมธิลีนบลูด้วยแร่ดินมองต์morilite ในต์ธรรมชาติ และ Magnetic clays ในสภาวะปกติ

ชนิดของตัวดูดซับ	ความเข้มข้นเริ่มต้น ของเมธิลีนบลู (mg/l)	ความเข้มข้นสุดท้าย ของเมธิลีนบลู(mg/l)
แร่ดินมองต์morilite ในต์ธรรมชาติ	70	31.256
	40	29.72
	20	17.395
Magnetic clay1:1	70	0.837
	40	1.147
	20	1.395
Magnetic clay1.5:1	70	1.162
	40	1.938
	20	2.852

การสังเคราะห์แร่ดินที่มีสมบัติทางแม่เหล็กเพื่อเป็นตัวลดปริมาณสารปนเปื้อนในระบบของเหลว

เมื่อเปรียบเทียบข้อมูลการคุณชั้บเมธิลีนบลูด้วยถ่านกัมมันต์ และ Magnetic activated carbon ในสภาวะปกติ (ตารางที่ 4.12) และข้อมูลการคุณชั้บเมธิลีนบลูด้วย ถ่านกัมมันต์ และ Magnetic activated carbon ในสภาวะที่มีสารามแม่เหล็ก (ตารางที่ 4.14) พบว่าแนวโน้มความสามารถในการคุณชั้บไม่เปลี่ยนแปลง

ตารางที่ 4.13 การคุณชั้บเมธิลีนบลูด้วย ถ่านกัมมันต์ และ Magnetic activated carbon ในสภาวะแม่เหล็ก

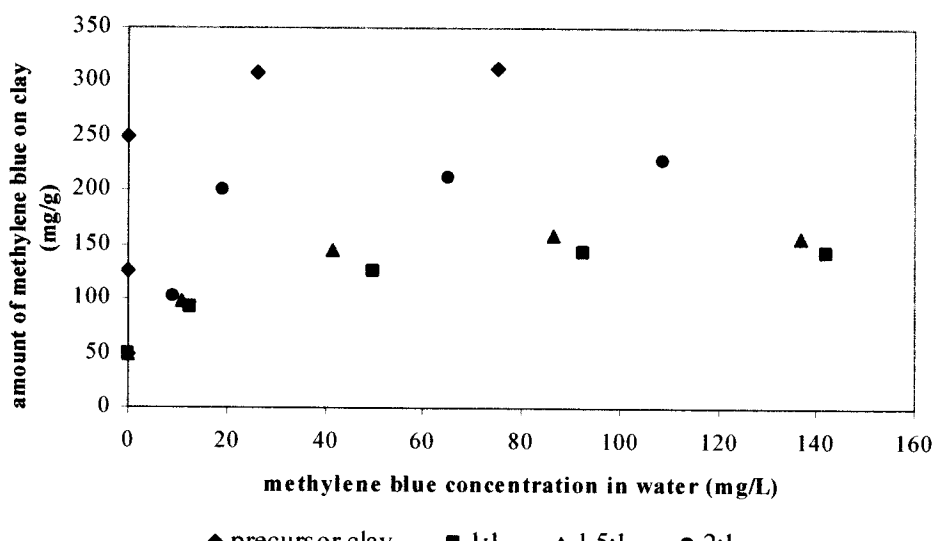
ชนิดของตัวคุณชั้บ	ความเข้มข้นเริ่มต้น ของเมธิลีนบลู(mg/l)	ความเข้มข้นสุดท้าย ของเมธิลีนบลู(mg/l)
ถ่านกัมมันต์	70	32.372
	40	14.356
	20	5.465
magnetic activated carbon1:1	70	46.744
	40	25.86
	20	12.186
Magnetic activated carbon1:1.5	70	46.372
	40	22.418
	20	13.139
magnetic activated carbon1:2	70	49.767
	40	20.294
	20	8

ในทำนองเดียวกัน เมื่อเปรียบเทียบข้อมูลการคุณชั้บเมธิลีนบลูด้วยแร่ดินอนต์มอริลโลไนต์ ธรรมชาติ และ Magnetic clays ในสภาวะปกติ (สภาวะที่ไม่มีสารามแม่เหล็ก) ดังแสดงในตารางที่ 4.13 และข้อมูลการคุณชั้บเมธิลีนบลูด้วย แร่ดินอนต์มอริลโลไนต์ธรรมชาติ และ Magnetic clays ในสภาวะแม่เหล็ก (ตารางที่ 4.15) พบว่าแนวโน้มความสามารถในการคุณชั้บไม่เปลี่ยนแปลงเช่นกัน จึงสามารถสรุปได้ว่า การคุณชั้บในสภาวะแม่เหล็กไม่รบกวนความสามารถในการคุณชั้บของตัวคุณชั้บ

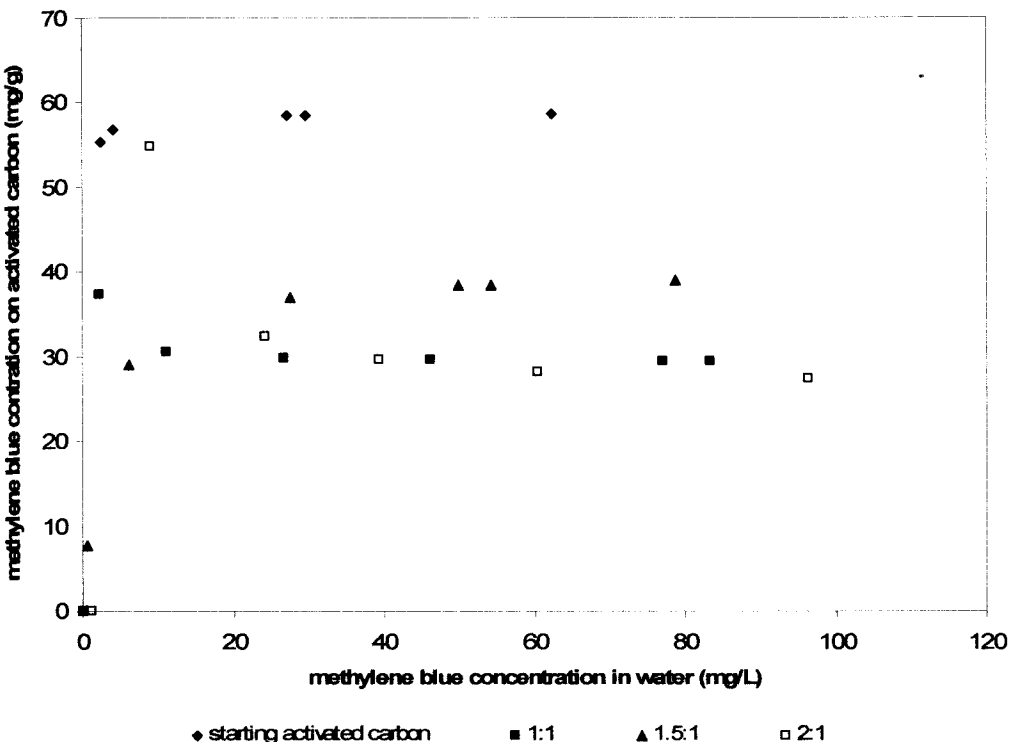
ตารางที่ 4.15 การดูดซับเมธิลีนบลูด้วยแร่คินมอนต์มอริลโลไนต์ธรรมชาติ และ Magnetic clays ในสภาพแวดล้อมแม่เหล็ก

ชนิดของตัวดูดซับ	ความเข้มข้นเริ่มต้น ของเมธิลีนบลู (mg/l)	ความเข้มข้นสุดท้าย ของเมธิลีนบลู (mg/l)
แร่คินมอนต์มอริลโลไนต์ธรรมชาติ	70	48.744
	40	31.535
	20	16.046
magnetic clay 1:1	70	0.837
	40	1.178
	20	1.178
magnetic clay 1.5:1	70	0.93
	40	1.969
	20	2

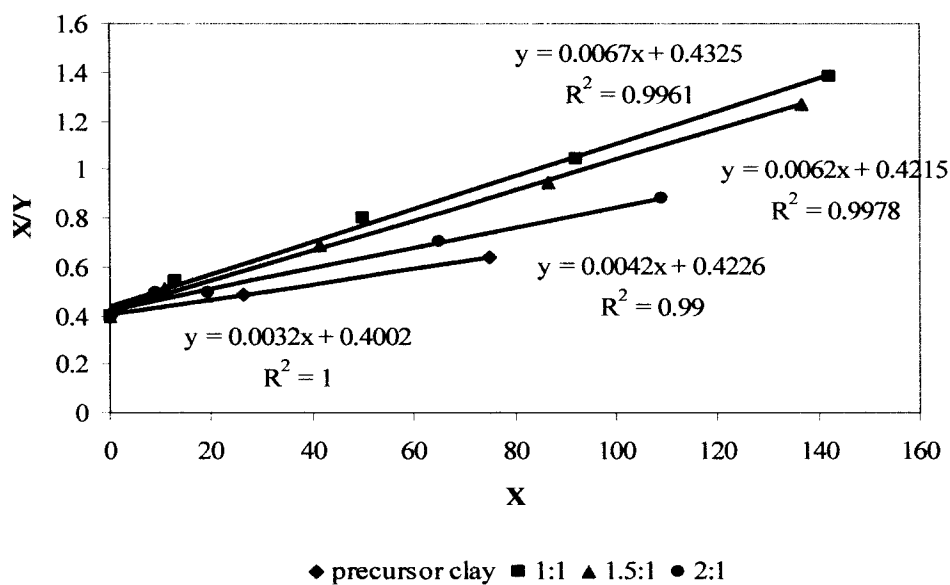
ไอโซเทิร์มการดูดซับสามารถสร้างได้โดยสมการสมดุลมวลสาร ลักษณะของไอโซเทิร์มการดูดซับดังแสดงไว้ในรูปที่ 3 ซึ่งมีแนวโน้มเป็นไปตาม Langmuir Isotherm



รูปที่ 4.12 ความสัมพันธ์ระหว่างความเข้มข้นของเมธิลีนบลูในสารละลายหลังการดูดซับกับปริมาณเมธิลีนบลูบนตัวดูดซับด้วยแร่คินมอนต์มอริลโลไนต์ธรรมชาติ และ Magnetic clays ในสภาพปักติ



รูปที่ 4.13 ความสัมพันธ์ระหว่างความเข้มข้นของเมธิลีนบลูในสารละลายหลังการคุณซับกับปริมาณเมธิลีนบลูบนตัวคุณซับด้วยถ่านกัมมันต์และ Magnetic activated carbon ในสภาวะปกติ (หมายถึง สภาวะที่ไม่มีสนามแม่เหล็ก)  
ความสามารถการคุณซับเมธิลีนบลูของตัวคุณซับชนิดต่างๆสามารถคำนวณได้จาก Langmuir Isotherm ดังแสดงในรูปที่ 4.14



รูปที่ 4.14 Langmuir transformed data ของการคุณซับเมธิลีนบลูด้วยแร่ดินมองต์moril โลไลต์ธรรมชาติ และ Magnetic clays ในสภาวะปกติ

การสังเคราะห์แร่ดินที่มีสมบัติทางแม่เหล็กเพื่อเป็นตัวควบคุมสารปนเปื้อนในระบบของเหลว

จากตารางที่ 4.16 พบว่า แร่คินมอนต์morilite ในตัวธรรมชาติมีความสามารถในการดูดซับเมธิลีนบูลูสูงสุด

ตารางที่ 4.16 ความสามารถในการดูดซับเมธิลีนบูลูของแร่คินมอนต์morilite ในตัวธรรมชาติ  
ถ่านกัมมันต์และ Magnetic materials

ชนิดของตัวดูดซับ	Monolayer sorption capacities by mean of Langmuir isotherm (mg/g)
แร่คินมอนต์morilite ในตัวธรรมชาติ	312.5
Magnetic Clay 1:1	149.3
Magnetic Clay 1.5:1	161.3
Magnetic Clay 2:1	238.1
ถ่านกัมมันต์	58.52
Magnetic activated carbon 1:1	29.29
Magnetic activated carbon 1.5:1	40.16
Magnetic activated carbon 2:1	25.97

#### 4.6 ประสิทธิภาพของตัวคูดซับภายในหลังการ Regenerate ที่อุณหภูมิ 200 °C

ตารางที่ 4.17 เวลาในการตกรอกอนของถ่านกัมมันต์และ Magnetic materials ที่สภาวะปกติและ สภาวะแม่เหล็กภายในหลังการ Regenerate ที่อุณหภูมิ 200 °C

ชนิดของตัวคูดซับ	ระยะเวลาในการตกรอกอน (วินาที)			
	สภาวะปกติ		สภาวะแม่เหล็ก	
	ตัวคูดซับใหม่	Recycle	ตัวคูดซับใหม่	Recycle
ถ่านกัมมันต์	7.62	6.66	6.71	7.43
Magnetic activated carbon 1:1	8.14	7.48	7.81	6.96
Magnetic activated carbon 1:1.5	10.18	7.12	11.45	7.97
Magnetic activated carbon 1:2	9.95	11.23	7.52	8.20
Magnetic Clay 1:1	75.21	37.56	39.17	19.63
Magnetic Clay 1:1.5	81.06	68.92	37.28	34.9

สภาวะในการทดลองมีผลต่อระยะเวลาในการตกรอกอนโดยตัวคูดซับที่ตกรอกอนในสภาวะสามา  
นแม่เหล็กใช้ระยะเวลาในการตกรอกอนน้อยกว่าเมื่อทดลองในสภาวะปกติที่ไม่มีสามามแม่เหล็ก จาก  
ตารางที่ 4.16 พบร่วมกันว่า Magnetic clays สามารถตกรอกอนได้เร็วขึ้นภายในหลังการ Regenerate ทั้งใน  
สภาวะปกติและสภาวะแม่เหล็ก แต่เวลาในการตกรอกอนของถ่านกัมมันต์ และ Magnetic activated  
carbon ไม่เปลี่ยนแปลงมากกับภายในหลังการ Regenerate ที่อุณหภูมิ 200 °C แสดงว่าการ Regenerate  
ไม่ทำให้คุณสมบัติทางเหล็กของ Magnetic materials หายไป

ตารางที่ 4.18 ผลการคุณชั้บเมธิลีนบลูด้วยถ่านกัมมันต์และ Magnetic materials ในสภาวะปกติ ภายหลังการ Regenerate ที่อุณหภูมิ  $200^{\circ}\text{C}$  เมื่อความเข้มเริ่มต้นของเมธิลีนบลู = 20 mg/L

ชนิดของตัวคุณชั้บ	ความเข้มข้นสุดท้ายของเมธิลีนบลู(mg/l)	
	ตัวคุณชั้บใหม่	Recycle
ถ่านกัมมันต์	3.58	7.60
Magnetic activated carbon 1:1	7.55	10.70
Magnetic activated carbon 1:1.5	9.20	10.37
Magnetic activated carbon 1:2	6.24	9.38
Magnetic Clay 1:1	0.87	0.17
Magnetic Clay 1:1.5	1.65	0.51

จากตารางที่ 4.18 พบว่าในสภาวะปกติถ่านกัมมันต์ และ Magnetic activated carbon คุณชั้บเมธิลีนบลู ได้น้อยลง แต่ Magnetic clays คุณชั้บเมธิลีนบลู ได้มากขึ้นภายหลังการ Regenerate ที่อุณหภูมิ  $200^{\circ}\text{C}$

ตารางที่ 4.19 ผลการคุณชั้บเมธิลีนบลูด้วยถ่านกัมมันต์และ Magnetic materials ในสภาวะแม่เหล็ก ภายหลังการ Regenerate ที่อุณหภูมิ  $200^{\circ}\text{C}$  เมื่อความเข้มเริ่มต้นของเมธิลีนบลู = 20 mg/L

ชนิดของตัวคุณชั้บ	ความเข้มข้นสุดท้ายของเมธิลีนบลู (mg/l)	
	ตัวคุณชั้บใหม่	Recycle
ถ่านกัมมันต์	4.23	7.77
Magnetic activated carbon 1:1	8.45	10.34
Magnetic activated carbon 1:1.5	11.45	11.02
Magnetic activated carbon 1:2	6.91	8.71
Magnetic Clay 1:1	0.94	0.20
Magnetic Clay 1:1.5	1.41	0.51

## บทที่ 5

### สรุปผลการทดลองและข้อเสนอแนะ

#### 5.1 สรุปผลการทดลอง

- การตอกตะกอนของ Magnetic materials ในสภาวะแม่เหล็กจะใช้ระยะเวลาในการตอกตะกอนน้อยกว่าสภาวะปกติและสามารถเปรียบเทียบว่าตัวคูดซับได้มีการใช้เวลาในการตอกตะกอนน้อยที่สุดดังนี้

Magnetic activated carbon 1:1 < Magnetic activated carbon 1.5:1 < Magnetic activated carbon 1:2

และ Magnetic clay 1:1 < Magnetic clay 1.5:1

- Magnetic clays จะตอกตะกอนเร็วขึ้นในสภาวะแม่เหล็กเมื่อปริมาณสารประกอบเหล็กบน Magnetic clays เพิ่มขึ้น
- ถ่านกัมมันต์จะคูดซับเมธิลีนบูลูได้ดีกว่าถ่านกัมมันต์ที่มีคุณสมบัติทางเหล็ก (Magnetic activated carbon)
- แร่ดินมนต์มอริลโลï ในตัวคูดซับเมธิลีนบูลูได้ดีกว่าถ่านกัมมันต์
- การนำตัวคูดซับกลับมาใช้ใหม่โดยผ่านกระบวนการทางความร้อน (Regenerate) สามารถทำได้โดยความสามารถในการคูดซับเมธิลีนบูลูไม่เปลี่ยนแปลง

#### 5.2 ข้อเสนอแนะ

- ศึกษาการคูดซับสารอินทรีย์ และสารอนินทรีย์ชนิดอื่นๆ
- ทดลอง Regenerate ตัวคูดซับที่อุณหภูมิอื่นๆ

## บรรณานุกรม

ปิยมาภรณ์ จารุวงศ์. 2545. การดูดซับสารอินทรีย์จากน้ำโดยใช้แร่คินตอนต์มอริลโลในต์.  
วิทยานิพนธ์ปริญญาโท. สาขาวิชาศึกกรรมเคมี มหาวิทยาลัยเทคโนโลยีสุรนารี นครราชสีมา

Piyamaporn Jaruwong, Jakrit Aumpush and Ratanawan Kiattikomol (2005) Uptake of Cationic and Azo Dyes by Montmorillonite in Batch and Column System. Thammasat Int. J. Sc. Tech. 10 (1). 47-56

Schnitzer and Khan (1972) Humic Substances in the Environment. Marcel Dekker Inc: New York

Henry, J.G. and Heinke, G.W. (1996) Environmental Science and Engineering. Prentice Hall

Nzengung, V. A., Voudrias, E. A., Nkedi-Kizza, P., Wampler, J. M. and Weaver, C.E. (1996) Organic cosolvent effects on sorption equilibrium of hydrophobic organic chemicals by organoclays. Environmental science & technology. 30(1) 89-96

Dentel, S.K. (1996). Use of Organo-Clay Adsorbent Materials for Groundwater Treatment Applications. Final Report submitted to Delaware State Water Research Institute

ภาณุนิดา ครองธรรมชาติ. สื่อการเรียนการสอนวิชา 512 408 เทคโนโลยีน้ำเสีย. ภาควิชา วิทยาศาสตร์ อนามัยสิ่งแวดล้อม คณะสาธารณสุขศาสตร์ มหาวิทยาลัยขอนแก่น (Online). Available URL:<http://vdo.kku.ac.th/mediacenter/mediacenter-uploads/libs/html/4138/sedimentation1.html>

Luiz C.A. Olivera, Rachel V.R.A Rios, Jose D. Fabris and Rochel M. Lago (2004). Magnetic Particle Technology:A Simple Preparation of Magnetic Composites for the Adsorption of Water Contaminants. Journal of Chemical Education. 81(2) 248-250

Luiz C.A. Olivera, Diago I. Petkowicz, Alessandra Smaniotto and Sibele B.C. Pergher (2004). Magnetic Zeolites: a new adsorbent for removal of metallic contaminants from water. Water research. 38. 3699-3704

Bourlinos, A.B., Zboril, R. and Petridis, D. (2003) A simple route towards magnetically modified zeolite. Microporous and Mesoporous Materials. 58. 155-162

Pignon, F., Alemdar, A., Magnin, A., and Narayanan, T. (2003) Small-Angle X-ray Scattering Studies of Fe-Montmorillonite Deposits during Ultrafiltration in a Magnetic Field. Langmuir. 19(21)

## ภาคผนวก

การสังเคราะห์แร่คินที่มีสมบัติทางเคมีเหล็กเพื่อเป็นตัวลดปริมาณสารปนเปื้อนในระบบของเหลว

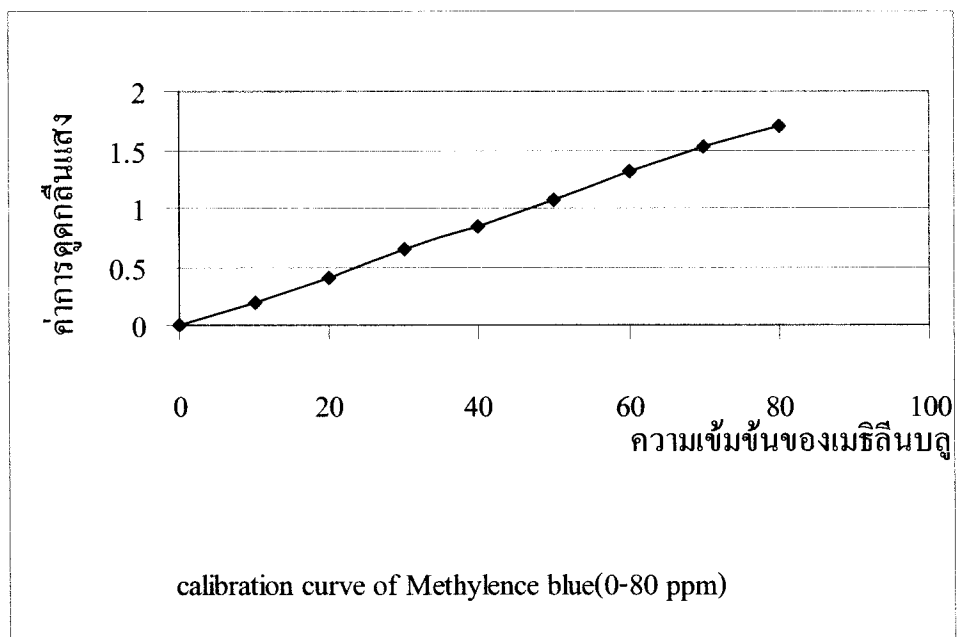
**ภาคผนวก ก**  
**ข้อมูลการทดลอง**

การสังเคราะห์แร่คินที่มีสมบัติทางแม่เหล็กเพื่อเป็นตัวควบคุมparamagnetic สำหรับปืนปืนในระบบของเหลว

### การหา Calibration curve ของ Methylene blue

ตารางที่ ก1 ค่าการดูดกลืนแสงและความเข้มข้นของเมธิลีนบลู

ค่าการดูดกลืนแสง	ความเข้มข้นของเมธิลีนบลู
0	0
0.197	10
0.41	20
0.649	30
0.85	40
1.073	50
1.312	60
1.528	70
1.705	80



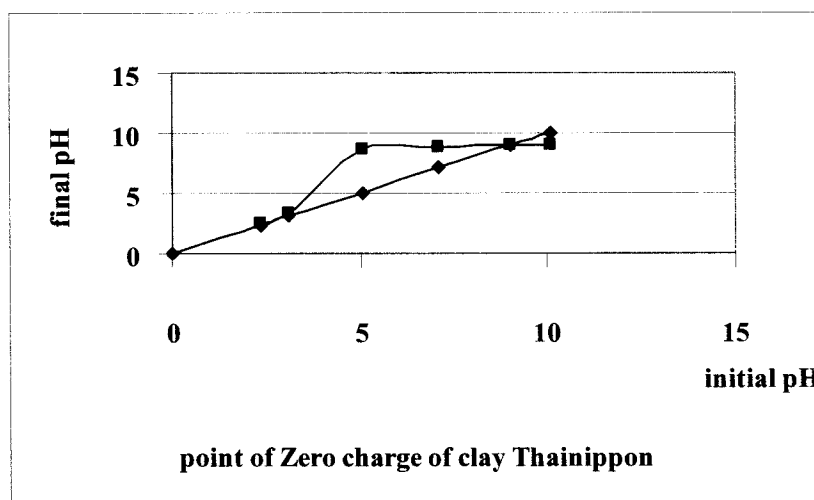
รูปที่ ก1 ความสัมพันธ์ระหว่างค่าการดูดกลืนแสงและความเข้มข้นของเมธิลีนบลู

การสังเคราะห์เรซินที่มีสมบัติทางเคมีหลักเพื่อเป็นตัวลดปริมาณสารปนเปื้อนในระบบของเหลว

### การหาค่า Point of zero charge ของตัวดูดซับต่างๆ

ตารางที่ ก2 ค่า pH สำหรับหาค่า Point of zero charge ของแร่คินมอนต์มอริลโลไนต์ธรรมชาติ

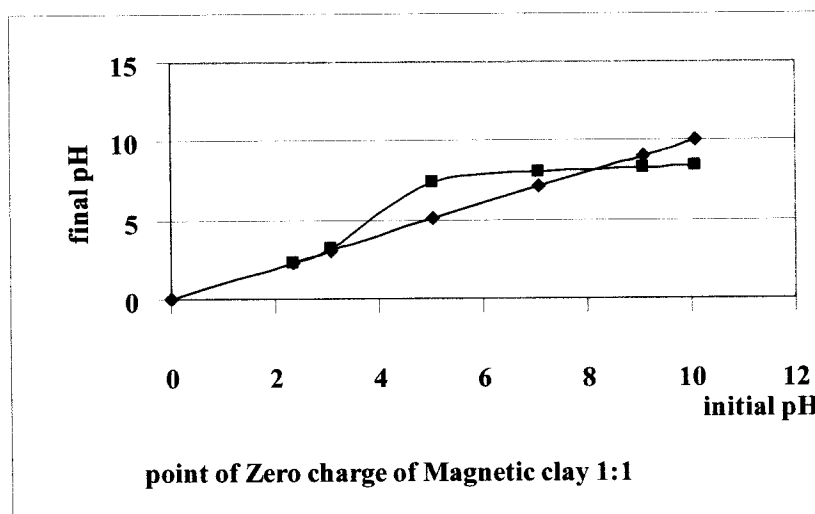
initial pH	final pH
0	-
2.35	2.47
3.09	3.33
5.06	8.73
7.09	8.89
9.02	8.95
10.07	8.96



รูปที่ ก2 ความสัมพันธ์ระหว่างค่า pH สูดทা�ขกับค่า pH เริ่มต้นของแร่คินมอนต์มอริลโลไนต์ธรรมชาติ

ตารางที่ ก3 ค่า pH สำหรับหาค่า Point of zero charge ของ magnetic clay 1:1

initial pH	final pH
0	-
2.35	2.33
3.08	3.17
5.04	7.4
7.08	7.98
9.07	8.22
10.06	8.36



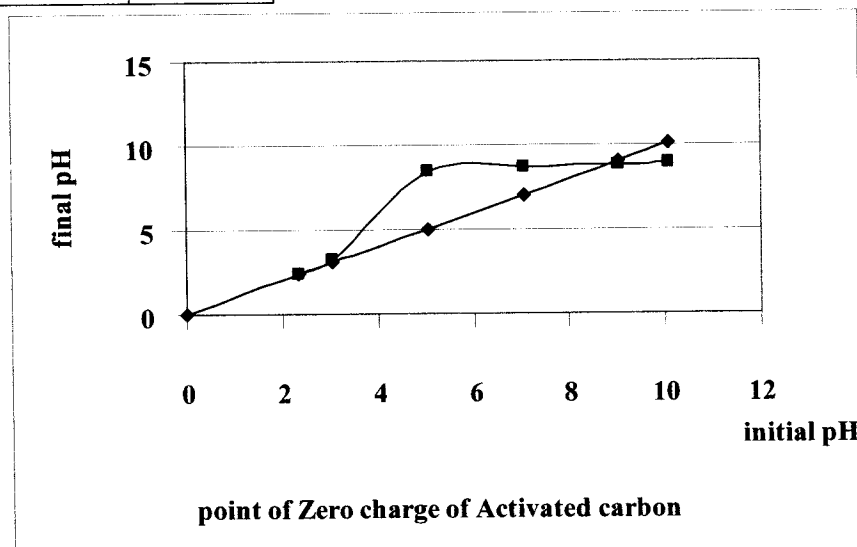
รูปที่ ก3. ความสัมพันธ์ระหว่างค่า pH สุ่ดท้ายกับค่า pH เริ่มต้นของ magnetic clay 1:1

ตารางที่ ก4 ค่า pH สำหรับหาค่า Point of zero charge ของ magnetic clay 1.5:1

initial pH	final pH
0	-
2.32	2.35
3.05	3.15
5.05	7.59
7.07	8.08
9.05	8.34
10.06	8.48

ตารางที่ ก5 ค่า pH สำหรับหาค่า Point of zero charge ของ activated carbon

initial pH	final pH
0	-
2.35	2.42
3.07	3.17
5.05	8.46
7.05	8.74
9.05	8.85
10.09	8.96

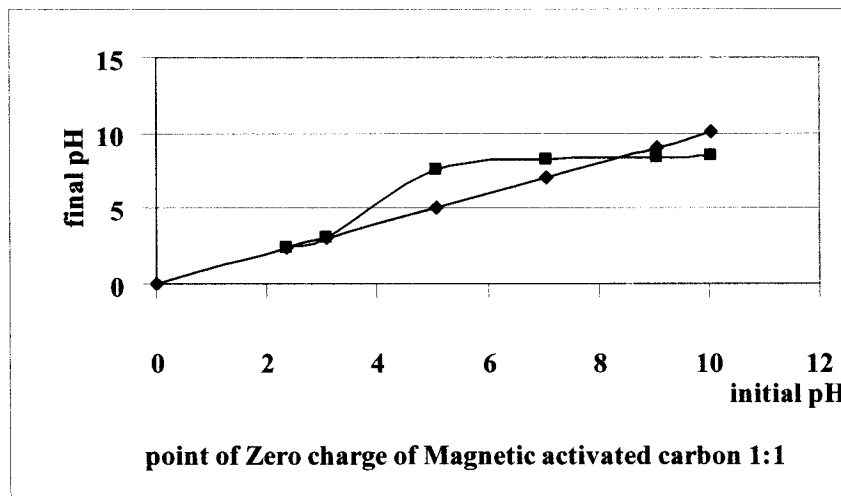


รูปที่ ก4 ความสัมพันธ์ระหว่างค่า pH สุดท้ายกับค่า pH เริ่มต้นของ activated carbon

การสังเคราะห์แร่ดินที่มีสมบัติทางแม่เหล็กเพื่อเป็นตัวลดปริมาณสารปนเปื้อนในระบบของเหลว

ตารางที่ ก6 ค่า pH สำหรับหาค่า Point of zero charge ของ Magnetic activated carbon1:1

initial pH	final pH
0	-
2.34	2.36
3.07	3.04
5.07	7.62
7.07	8.2
9.05	8.36
10.03	8.52



รูปที่ ก5 ความสัมพันธ์ระหว่างค่า pH สุดท้ายกับค่า pH เริ่มต้นของ magnetic activated carbon1:1

การสังเคราะห์เรซินที่มีสมบัติทางเคมีหลักเพื่อเป็นตัวควบคุมสารปนเปื้อนในระบบของเหลว

ตารางที่ ก7 ค่า pH สำหรับหาค่า Point of zero charge ของ Magnetic activated carbon 1.5:1

initial pH	final pH
0	-
2.35	2.34
3.08	3.05
5.04	7.83
7.05	8.25
9.06	8.43
10.03	8.54

ตารางที่ ก8 ค่า pH สำหรับหาค่า Point of zero charge ของ Magnetic activated carbon 2:1

initial pH	final pH
0	-
2.35	2.35
3.07	3.06
5.07	7.74
7.02	8.19
9.06	8.42
10.01	8.52

การสังเคราะห์เรซิโน่ที่มีสมบัติทางเคมีเหล็กเพื่อเป็นตัวลดปริมาณสารปนเปื้อนในระบบของเหลว

การหา Solid/liquid ratio ที่เหมาะสมในการทดลอง

ตารางที่ ก.9 เวลาและความสูงของตะกอนที่ระบบทองตัวงวด 250ml, clay 1gram

กระบวนการตัวงวด 250ml : diameter 3.7cm

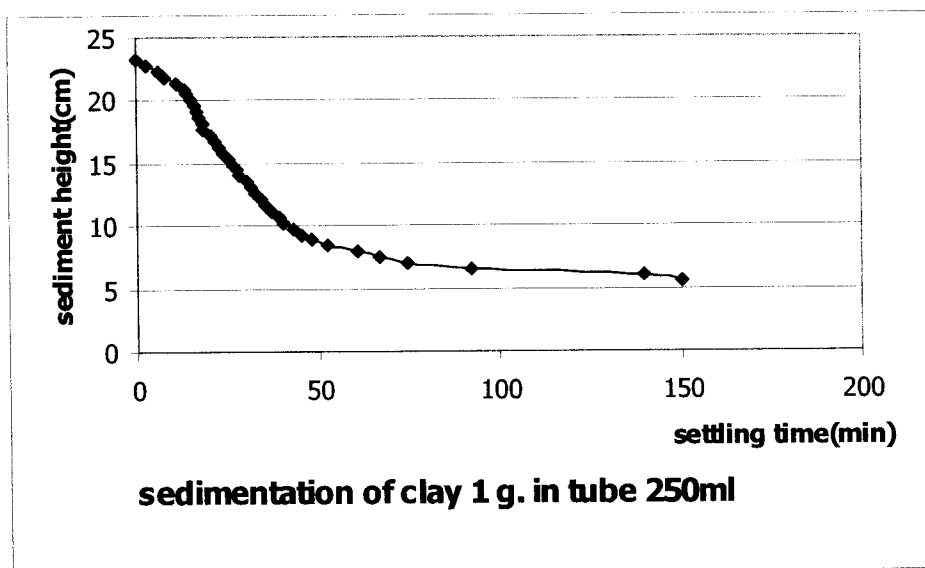
ml	time (min)	height(cm.)
250	0	23.26306337
245	3	22.79780211
240	6	22.33254084
235	8	21.86727957
230	11	21.4020183
225	13	20.93675704
220	14	20.47149577
215	15	20.0062345
210	16	19.54097323
205	16.43	19.07571197
200	17.23	18.6104507
195	18.03	18.14518943
190	18.43	17.67992816
185	20.43	17.2146669
180	21.3	16.74940563
175	22.42	16.28414436
170	23.56	15.81888309
165	25.14	15.35362183
160	26.4	14.88836056
155	27.44	14.42309929
150	28.45	13.95783802
145	30.2	13.49257676
140	31.34	13.02731549
135	32.56	12.56205422
130	34.01	12.09679295
125	35.43	11.63153169

การสังเคราะห์แร่ดินที่มีสมบัติทางแม่เหล็กเพื่อเป็นตัวลดปริมาณสารปนเปื้อนในระบบของเหลว

ตารางที่ ก.9 เวลาและความสูงของตะกอนที่ระบบอกร่องขนาด 250ml, clay 1gram (ต่อ)

ระบบอกร่องขนาด 250 ml : diameter 3.7cm

ml	time (min)	height(cm.)
120	37.09	11.16627
115	39	10.70101
110	40.38	10.23575
105	43.03	9.770487
100	45.03	9.305225
95	48.23	8.839964
90	52.21	8.374703
85	60.6	7.909442
80	66.6	7.44418
75	74.4	6.978919
70	92.4	6.513658
65	139.8	6.048396
60	150	5.583135



รูปที่ ก6

ความสัมพันธ์ระหว่าง Sedimentation height และ Time

การสังเคราะห์แร่ดินที่มีสมบัติทางแม่เหล็กเพื่อเป็นตัวลดปริมาณสารปนเปื้อนในระบบของเหลว

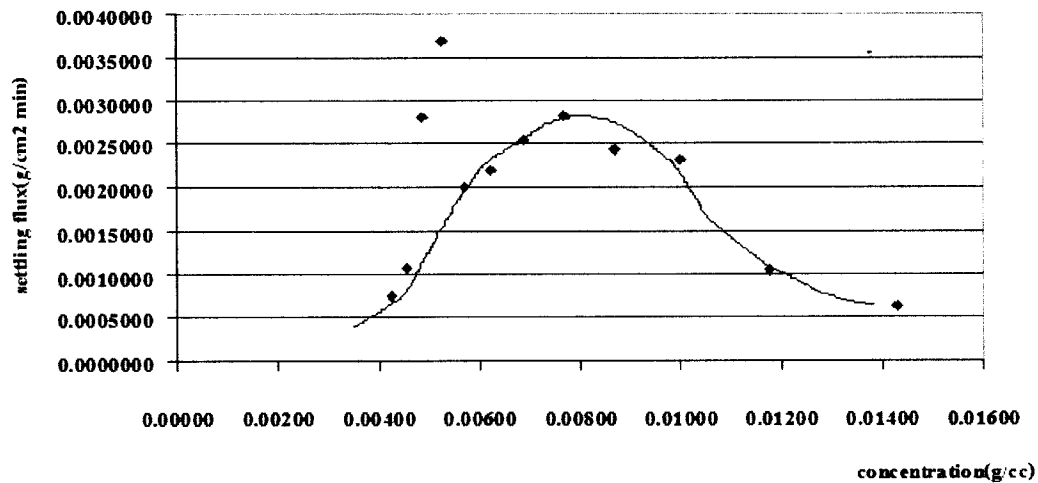
ตารางที่ ก.10 เวลาและความสูงของตะกอนที่ระบบอกรดท่วงขนาด 100 ml, clay 1 gram

ml	time(hr)	height(cm)
100	0	16.24853763
95	0.267	15.43611075
90	1.44	14.62368387
85	2.15	13.81125699
80	3	12.99883011
75	3.47	12.18640322
70	4.17	11.37397634
65	4.33	10.56154946
60	4.45	9.749122579
55	5.12	8.936695697
50	5.5	8.124268816

ตารางที่ ก.11 เวลาและความสูงของตะกอนที่ระบบอกรดท่วงขนาด 500 ml, clay 1gram

ml	time(min)	height(cm)
470	0	21.31456442
450	3.52	20.40756168
400	5.45	18.14005483
350	7.45	15.87254797
300	9.22	13.60504112
250	11.44	11.33753427
200	14.07	9.070027414
150	18.45	6.802520561
100	59.08	4.535013707

จากการทดลองจะได้ค่า Solid/liquid ที่เหมาะสมคือ ระบบอกรดท่วงขนาด 250 ml, ตัวคุณซับ 1 g เมื่อนำค่า Settling flux พล็อตกับค่าความเข้มข้นจะได้กราฟเป็นไปตามทฤษฎี Settling curve ดังรูป ก7



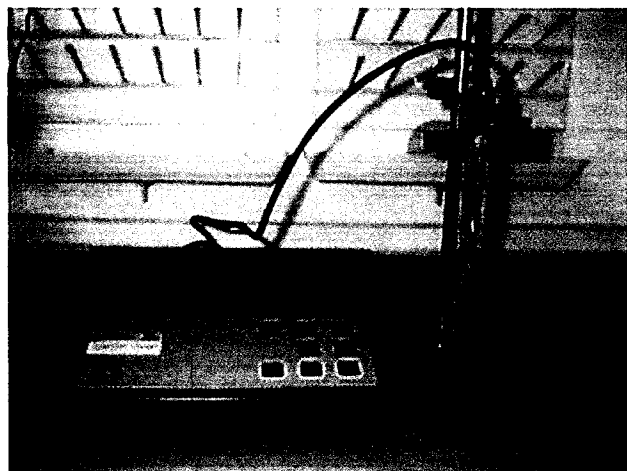
The relationship between Settling flux vs. Concentration of Clay 1 g in tube 250 ml

รูปที่ ก7 ความสัมพันธ์ระหว่าง Settling flux และความเข้มข้นของสารละลาย

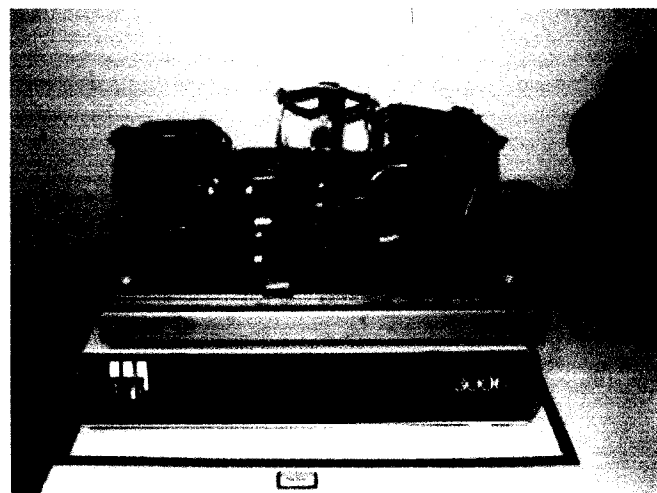
การสังเคราะห์แร่คินที่มีสมบัติทางแม่เหล็กเพื่อเป็นตัวลดปริมาณสารปนเปื้อนในระบบของเหลว

**ภาคผนวก ข**  
**เครื่องมือที่ใช้ในการทดสอบ**

การสังเคราะห์แร่คินที่มีสมบัติทางเคมีเพื่อเป็นตัวคูณปริมาณสารปนเปื้อนในระบบของเหลว



ภาพที่ ข1 เครื่อง pH meter

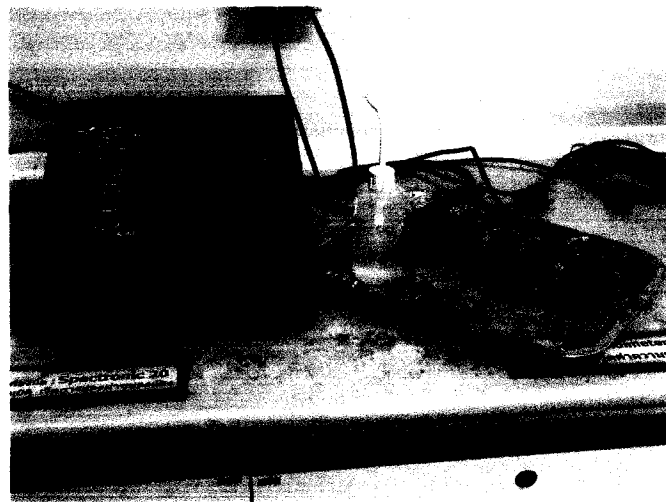


ภาพที่ ข2 เครื่องเขย่าแนวราบ

การสังเคราะห์แรคินที่มีสมบัติทางเคมีเดลีกเพื่อเป็นตัวลดปริมาณสารปนเปื้อนในระบบของเหลว



ภาพที่ ข3 เครื่อง Conductivity



ภาพที่ ข4 เครื่อง Spectronic

การสังเคราะห์เรเดินที่มีสมบัติทางเคมีเหล็กเพื่อเป็นตัวลดปริมาณสารปนเปื้อนในระบบของเหลว

**ประวัติผู้วิจัย**

พศ.คร. รัตนวรรณ (วินูลย์สวัสดิ์) เกียรติโภนดล

**ประวัติการศึกษา**

ปีที่สำเร็จการศึกษา	ระดับปริญญา	ชื่อปริญญา	สาขาวิชา	สถาบันการศึกษา	ประเทศ
2542	ปริญญาเอก	PhD	วิศวกรรมเคมี	Imperial College	อังกฤษ
2539	ปริญญาโท	MSc. (Advanced Chem. Eng.)	วิศวกรรมเคมี	Imperial College	อังกฤษ
2537	ปริญญาตรี	วทบ. (เกียรตินิยม)	เคมีเทคนิค	อุพัลงกรณ์ มหาวิทยาลัย	ไทย

**ประสบการณ์การทำงาน**

- อาจารย์ประจำสาขาวิชาวิศวกรรมเคมี มหาวิทยาลัยเทคโนโลยีสุรนารี (2542-2551)
- นักวิจัยฝ่ายวิจัยและพัฒนาเทคโนโลยีกระบวนการปฏิโตรเดิมและปฏิโตรเคมี สถาบันวิจัยและเทคโนโลยี ปตท.

**ตำแหน่งทางวิชาการ**

ผู้ช่วยศาสตราจารย์ประจำสาขาวิชาวิศวกรรมเคมี มหาวิทยาลัยเทคโนโลยีสุรนารี(ตั้งแต่ปี 2545-2551)  
เมธิวิจัย สกอ. (ตั้งแต่ปี 2548)

**รางวัลที่เคยได้รับ**

รางวัลเหรียญเงิน จากการประกวดโครงการงานวิศวกรรมเคมียอดเยี่ยม ประจำปี 2548 จากสมาคมวิศวกรรมเคมีและเคมีประยุกต์แห่งประเทศไทย ในหัวข้อเรื่อง “การลดลิ่งเจือปนในน้ำเกลือจากเหมืองเกลือ” เมื่อวันที่ 27 ต.ค. 2548

### งานวิจัยแล้วเสร็จ :

เรื่อง	แหล่งทุน	ระยะเวลา	สถานภาพ
Using Montmorillonite as an Adsorbent for Organic Waste in Water	สำนักงานกองทุนสนับสนุนงานวิจัย (สกว.)	2543-2544	หัวหน้าโครงการ
การกำจัดสารอินทรีย์ในน้ำเสียโดยใช้ Montmorillonite Clay	เงินอุดหนุนการวิจัย มหาวิทยาลัยเทคโนโลยีสุรนารี	2544-2545	หัวหน้าโครงการ
การใช้มอนต์มอริลโลไนต์ (Montmorillonite) ธรรมชาติ และ มองต์มอริลโลไนต์ที่ปรับปรุงสมบัติ พื้นผิวแล้วเป็นตัวคุณชับสารอินทรีย์ในระบบหอดูดซับ	ศูนย์เทคโนโลยีโดดเด่นและวัสดุแห่งชาติ (MTEC)	2545-2546	หัวหน้าโครงการ
การตรวจหาสารมลพิษตกค้างจากการข้อมูลกระบวนการผลิตผ้าห่มมือแบบอุตสาหกรรมในครัวเรือน	ศูนย์วิจัยและพัฒนาเทคโนโลยีผลิตภัณฑ์ใหม่ มหาวิทยาลัยเทคโนโลยีสุรนารี	2547-2548	หัวหน้าโครงการ
การกำจัดสีข้อมูลจากกระบวนการข้อมูลแบบอุตสาหกรรมในครัวเรือนโดยใช้แร่ดินมอนต์มอริลโลไนต์ (Montmorillonite)	สำนักงานพัฒนาวิทยาศาสตร์และเทคโนโลยีแห่งชาติ	2546-2548	หัวหน้าโครงการ
การกำจัดสีข้อมูลในน้ำทิ้งจากกระบวนการข้อมูลผ้าระดับอุตสาหกรรม ครัวเรือนโดยใช้แร่ดินมอนต์มอริลโลไนต์ในระบบถังกวน	สำนักงานกองทุนสนับสนุนงานวิจัย (โครงการมหาบัณฑิต)	2548	อาจารย์ที่ปรึกษาโครงการ
การศึกษาผลกระทบสิ่งแวดล้อมการทำเกลือจากน้ำเกลือได้ดินในภาคตะวันออกเฉียงเหนือ	กรมทรัพยากรบุคคล	2549-2550	ผู้ร่วมโครงการ

**งานวิจัยแล้วเสร็จ (ต่อ):**

ชื่อโครงการ	แหล่งเงินทุน	ระยะเวลาโครงการ	สถานภาพ
Reducing Bromine Index of Hydrocarbon Feedstock by Domestic Montmorillonite Clay	บริษัท อาร์เมคิกส์ (ประเทศไทย) จำกัด มหาชน	2550	หัวหน้าโครงการ
การผลิต Nano-Clay Membrane สำหรับกระบวนการบำบัดน้ำ	ศูนย์นาโนเทคโนโลยีแห่งชาติ	2548-2549	หัวหน้าโครงการ
การสังเคราะห์แร่ดินที่มีสมบัติทางแม่เหล็กเพื่อเป็นตัวลดปริมาณโลหะหนักจากน้ำ	เงินอุดหนุนการวิจัย มหาวิทยาลัย เทคโนโลยีสุรนารี	2550-2551	หัวหน้าโครงการ
Clay recycles after the unit of reducing bromine index of hydrocarbon feedstock	สำนักงานกองทุนสนับสนุนงานวิจัย (สกว.): Industrial and Research Project for Undergraduate Students (IPUS)	April, 2008	อาจารย์ที่ปรึกษาโครงการ

การสังเคราะห์แร่ดินที่มีสมบัติทางแม่เหล็กเพื่อเป็นตัวลดปริมาณสารปนเปื้อนในระบบของเหลว

## รายการสิ่งคีพินพ์

- R.Wibulswas, D.A. White and R.Rautiu, **Removal of Humic Substances from water by Alumina-based Pillared Clays**, *Environmental Technology*, **19**, 627-632 (1998)
- R.Wibulswas, D.A. White and R.Rautiu, **Adsorption of Phenolic Compounds from water by Surfactant-modified Pillared Clays**, *ICemE*, **77**, Part B, 88-92 (1999)
- D.A.White, G.Onkal-Engin and R.Wibulswas, **Simulation of the Errors in Equilibrium Correlations Using the Langmuir and BET Isotherms**, *Separation Science and Technology*, **35**(3), 367-377 (2000)
- G.Onkal-Engin, R.Wibulswas and D.A. White, **Humic Acid Uptake from Aqueous media using Hydrotalcite and modified Montmorillonite**, *Environmental Technology*, **21**, 167-175 (2000)
- R.Wibulswas and D.A. White, **Adsorption of Arsenic onto Montmorillonite Clay**, การประชุมวิศวกรรมเคมีและเคมีประยุกต์แห่งประเทศไทย ครั้งที่ 10, 1, 317-326 (October 2000)
- R.Wibulswas and D.A. White, **Introductory Study of Utilizing Montmorillonite as an Adsorbent in Aqueous System**, *First Asian Particle Technology Symposium, APT2000*, (December 2000)
- R.Wibulswas and D.A. White, **Feasibility study of utilizing Montmorillonite clay as an adsorbent for removing organic toxicants from water**, *Regional Symposium on Chemical Engineering 2000*, Singapore, (December 2000)
- R.Wibulswas and D.A. White, **Adsorption of organic components by Montmorillonite clay**, การประชุมเพื่อเสนอผลงานวิจัย โครงการทุนวิจัยหลังปริญญา เอก สำนักงานกองทุนสนับสนุนการวิจัยแห่งชาติ (October 2001)
- ปิยมากรณ์ จาธุวงศ์ และ รัตนวรรณ วิบูลย์สวัสดิ์, **ผลของปริมาณสารบันฉบับ Organo-Clay ต่อความสามารถในการดูดซับกรดไฮมิก**, การประชุมวิศวกรรมเคมีและเคมีประยุกต์แห่งประเทศไทย ครั้งที่ 11 (November 2001)
- ปิยมากรณ์ จาธุวงศ์ และ รัตนวรรณ วิบูลย์สวัสดิ์, **การดูดซับกรดไฮมิกโดยกระบวนการดูดซับแบบเบนนิ่งโดยใช้มอนต์มอริลโลไลน์ต์และมอนต์มอริลโลไลน์ต์ที่ปรับปรุง คุณสมบัติเป็นตัวดูดซับ**, การประชุมเสนอผลงานวิจัยระดับบัณฑิตศึกษาของประเทศไทย ครั้งที่ 3 (July 2002)

## รายการสิ่งตีพิมพ์ (ต่อ)

- Piyamaporn Jaruwong, and Ratanawan (Wibulswas) Kiattikomol, **ADSORPTION OF CATIONIC AND AZO DYES BY MONTMORILLONITE IN BATCH AND COLUMN SYSTEM**, The PPC 10th Anniversary International Conference; *ADVANCES IN PETROCHEMICALS AND POLYMERS IN THE NEW MILLENNIUM* (JULY 22-25, 2003)
- Piyamaporn Jaruwong, and Ratanawan (Wibulswas) Kiattikomol, **Batch and Fixed Bed Column Adsorption of Phenols and Naphthalene by Organo-Clays**, *ASIAN WATERQUAL 2003- IWA Asia-Pacific Regional Conference* (OCTOBER 19-23, 2003)
- Piyamaporn Jaruwong and Ratanawan (Wibulswas) Kiattikomol, **KINETIC, RECYCLE AND FIXED-BED COLUMN APPROACH OF HUMIC ACID ADSORPTION BY MONTMORILLONOTE CLAYS**, การประชุมวิศวกรรมเคมีและเคมีประยุกต์แห่งประเทศไทย ครั้งที่ 13 (OCTOBER 30-31, 2003)
- Piyamaporn Jaruwong and Ratanawan (Wibulswas) Kiattikomol, **Raw Sugar Decolorization by Montmorillonite and Organo-clays**, *The 2<sup>nd</sup> Asian Particle Technology Symposium (APT) 2003*, Malaysia (December 17-19, 2003)
- Piyamaporn Jaruwong and Ratanawan Wibulswas, **Influence of Organo-clays Carbon Number on the Adsorption of Humic Acid**, *Asian J. Energy Environ.*, 4, 41-59 (2003)
- ปีบมากรณ์ จาจุวงศ์ และ รัตนวรรณ วิบูลย์สวัสดิ์, การดูดซับสารอินทรีย์จากน้ำโดยใช้แร่ดินมอนต์มอริลโลไนต์, *วารสารเทคโนโลยีสุรนารี*, 11(1), 39-51 (2004)
- R. Wibulswas, **Batch and Fixed Bed Sorption of Methylene Blue on precursor and QACs modified Montmorillonite**, *Separation and Purification Technology*, 39, 3-12 (2004)
- จักรกฤษ อัมพุช และ รัตนวรรณ (วิบูลย์สวัสดิ์) เกียรติโภณล, การกำจัดสีข้อมจากกระบวนการย้อมผ้าแบบอุดสาหร่ายในครัวเรือนโดยใช้แร่ดินมอนต์มอริลโลไนต์, การประชุมสัมมนาภาคอุตสาหกรรมคึกคัก นครราชสีมา ครั้งที่ 2 ณ. มหาวิทยาลัยเทคโนโลยีสุรนารี (September 2004)
- Piyamaporn Jaruwong and Ratanawan (Wibulswas) Kiattikomol, **Adsorption of 2,2-Bipyridyl by BDHDMA-modified Montmorillonite**, *Asia Pacific Confederation of Chemical Engineering (APCChE) 2004* (October 2004)

## รายการสิ่งคีพินพ์ (ต่อ)

- **Jakkrit Umpush and Ratanawan (Wibulswas) Kiattikomol, DYE REMOVAL FROM WASTEWATER OF DYEING PROCESS IN HOUSEHOLD INDUSTRY BY MONTMORILLONITE CLAYS, Tri-University International Joint Seminar and Symposium 2004** (October 2004)
- **Ratanawan (Wibulswas) Kiattikomol, Water softening by Montmorillonite clay, International Symposium on Nanotechnology in Environmental Protection and Pollution (ISNEPP) 2005** (January 2005)
- **Piyamaporn Jaruwong, Jakrit Aumpush and Ratanawan (Wibulswas) Kiattikomol, UPTAKE OF CATIONIC AND AZO DYES BY MONTMORILLONITE IN BATCH AND COLUMN SYSTEMS, Thammasat Int .J. Sc. Tech., 10(1), 47-56 (2005)**
- **จักรกฤษ อัมพุช และ รัตนวรรณ (วิบูลย์สวัสดิ์) เกียรติโภณล, การกำจัดสีย้อมจากกระบวนการย้อมผ้าแบบอุดสาหกรรมในครัวเรือนโดยใช้แร่ดินมอนต์มอริลโลในตู้ในระบบหอดูดซับ, การประชุมเสนอผลงานระดับบัณฑิตศึกษาแห่งชาติครั้งที่ 5 (October 2005)**
- **Jakkrit Umpush and Ratanawan (Wibulswas) Kiattikomol, UPTAKE OF COMMERCIAL DYE FROM DYEING PROCESS WASTEWATER OF HOUSEHOLD SCALE INDUSTRIES BY MONTMORILLONITE CLAYS IN MIXING TANK SYSTEM, The 31<sup>st</sup>Congress on Science and Technology of Thailand (October 2005)**
- **Jakkrit Umpush and Ratanawan (Wibulswas) Kiattikomol, DECOLORIZATION OF DYEING PROCESS WASTEWATER FROM SILK HOUSEHOLD INDUSTRIES BY ORGANO-CLAY IN FIXED BED COLUMN, The 5th International Water Association (IWA) Specialty Conference on "Wastewater Reclamation and Reuse for Sustainability (WRRS2005)", Korea, Nov. 7 - 11, 2005.**
- **จักรกฤษณ์ อัมพุช และ รัตนวรรณ (วิบูลย์สวัสดิ์) เกียรติโภณล, จดนพดศาสตร์ของ การ กำจัดสีย้อมในน้ำทึ้งจากการย้อมผ้าในระดับอุดสาหกรรมครัวเรือนโดยใช้แร่ดินมอนต์มอริลโลในตู้ในระบบถังกวาน, วิศวกรรมสารคุณบันวิจัยและพัฒนา, 17(3), 2006**

## รายการสิ่งตีพิมพ์ (ต่อ)

- รัตนวรรณ (วิบูลย์สวัสดิ์) เกียรติโภนดล, ธีระศักดิ์ ยนต์ไพบูลย์ และ ประภาศิริ สังข์ภักดี, การดูดซับฟีโนอลด้วยถ่านกัมมันต์ที่ผลิตจากโพลียูรีเทนใช้แล้วโดยวิธีการกระตุ้นด้วย โพแทสเซียมคาร์บอนเนต, การประชุมวิศวกรรมเคมีและเคมีประยุกต์แห่งประเทศไทย ครั้งที่ 16 (October 2006)
- Ratanawan (Wibulswas) Kiattikomol, Papus Chanaroke and Suriya Sriphothong, **Adsorption and Kinetics of Methylene blue Uptake by Magnetic Montmorillonite, Regional Symposium on Chemical Engineering 2006, Singapore,** (December 2006)
- Apichaya Chenkarl and Ratanawan (Wibulswas)Kiattikomol, Adsorption Behavior of Montmorillonite in Fluidized Bed System, Regional Symposium on Chemical Engineering 2006, Singapore, (December 2006)
- Sutanee Thongsatit, Ratanawan (Wibulswas) Kiattikomol and Chalongsri Flood, **Preparation and Application of Clay Membrane, Regional Symposium on Chemical Engineering 2006, Singapore, (December 2006)**
- Sutanee Thongsatit, Chalongsri Flood and Ratanawan (Wibulswas) Kiattikomol, Humic acid separation from water using clay membrane, Securing Groundwater Quality in Urban and Industrial Environments ICGQ, IAHS (International Association of Hydrological Sciences) Red Book Series, Mary C. Hill Australia Post-published papers (2008)